

FIG. 1

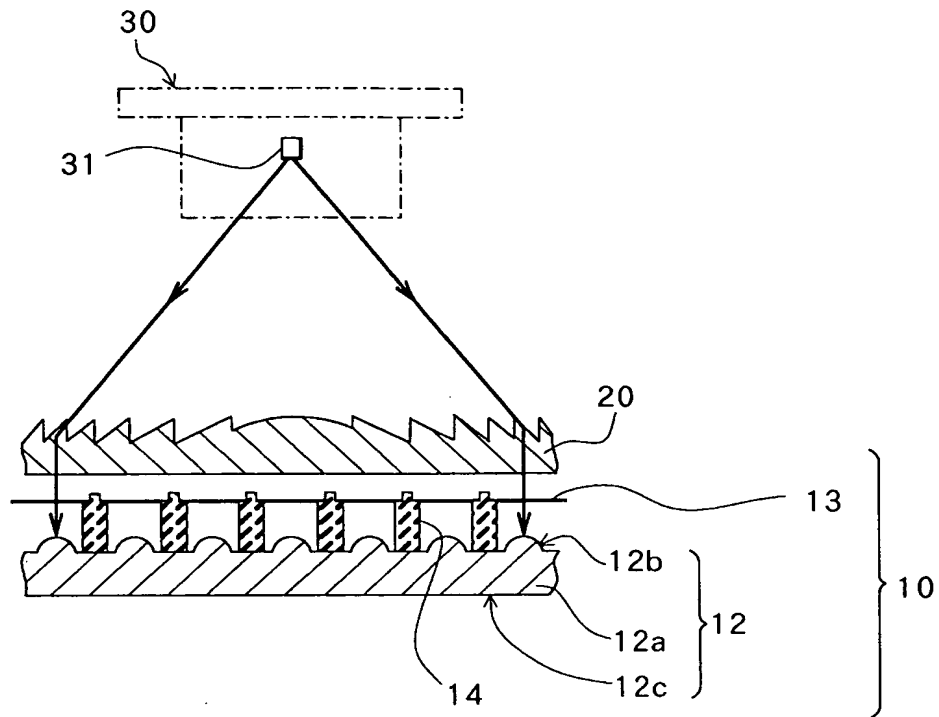


FIG. 2

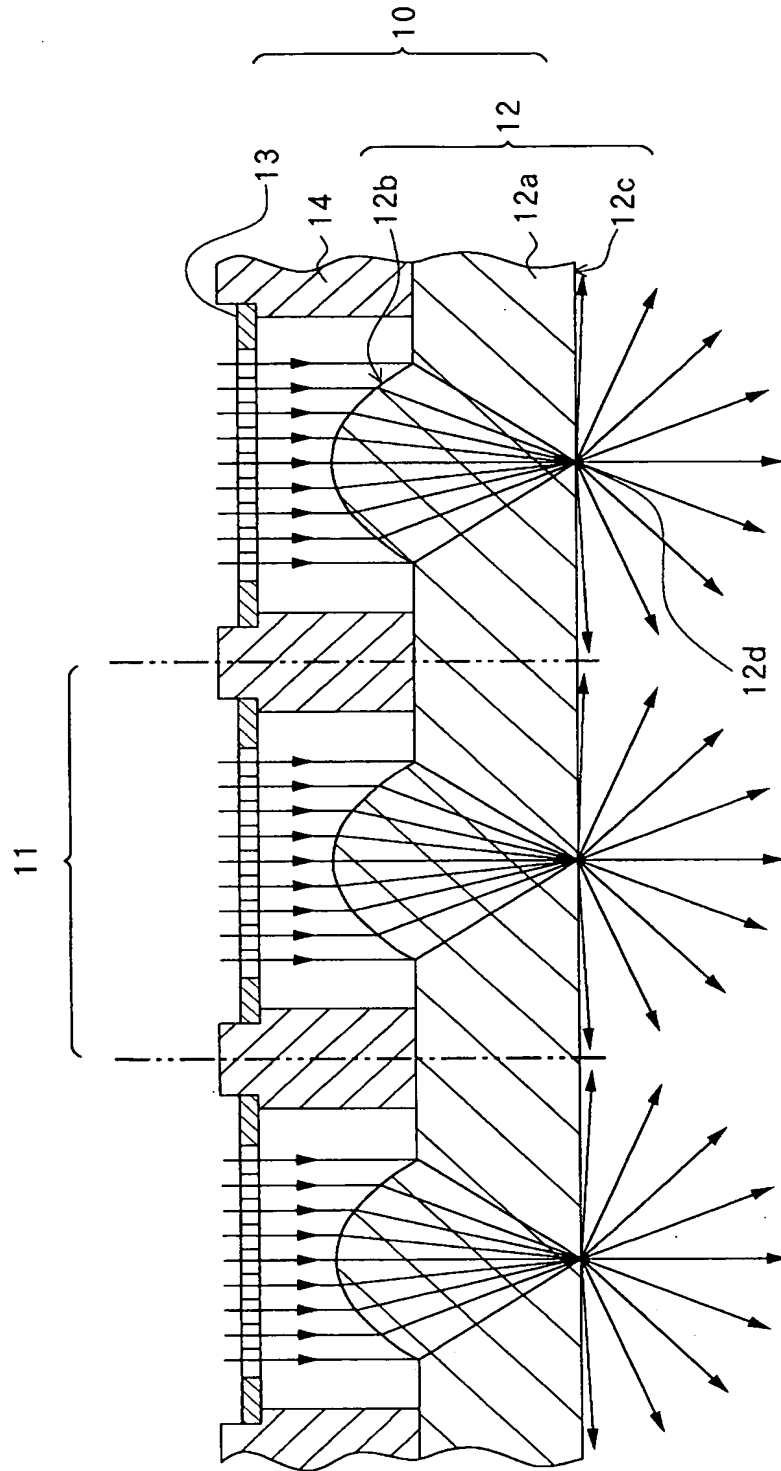


FIG. 3

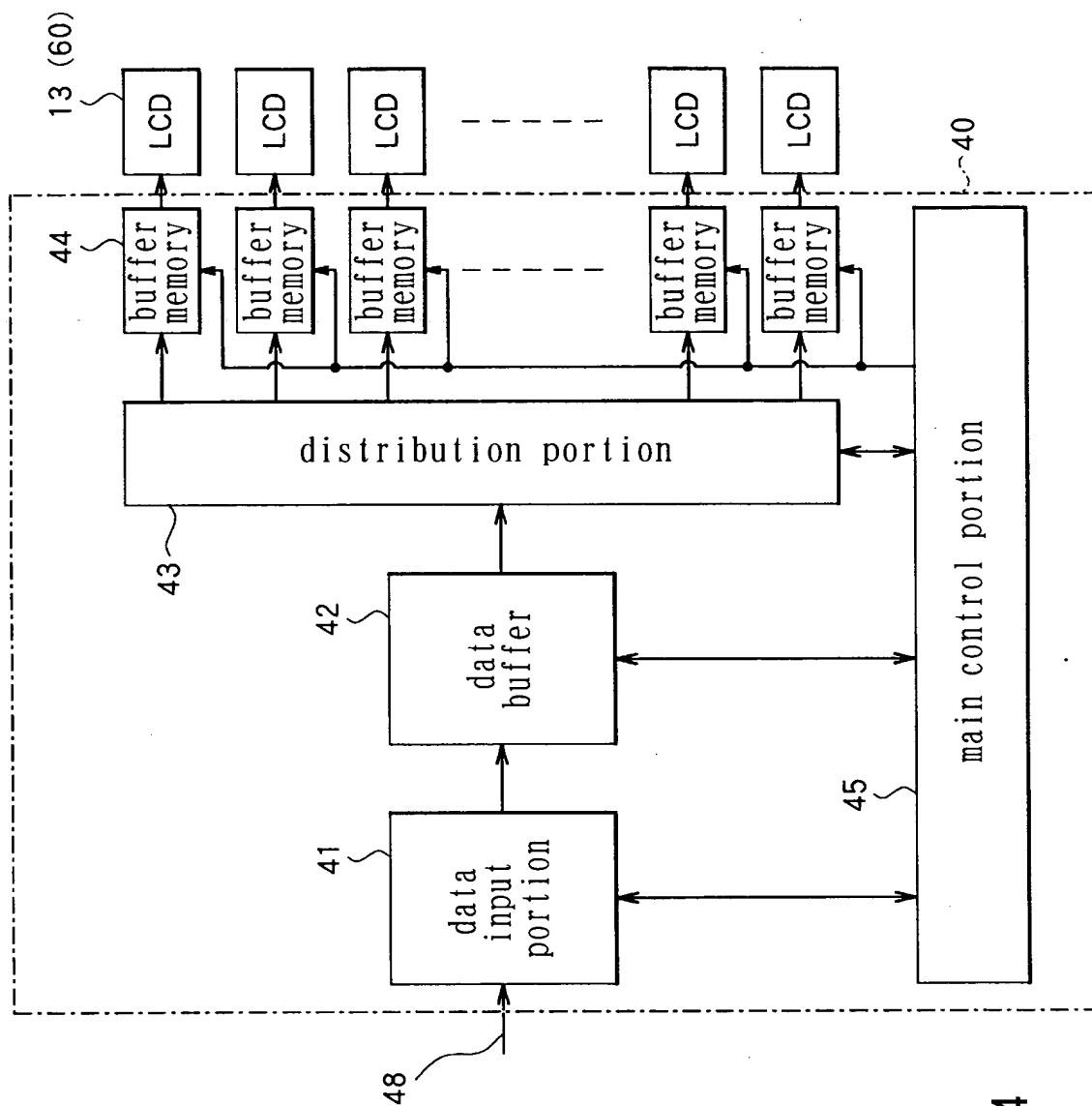


FIG. 4

FIG. 5

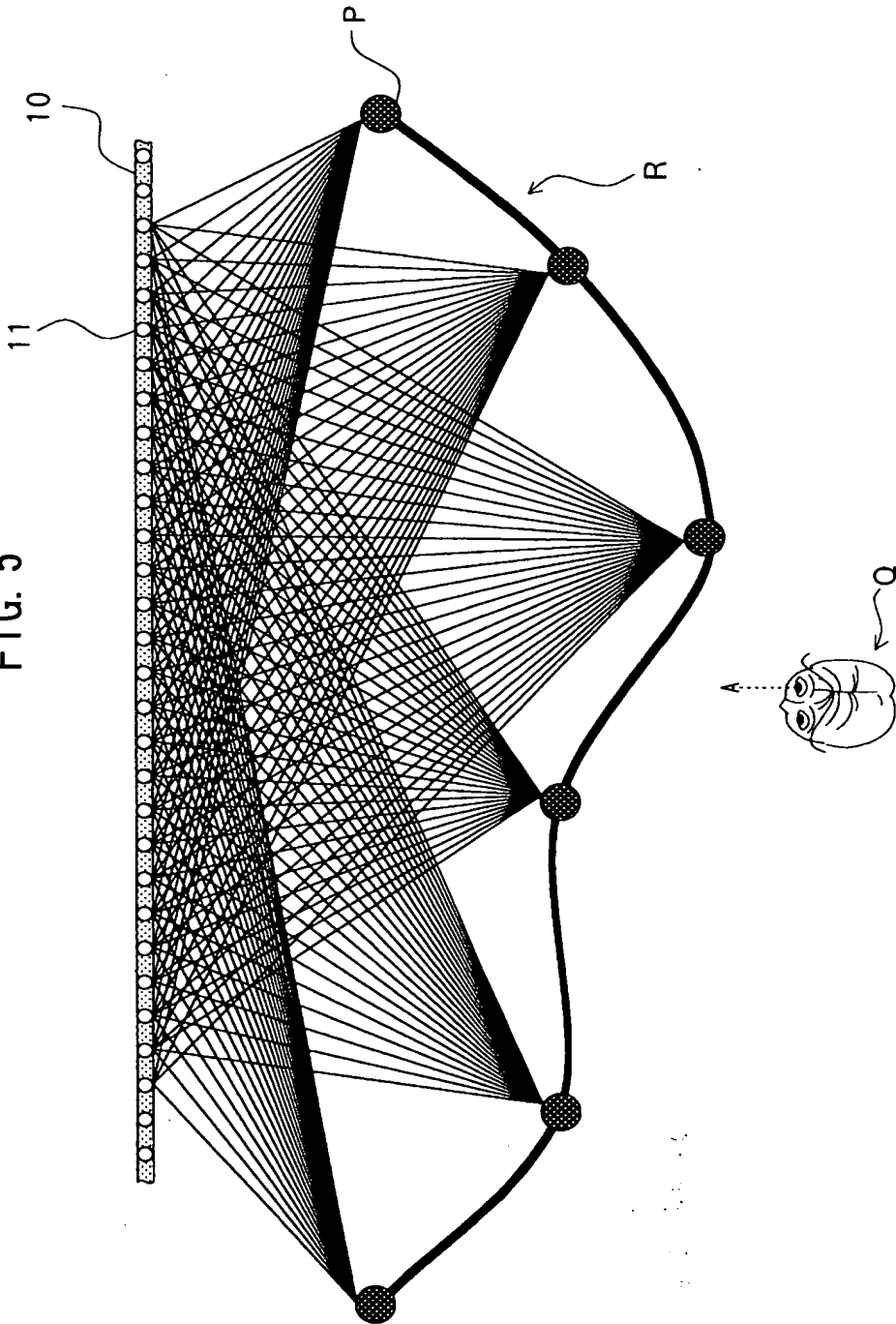
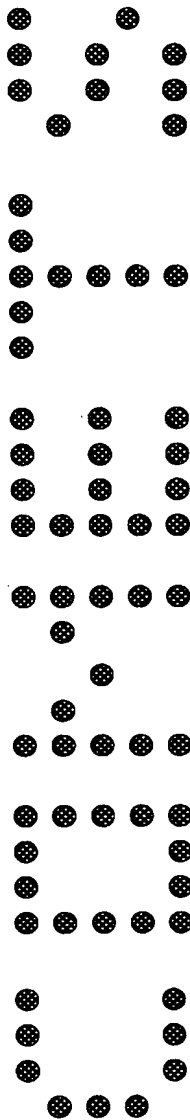


FIG. 6A



Y1	X1	0	1	1	1	0	1	1	1	0	1	0	0	1	0	0	1	0	1	1	1	0	1	1	1	1	0	0	1	1	1	X31
Y2	X2	1	0	0	0	1	0	0	1	0	1	1	0	1	1	0	1	1	0	0	0	0	1	0	0	0	1	0	0	0	0	X30
Y3	X3	1	0	0	0	1	0	0	1	0	1	0	1	0	1	0	1	1	1	0	0	0	1	0	0	0	1	1	0	0	0	X29
Y4	X4	1	0	0	0	1	0	0	1	0	1	0	0	0	1	0	0	0	0	0	0	0	1	0	0	0	0	0	0	0	0	X28
Y5	X5	0	1	1	0	1	1	1	0	1	0	1	0	0	0	1	0	1	1	1	0	0	0	1	0	0	0	1	1	1	0	X27

FIG. 6B

7/82

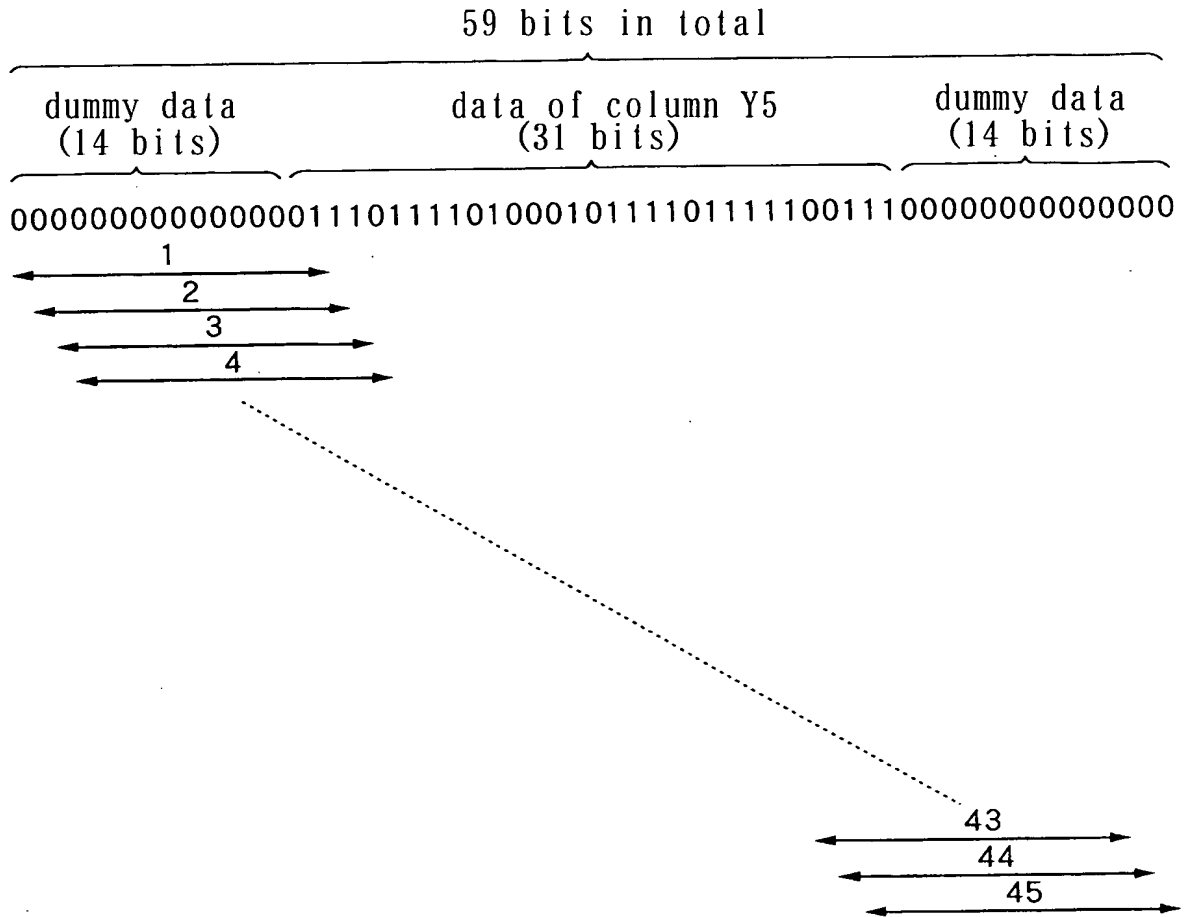


FIG. 7

0046228-091400

slice number	sliced data
1	0 0 0 0 0 0 0 0 0 0 0 0 0 0 0 0
2	0 0 0 0 0 0 0 0 0 0 0 0 0 0 0 1
3	0 0 0 0 0 0 0 0 0 0 0 0 0 0 1 1
⋮	⋮
15	0 1 1 1 0 1 1 1 1 0 1 0 0 0 1
16	1 1 1 0 1 1 1 1 0 1 0 0 0 1 0
17	1 1 0 1 1 1 1 0 1 0 0 0 1 0 1
18	1 0 1 1 1 1 0 1 0 0 0 1 0 1 1
19	0 1 1 1 1 0 1 0 0 0 1 0 1 1 1
⋮	⋮
42	0 1 1 1 0 0 0 0 0 0 0 0 0 0 0
43	1 1 1 0 0 0 0 0 0 0 0 0 0 0 0
44	1 1 0 0 0 0 0 0 0 0 0 0 0 0 0
45	1 0 0 0 0 0 0 0 0 0 0 0 0 0 0

FIG. 8

004750" 82294950

9/82

screen dot number	inverted data
D1	0 0 0 0 0 0 0 0 0 0 0 0 0 0 0 0
D2	1 0 0 0 0 0 0 0 0 0 0 0 0 0 0 0
D3	1 1 0 0 0 0 0 0 0 0 0 0 0 0 0 0
⋮	⋮
D15	1 0 0 0 1 0 1 1 1 1 0 1 1 1 0
D16	0 1 0 0 0 1 0 1 1 1 1 0 1 1 1
D17	1 0 1 0 0 0 1 0 1 1 1 1 0 1 1
D18	1 1 0 1 0 0 0 1 0 1 1 1 1 0 1
D19	1 1 1 0 1 0 0 0 1 0 1 1 1 1 0
⋮	⋮
D42	0 0 0 0 0 0 0 0 0 0 0 0 1 1 1 0
D43	0 0 0 0 0 0 0 0 0 0 0 0 0 1 1 1
D44	0 0 0 0 0 0 0 0 0 0 0 0 0 0 1 1
D45	0 0 0 0 0 0 0 0 0 0 0 0 0 0 0 1

FIG. 9

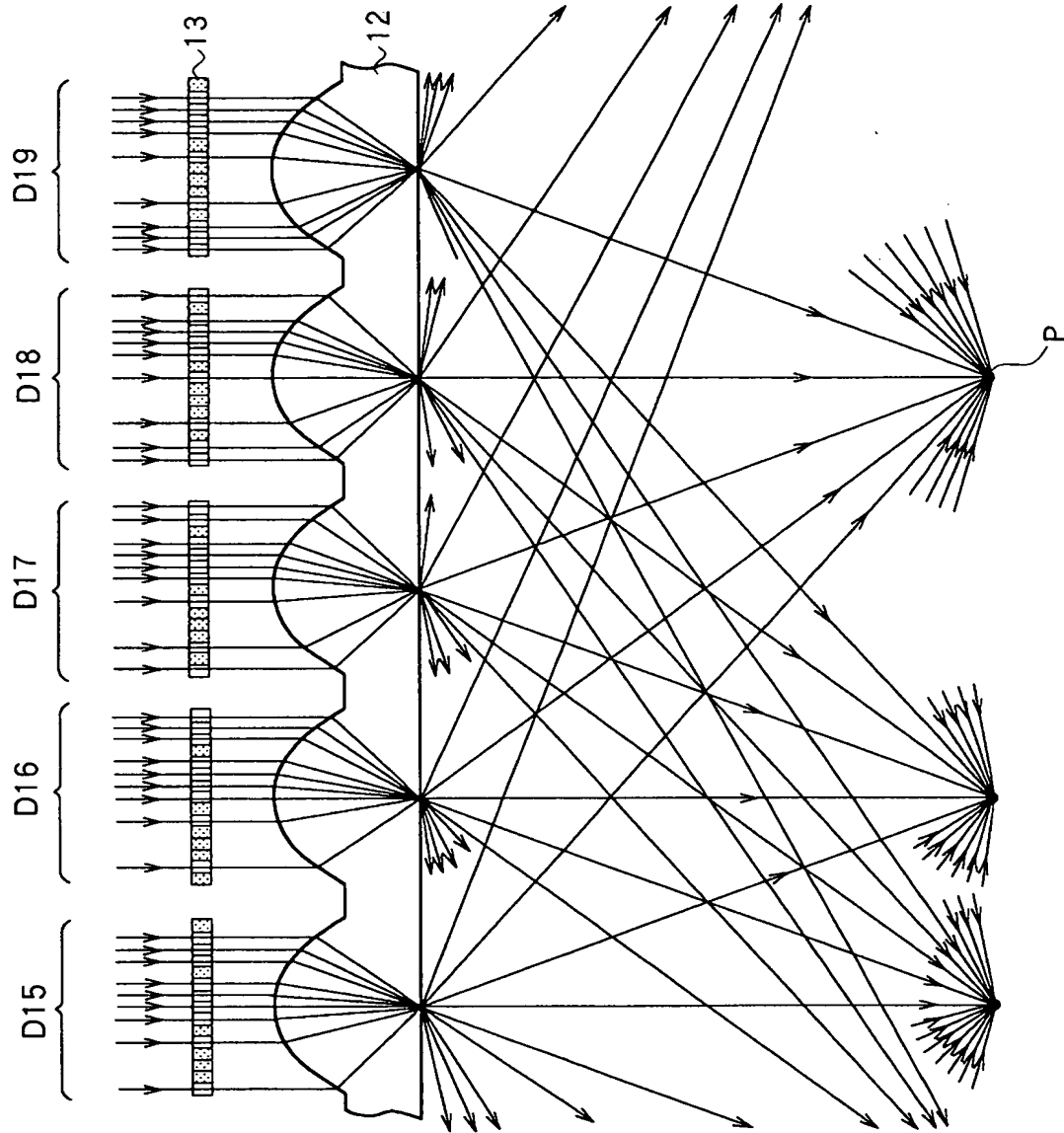


FIG. 10

FIG. 11A

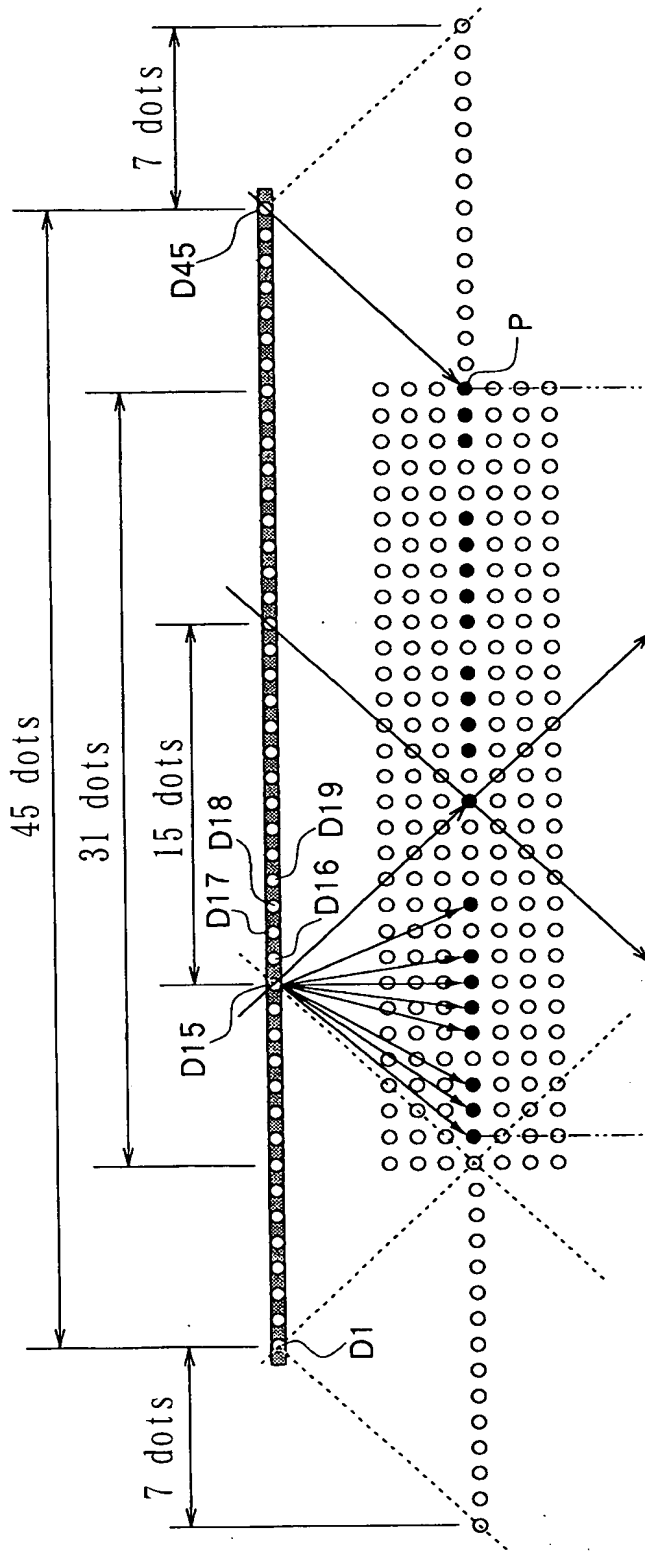
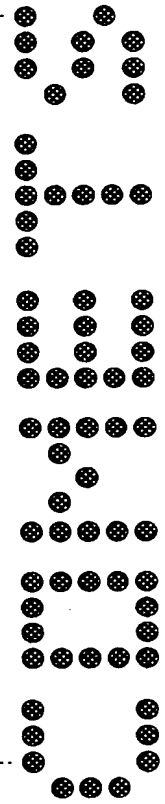


FIG. 11B



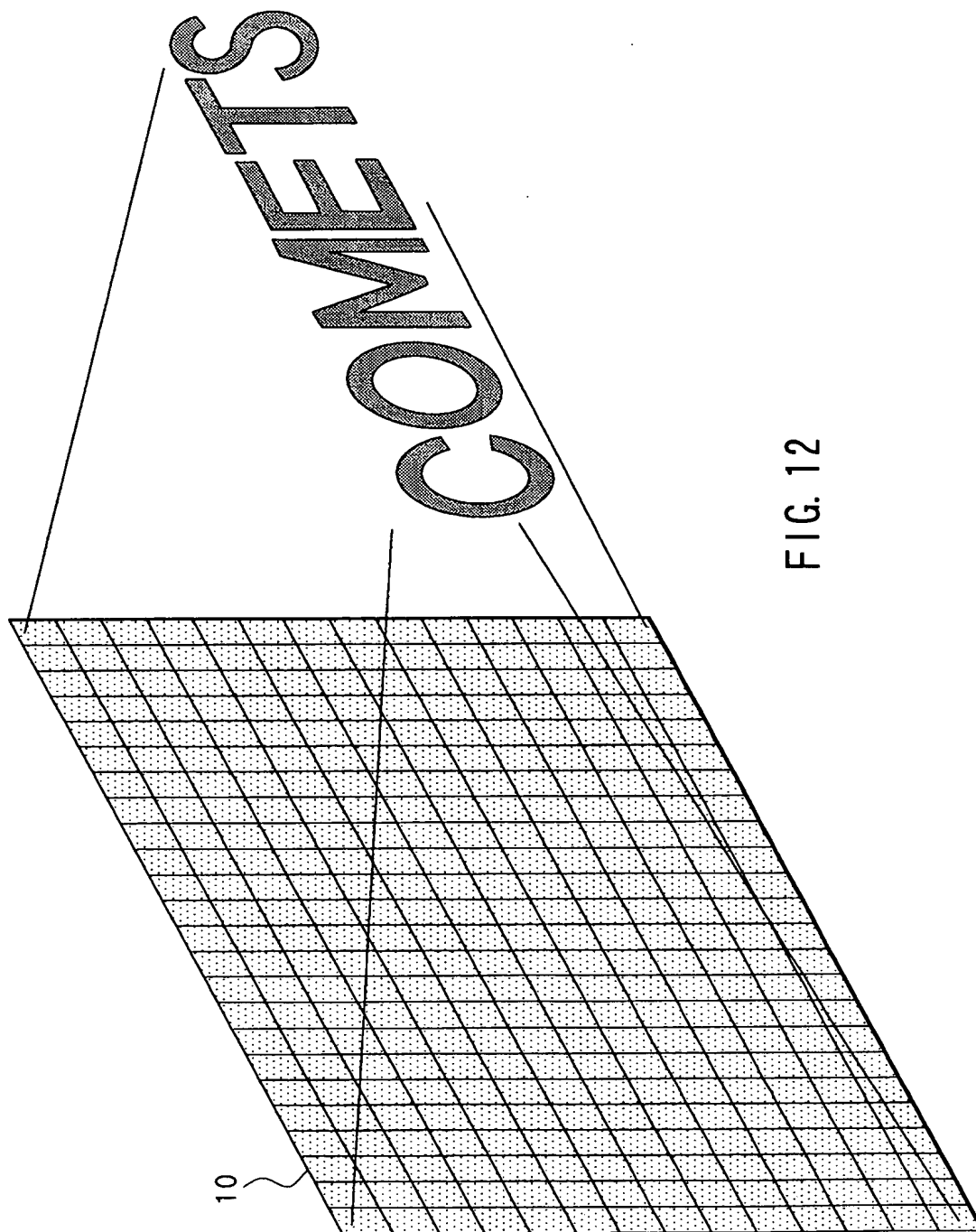


FIG. 12

004160" 82294960

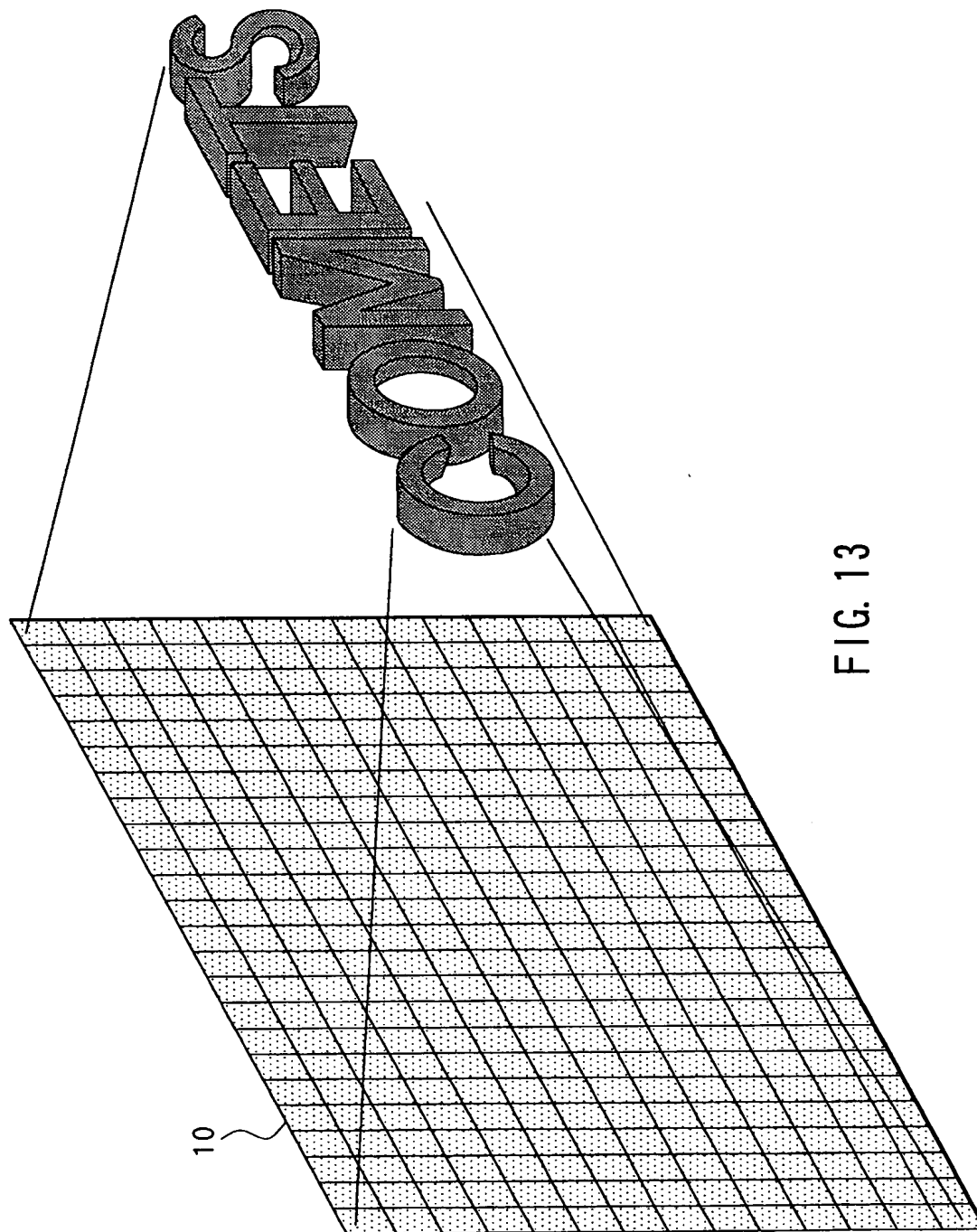


FIG. 13

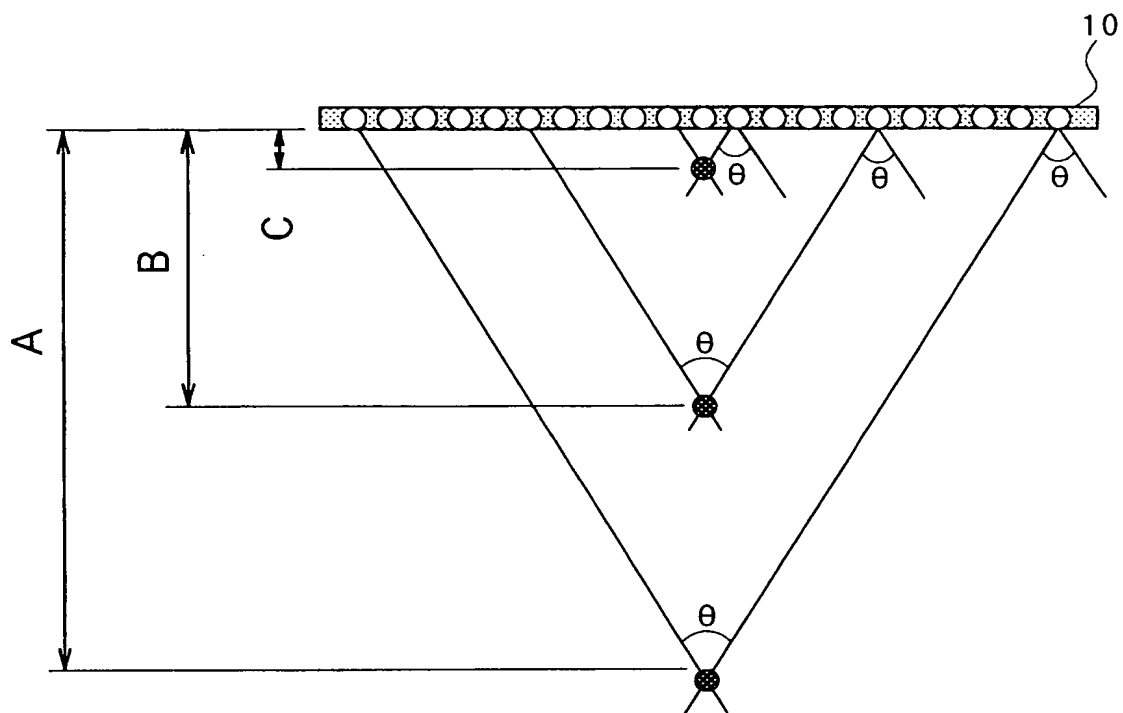


FIG. 14

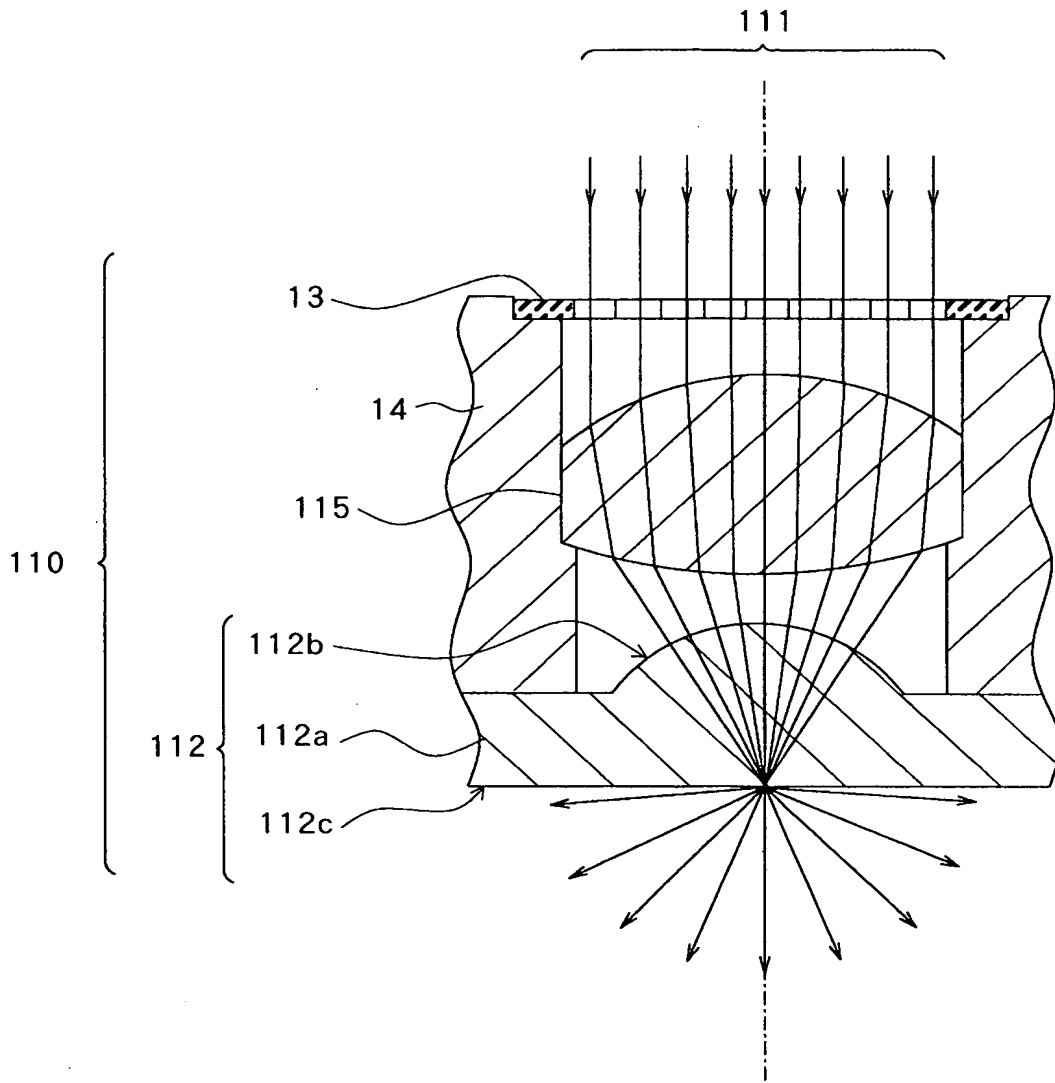


FIG. 15

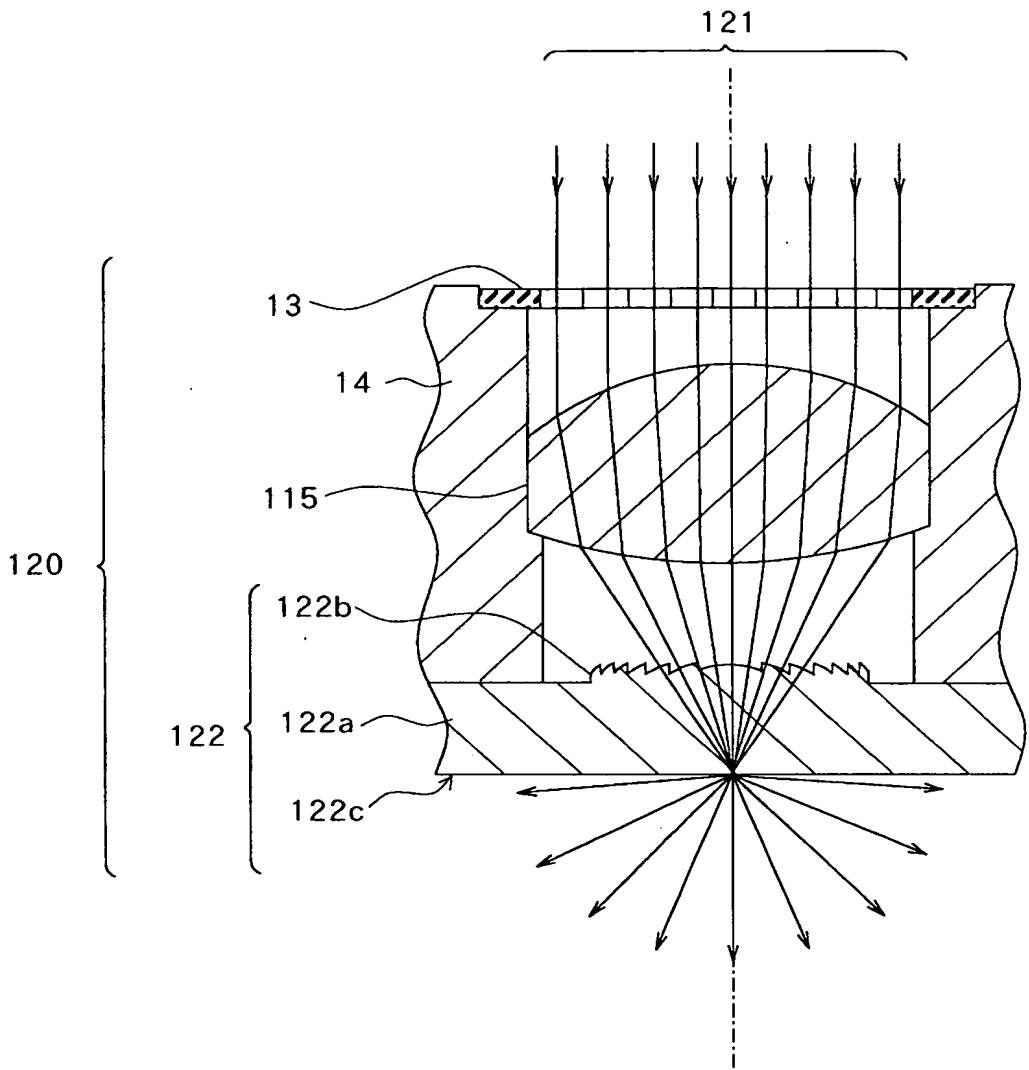
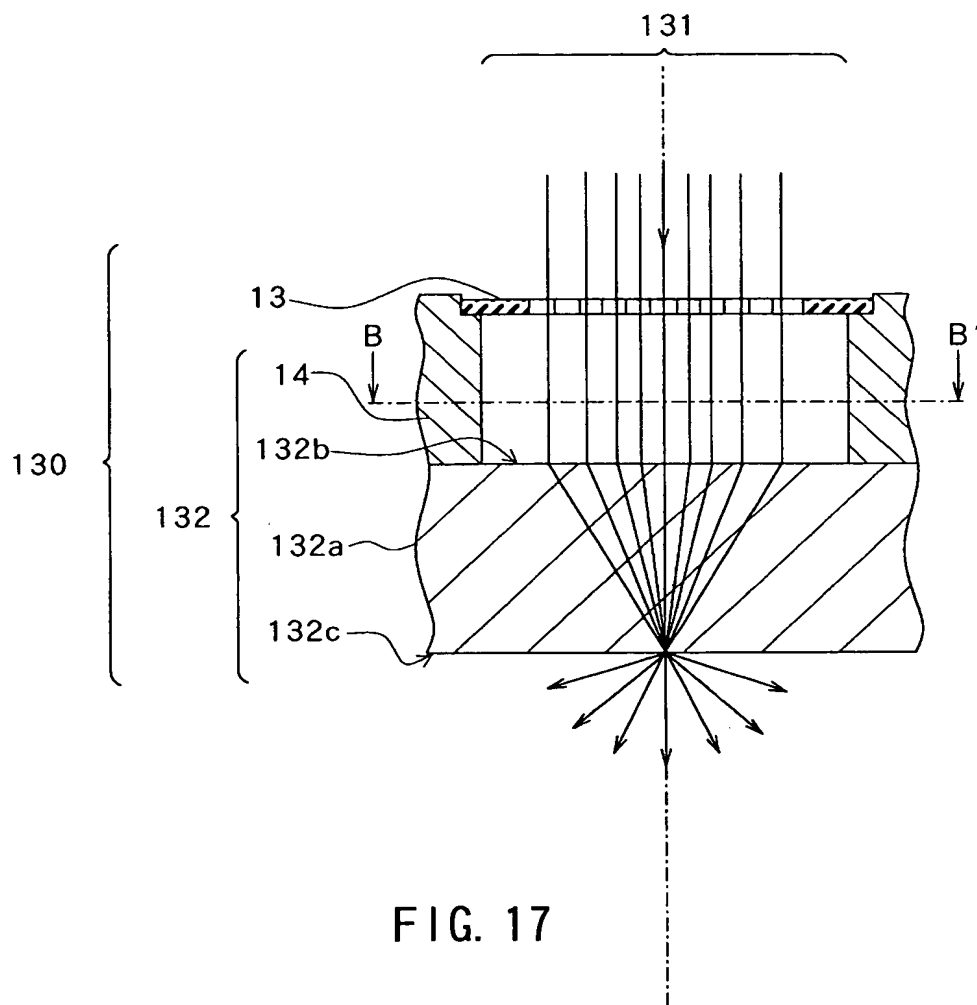


FIG. 16



section along B-B'

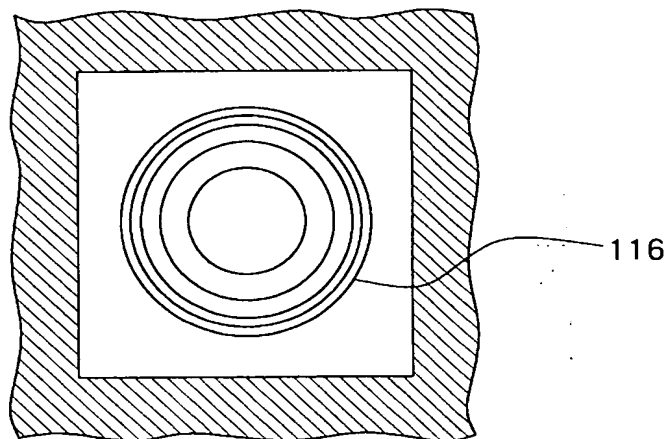


FIG. 18

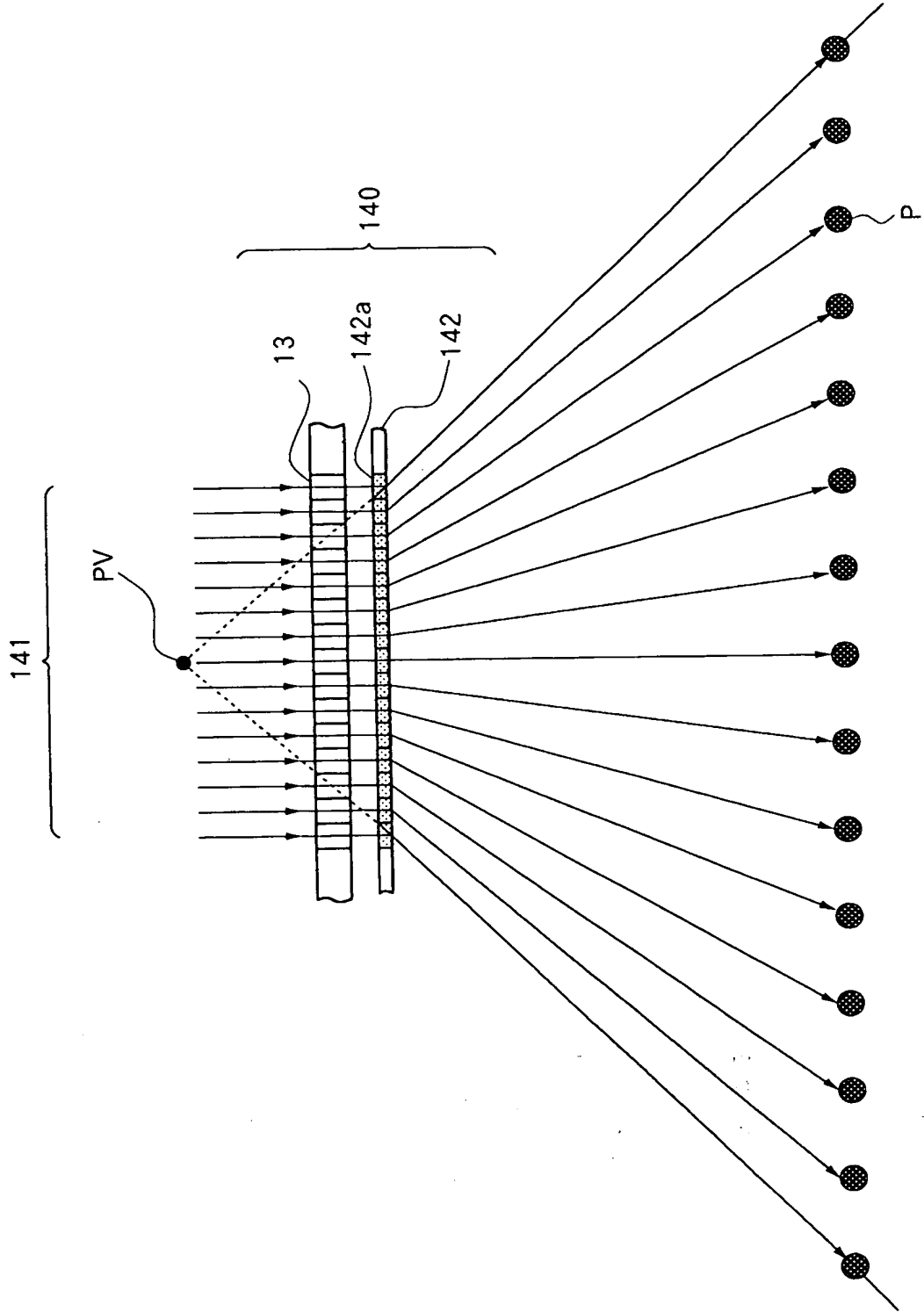


FIG. 19

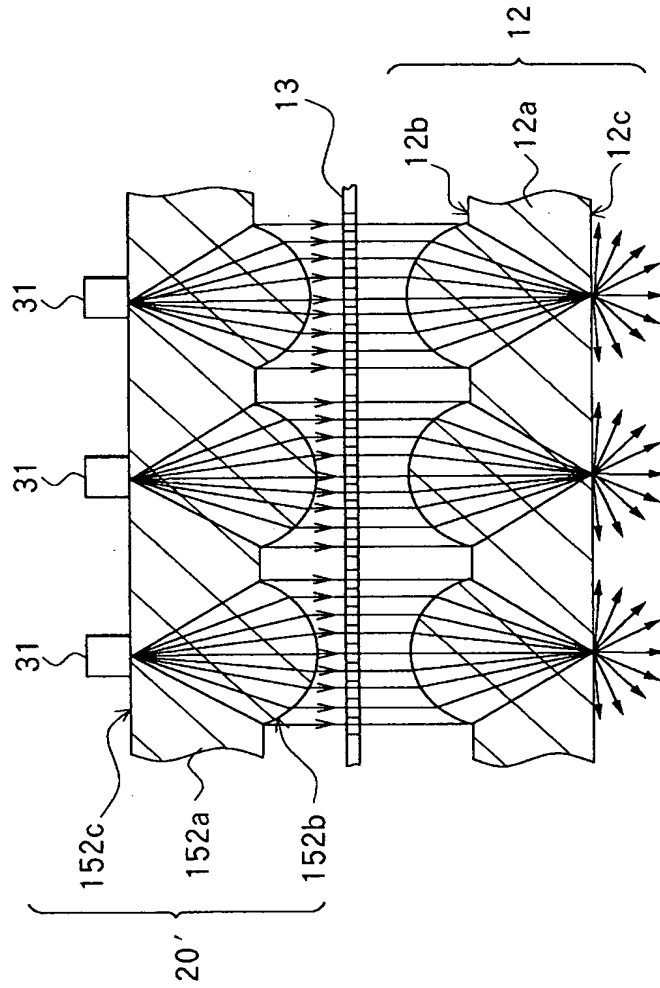


FIG. 20

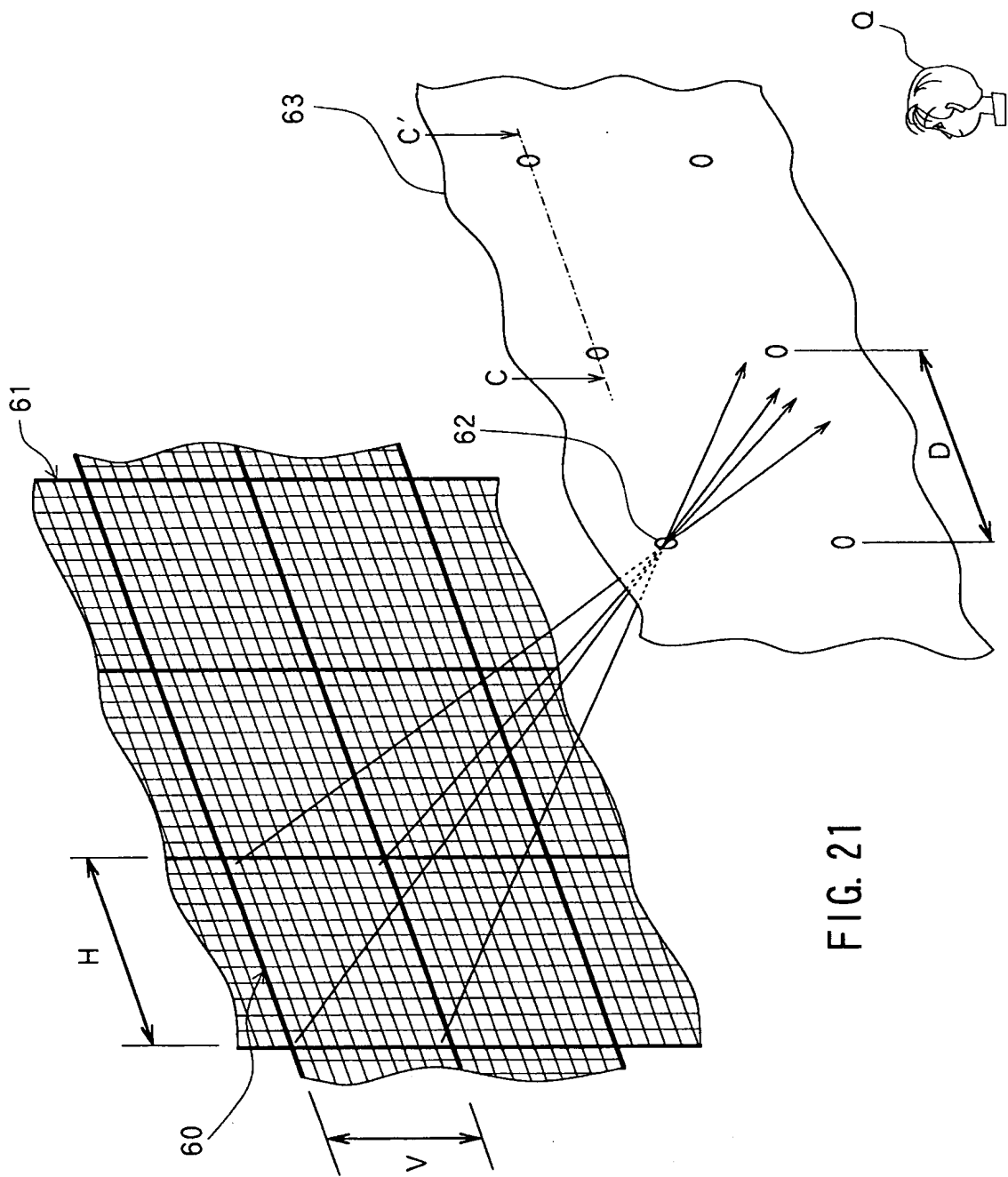


FIG. 21

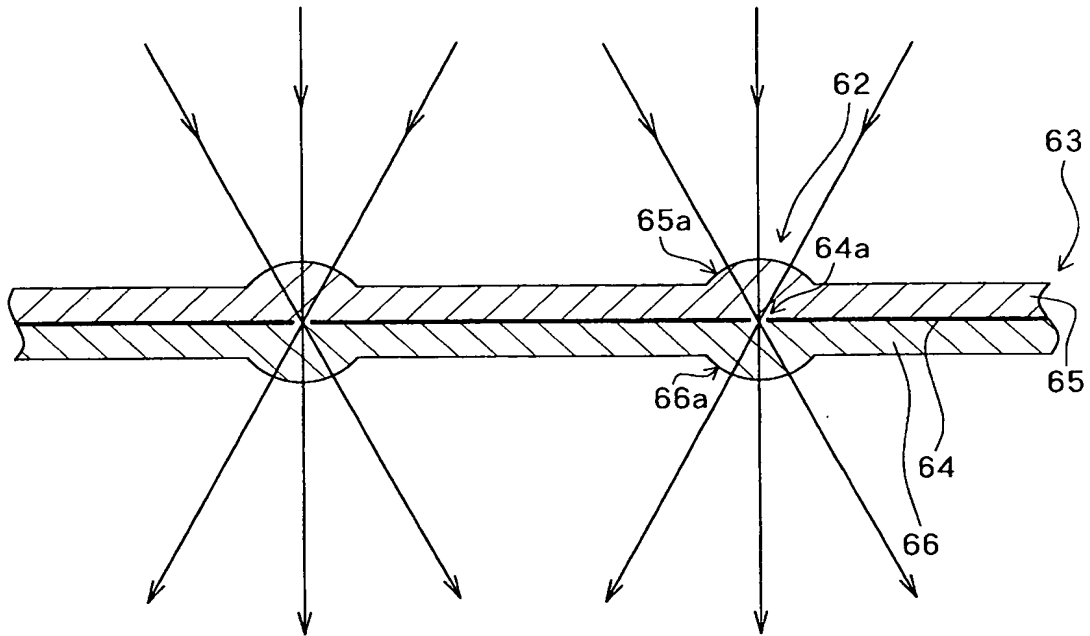
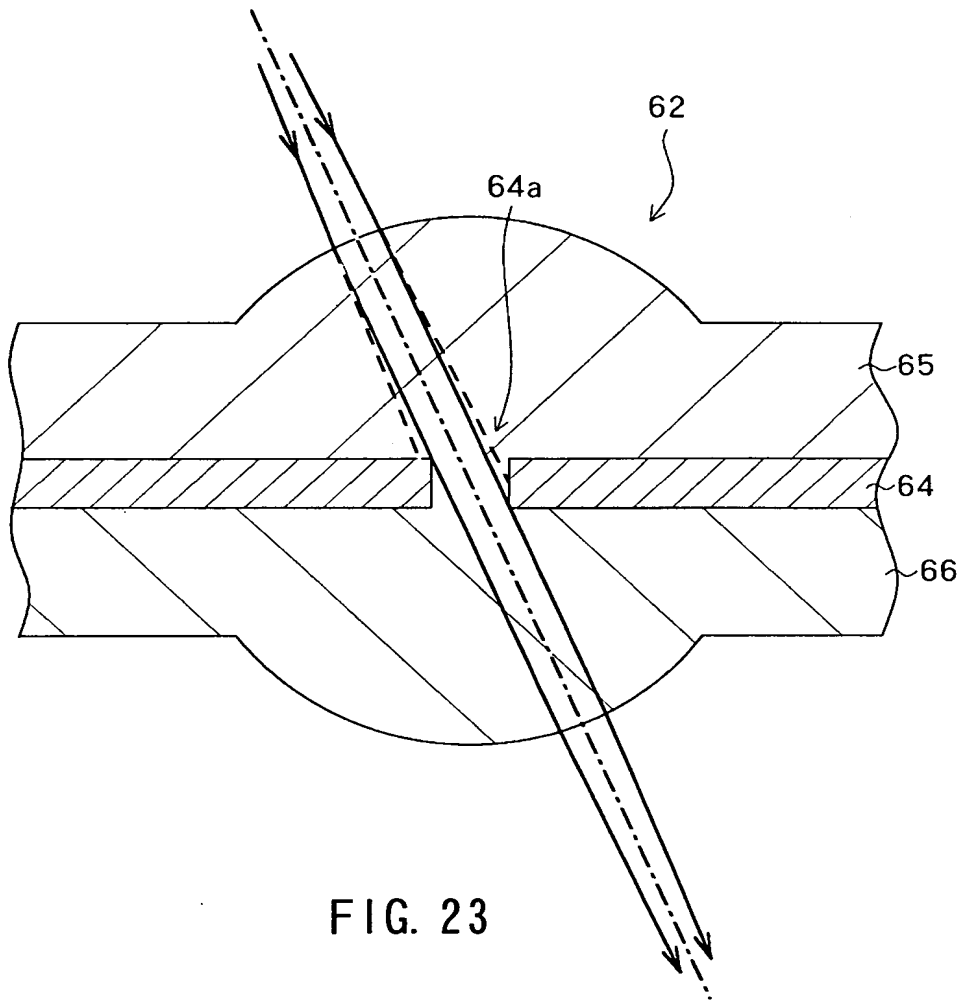


FIG. 22



0946228-091400

FIG. 24



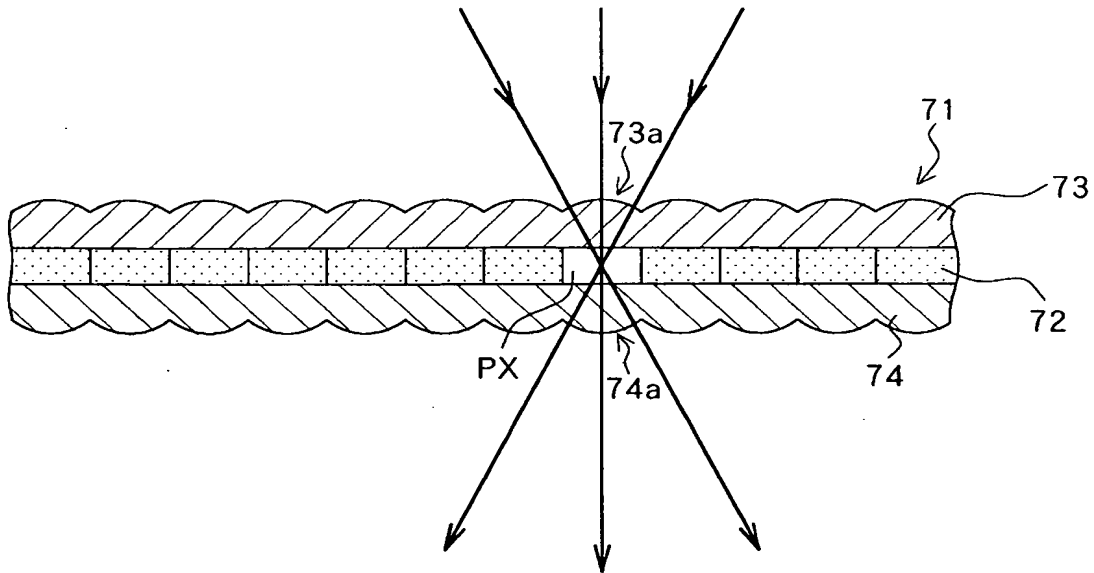


FIG. 25

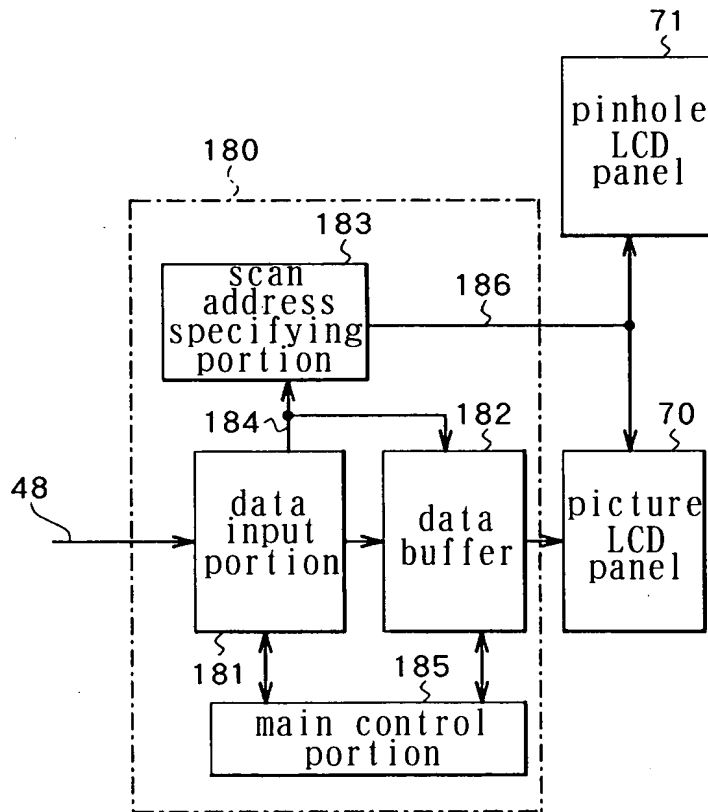


FIG. 26

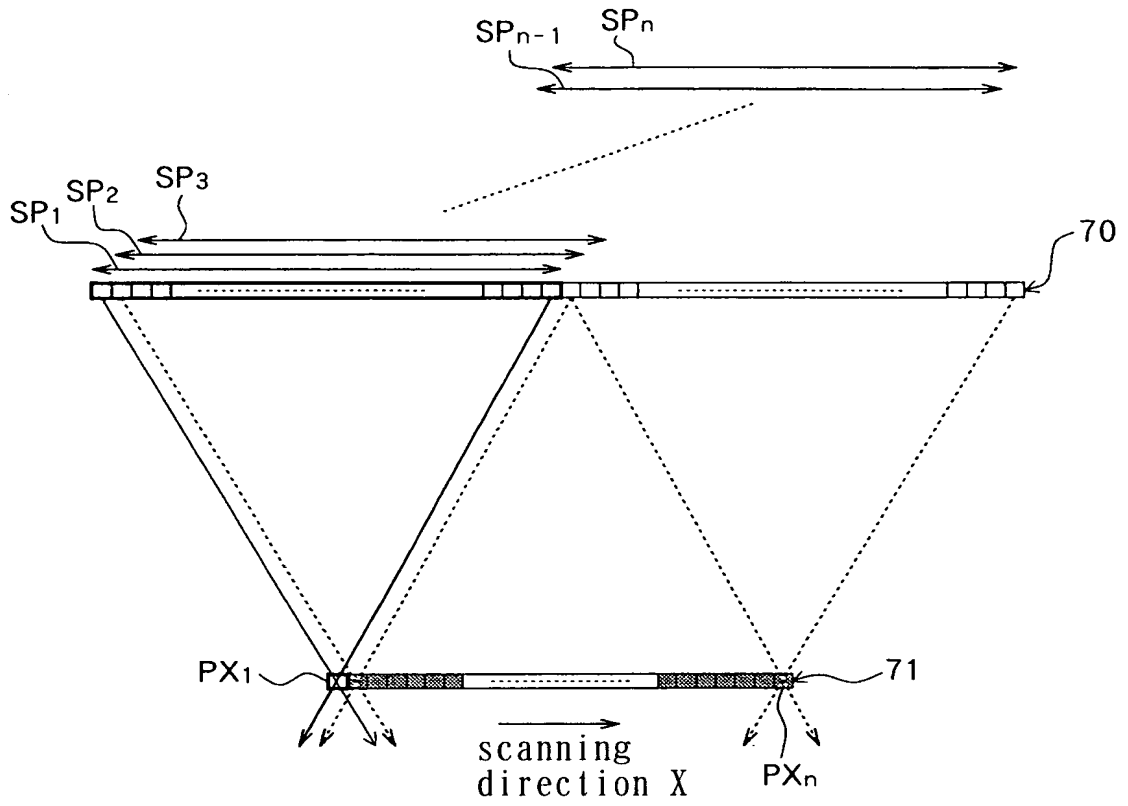


FIG. 27

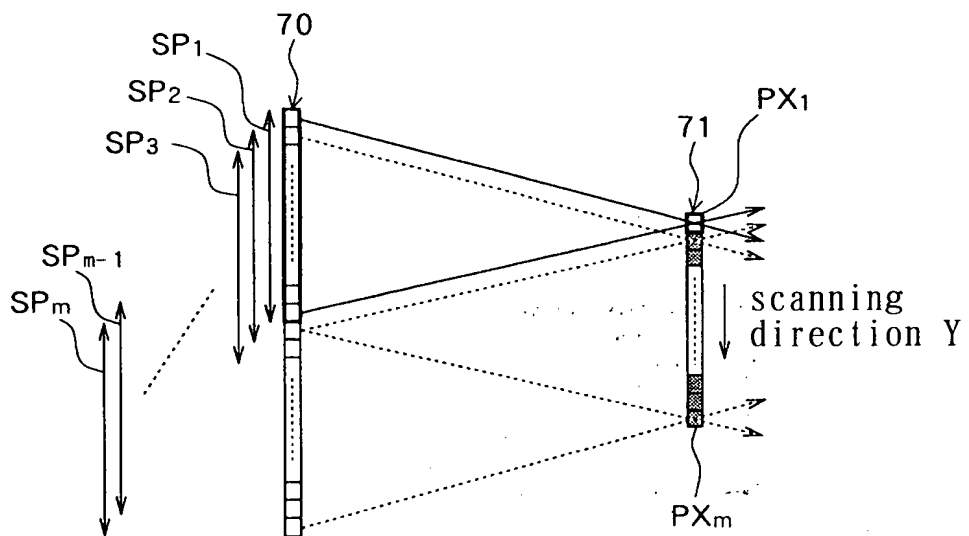


FIG. 28

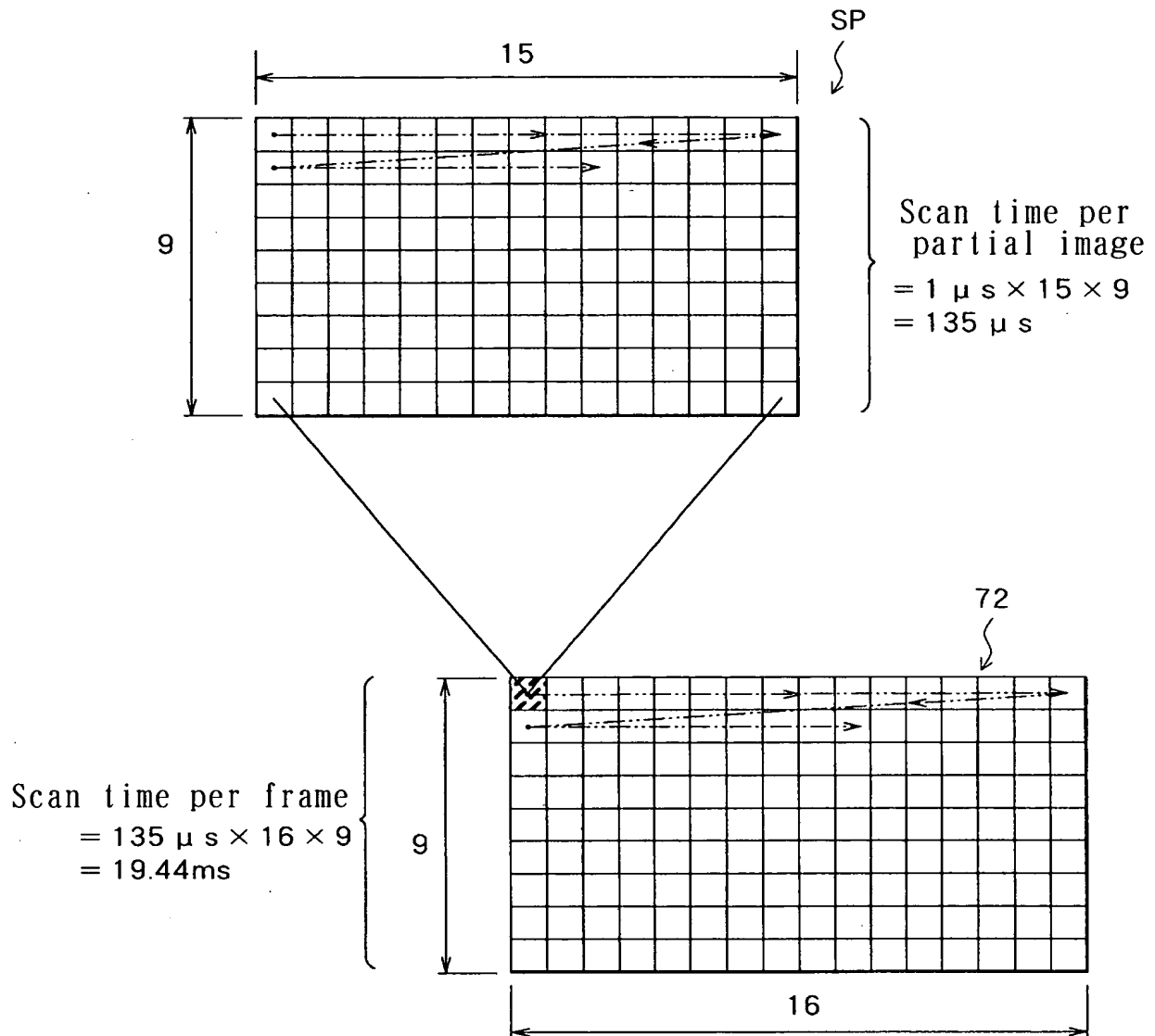


FIG. 29

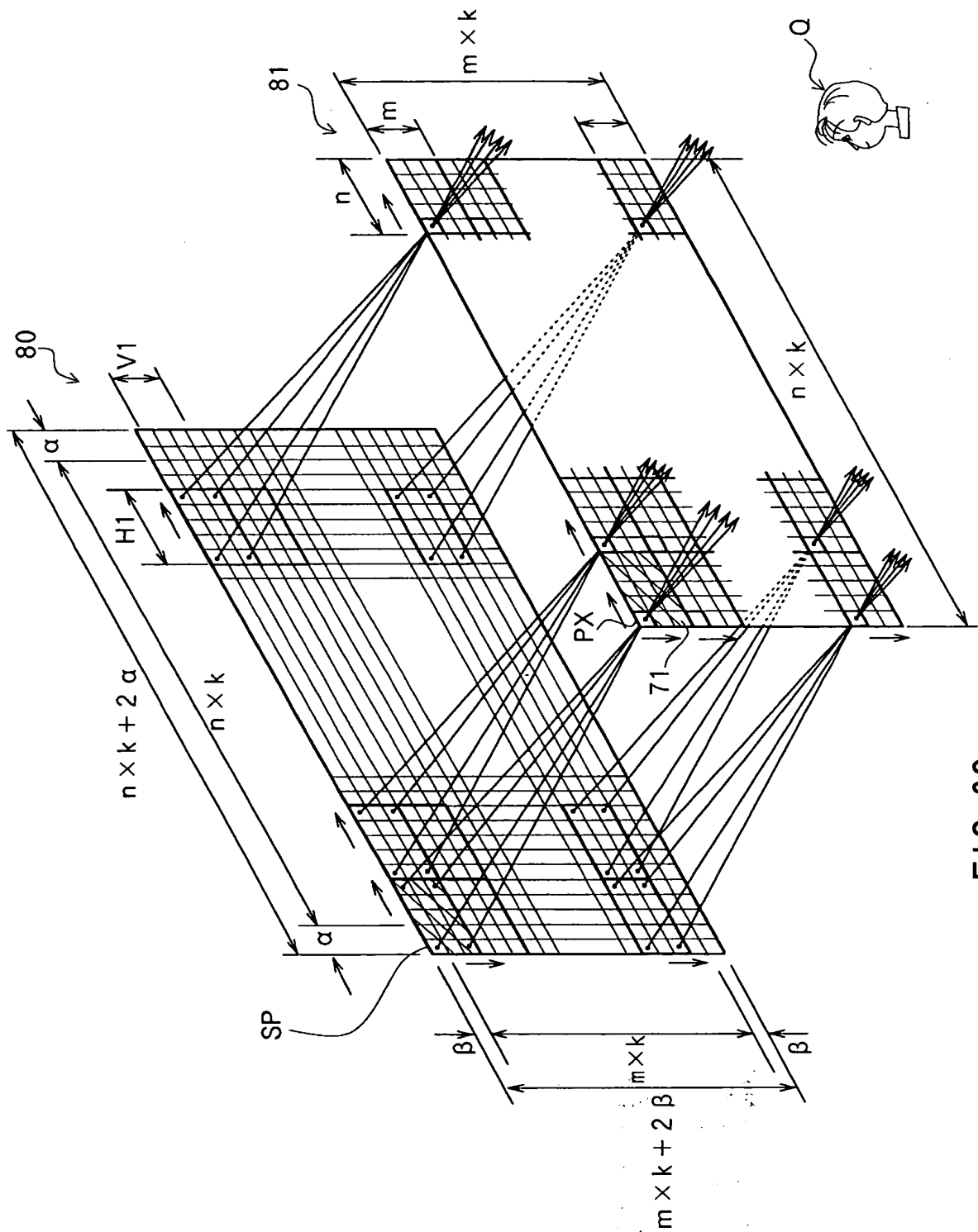
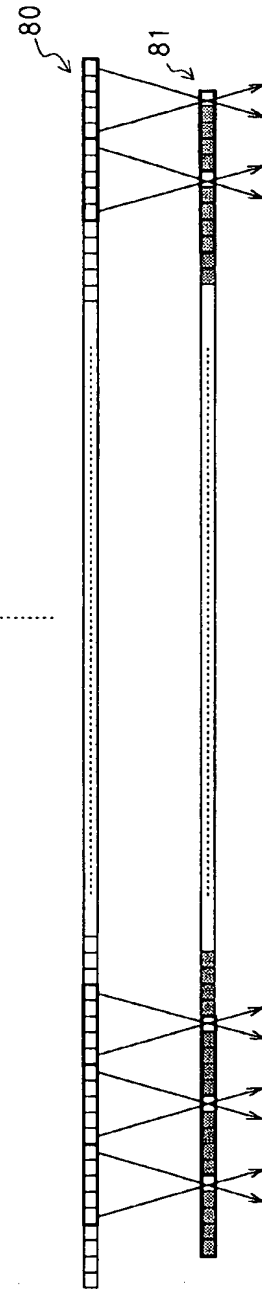
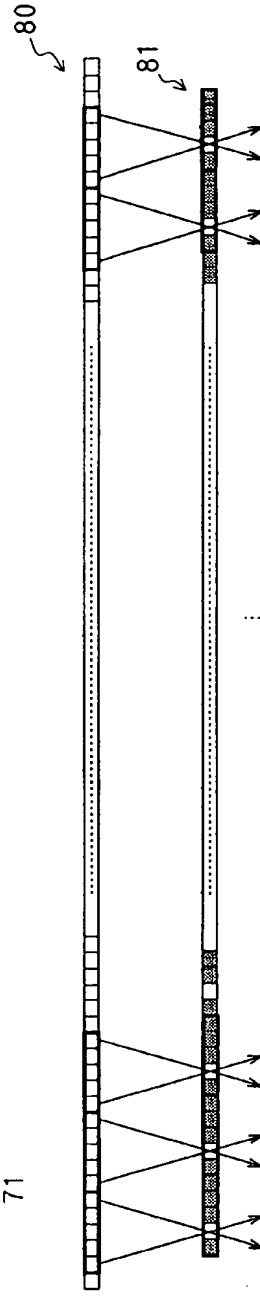
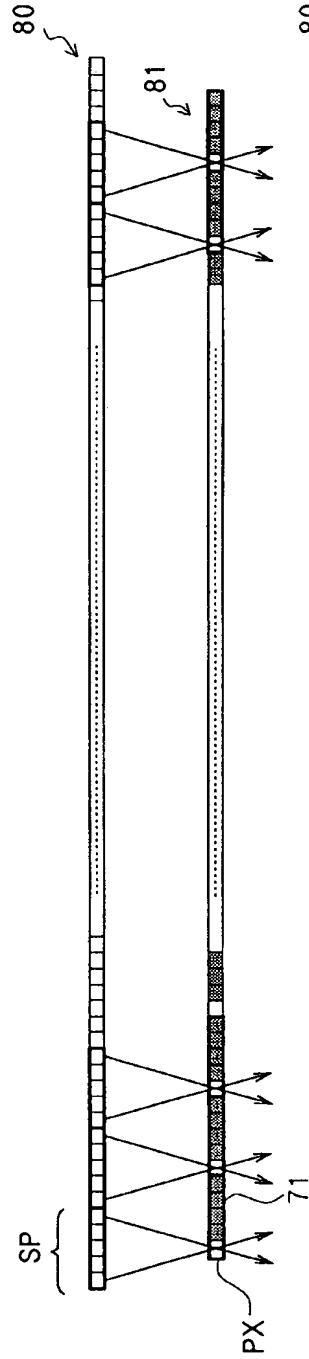


FIG. 30



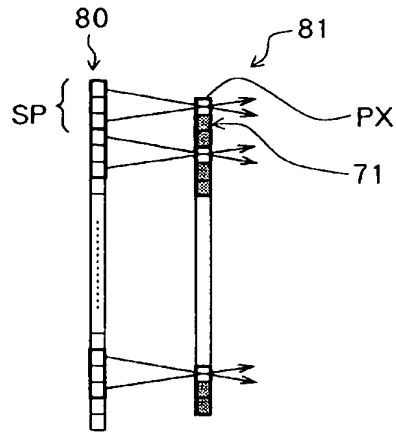


FIG. 32A

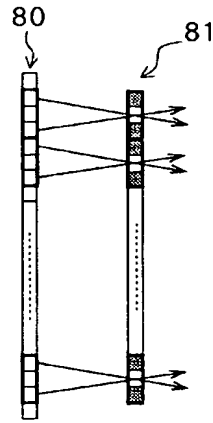


FIG. 32B

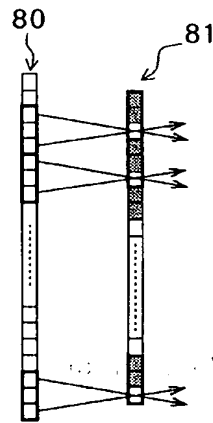


FIG. 32C

0046228-091400

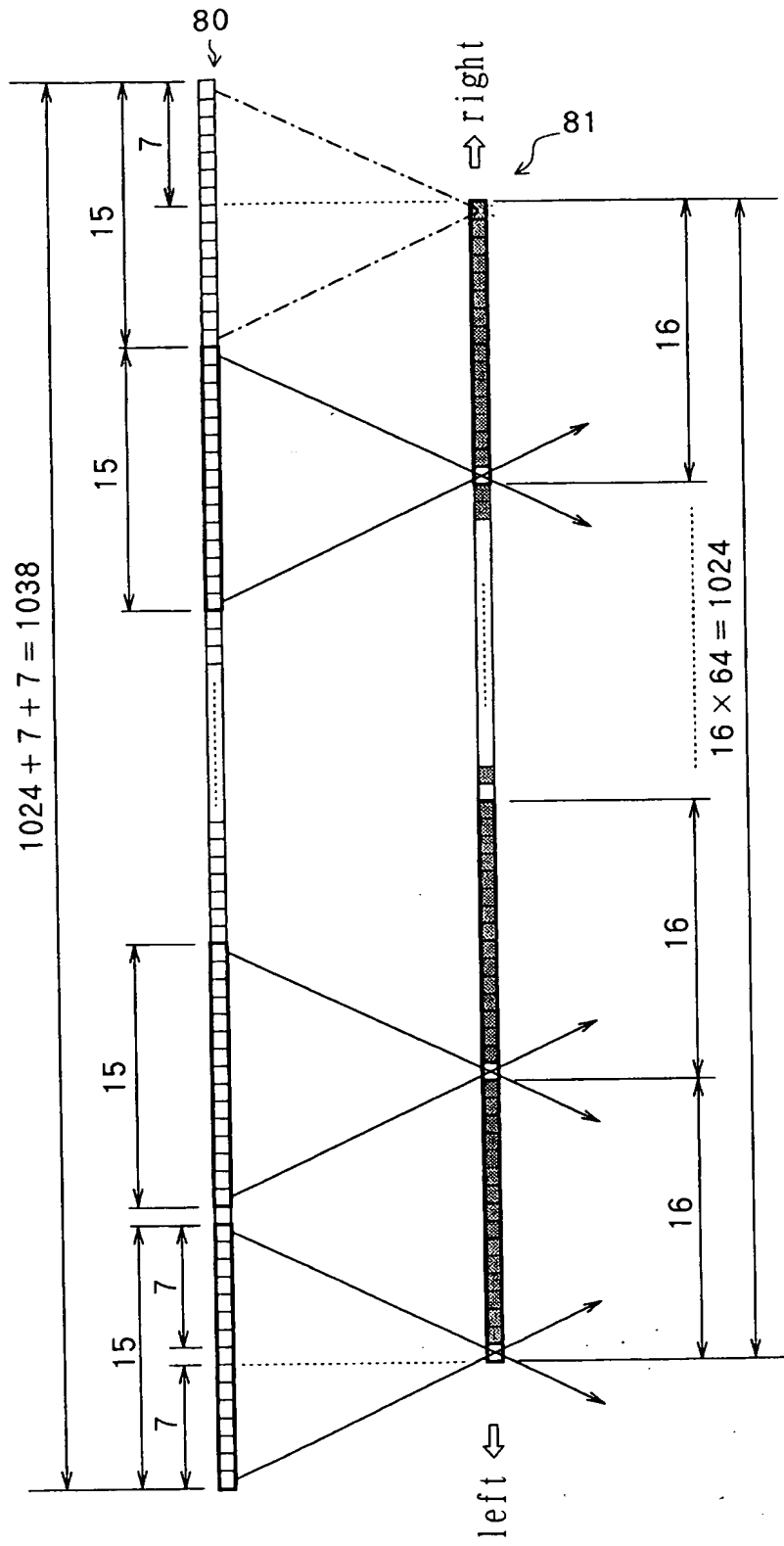


FIG. 33

09546228-091410

1986

09/646228

31/82

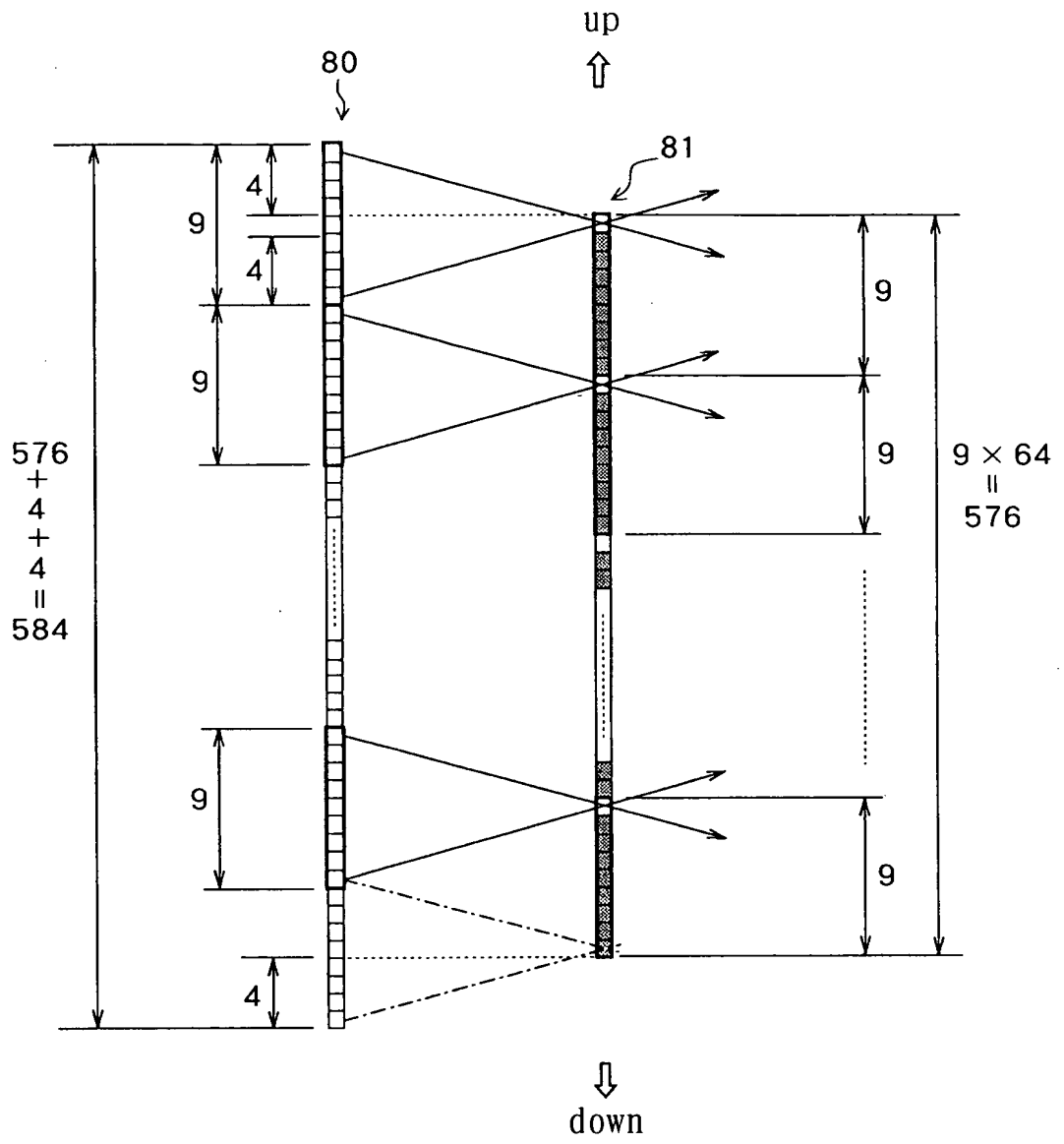


FIG. 34

0046228

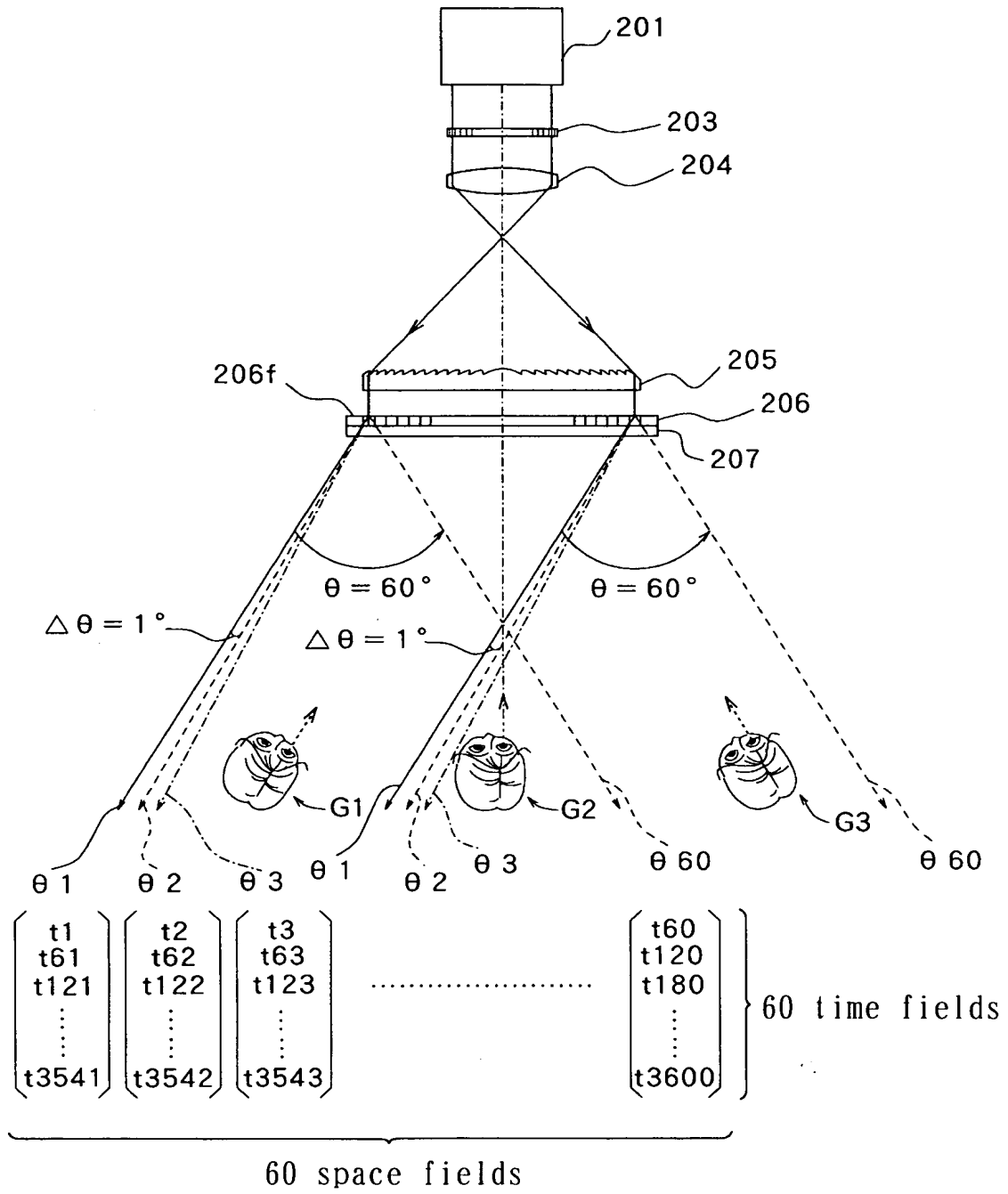


FIG. 35

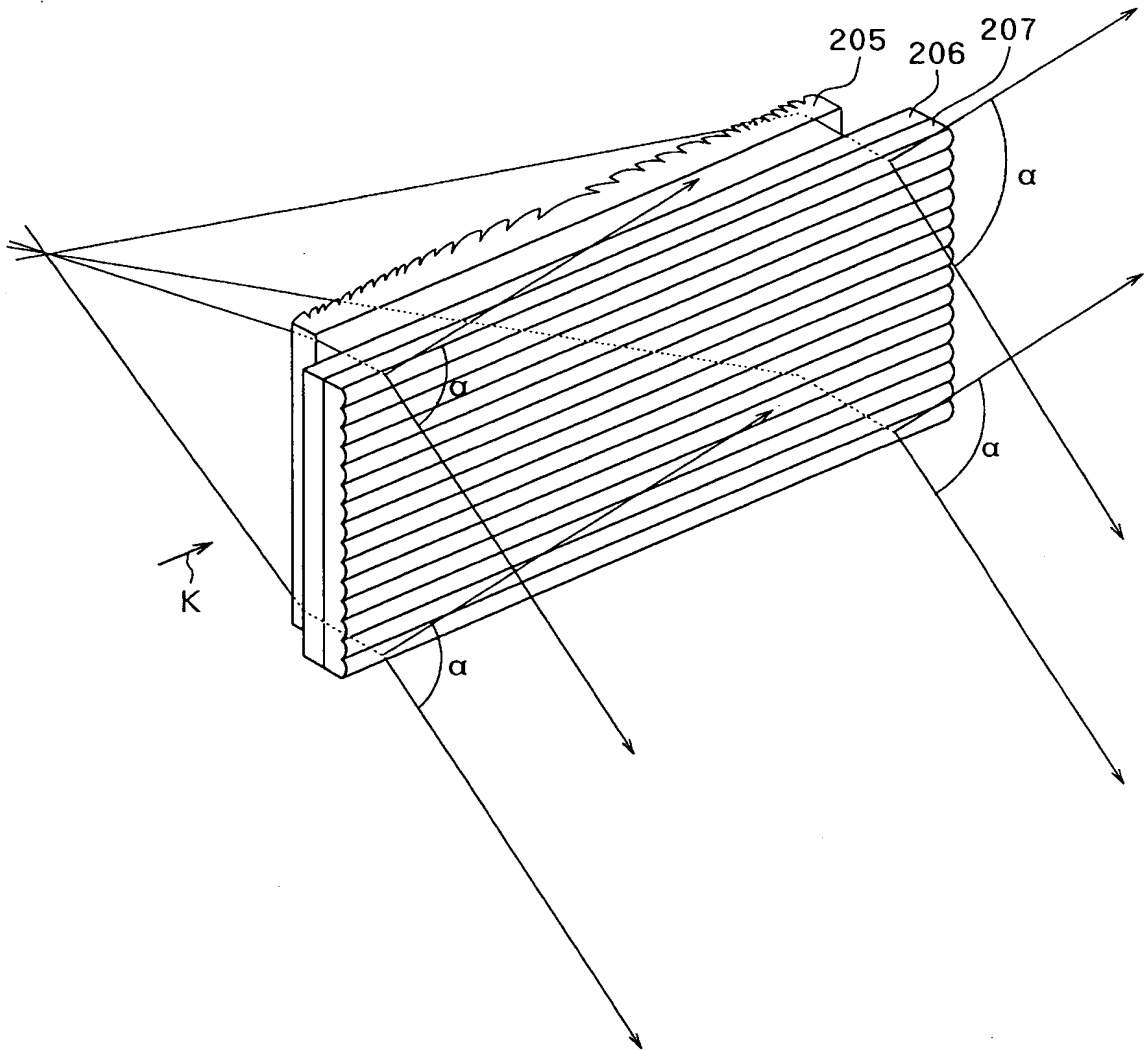


FIG. 36

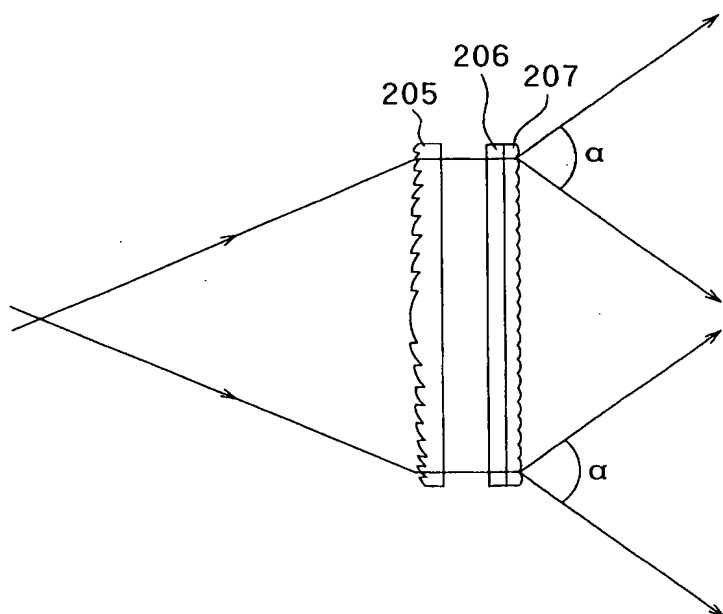


FIG. 37

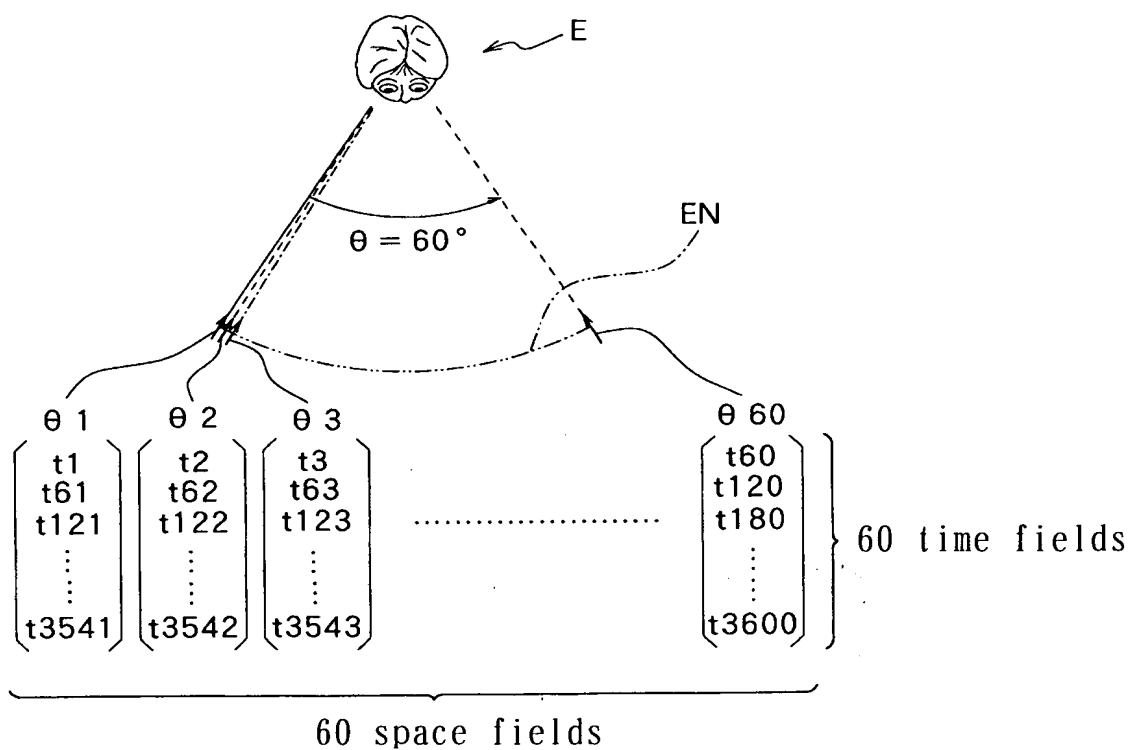


FIG. 38

0046228 82294960



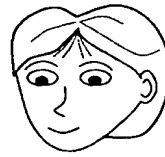
t1[θ 1]

FIG. 39A



t30[θ 30]

FIG. 39B



t60[θ 60]

FIG. 39C



FIG. 40

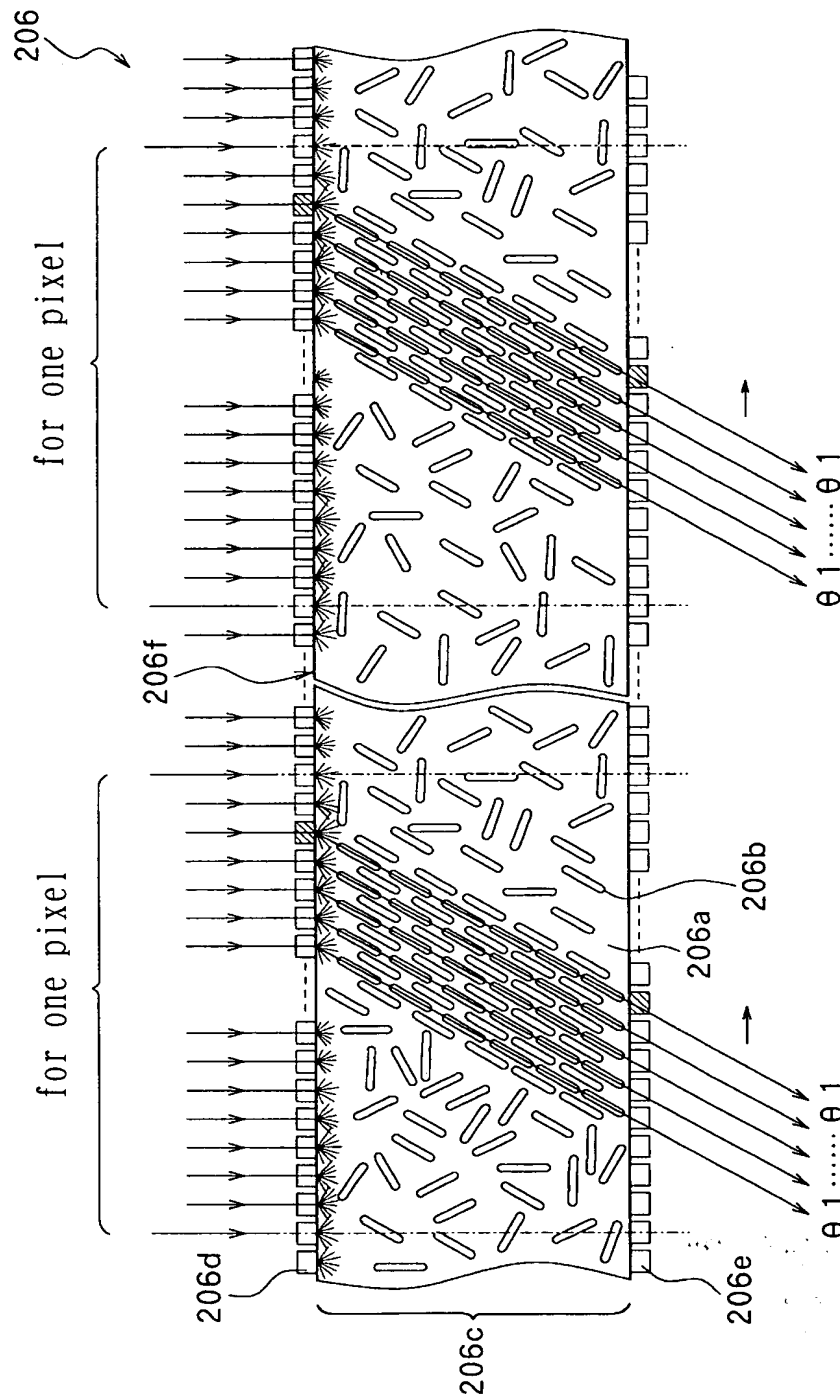


FIG. 41

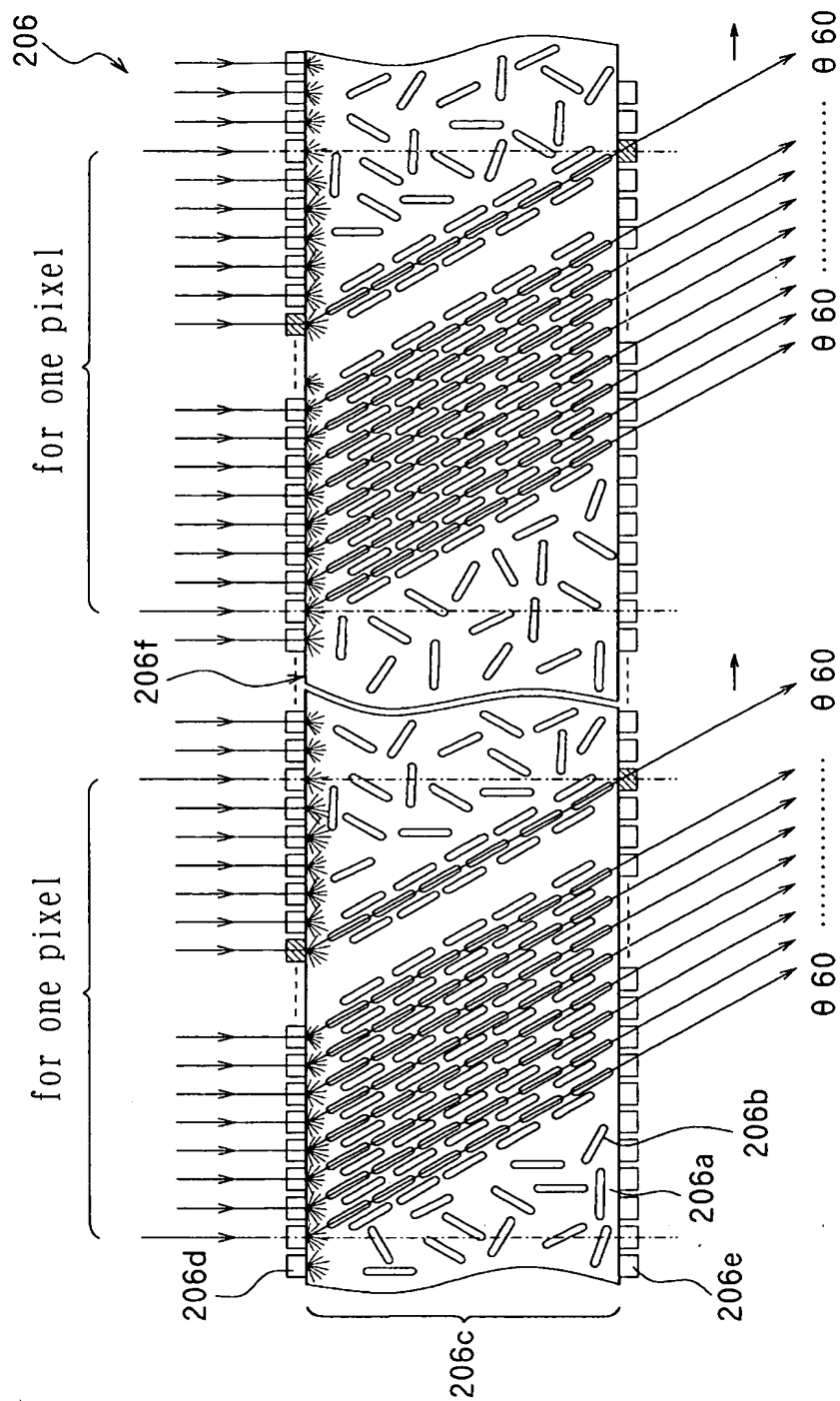


FIG. 42

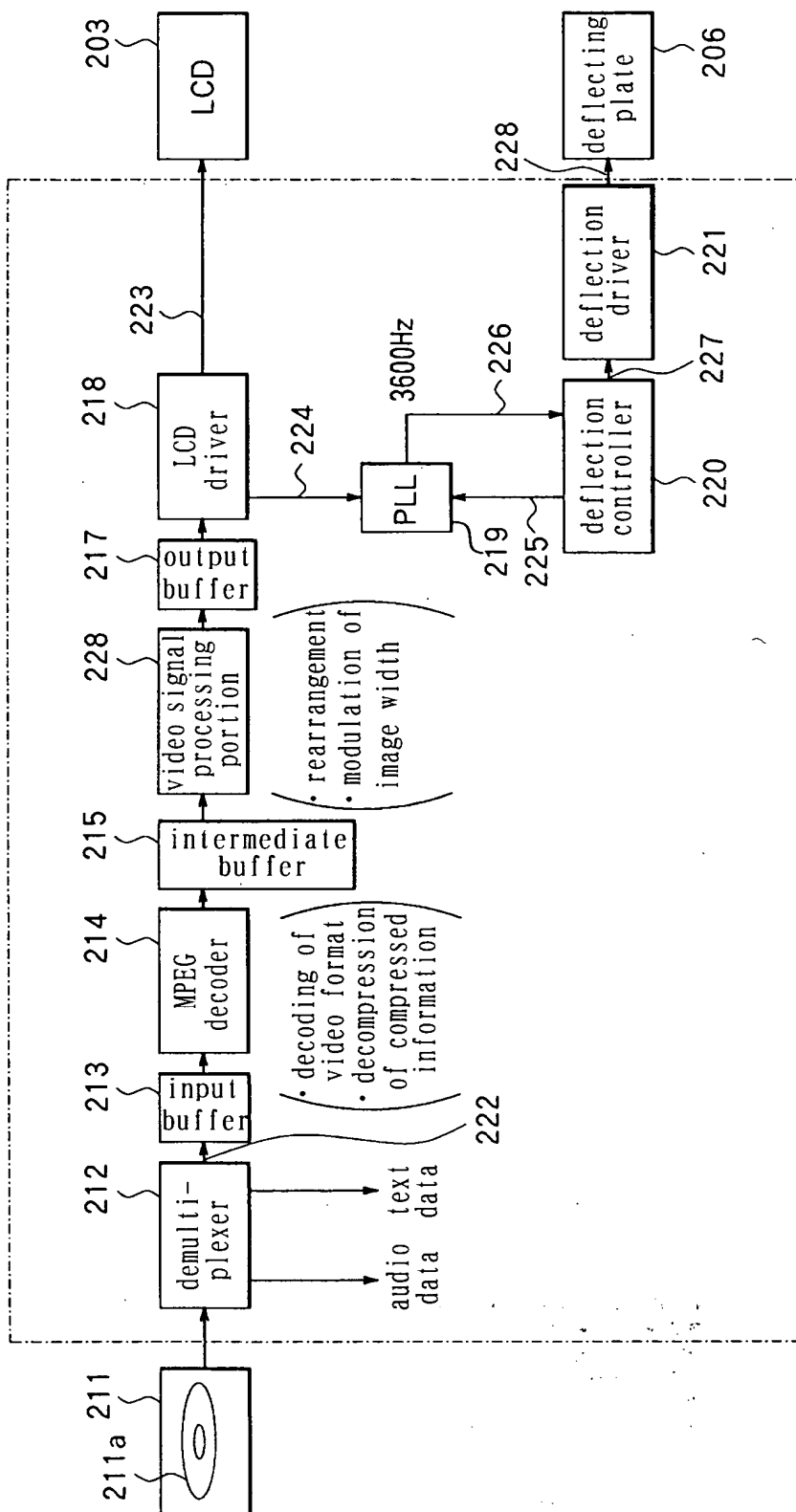


FIG. 43

004160" 32291960

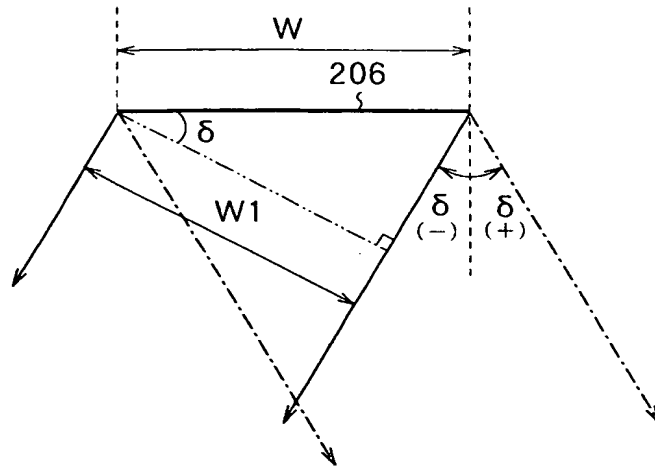


FIG. 44

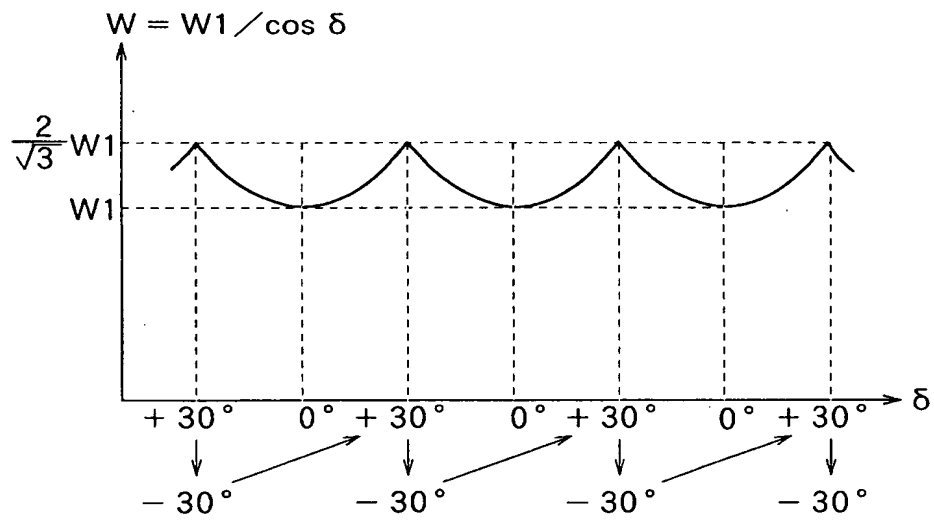
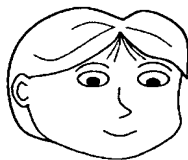
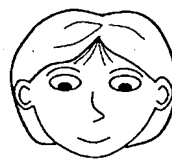


FIG. 45



$\delta = -30^\circ$
(t1[θ 1])

FIG. 46A



$\delta = 0^\circ$
(t30[θ 30])

FIG. 46B



$\delta = +30^\circ$
(t60[θ 60])

FIG. 46C

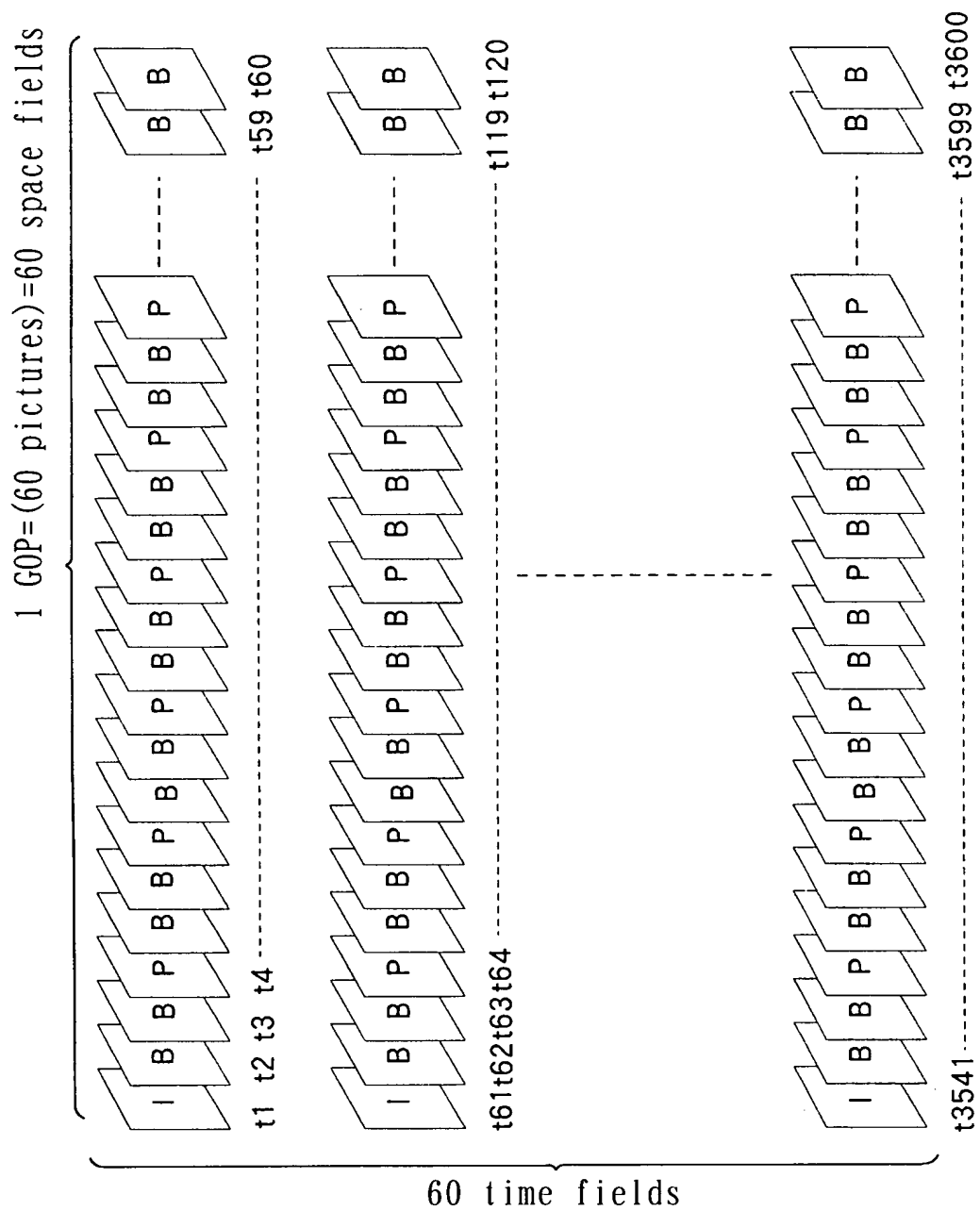


FIG. 47

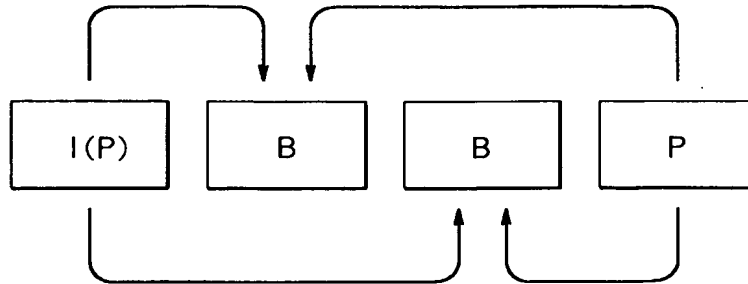


FIG. 48

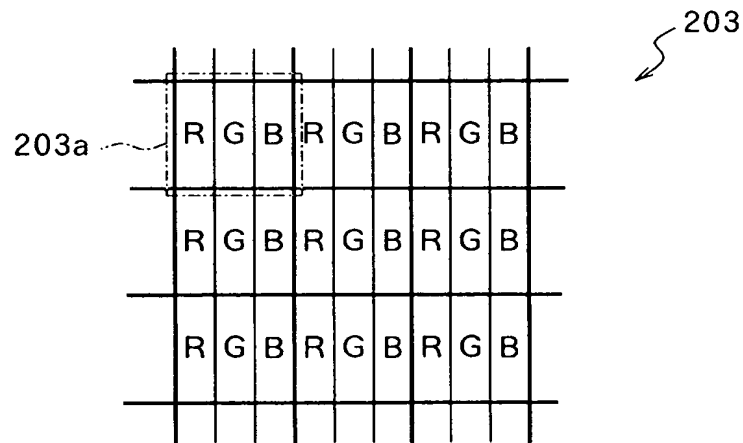
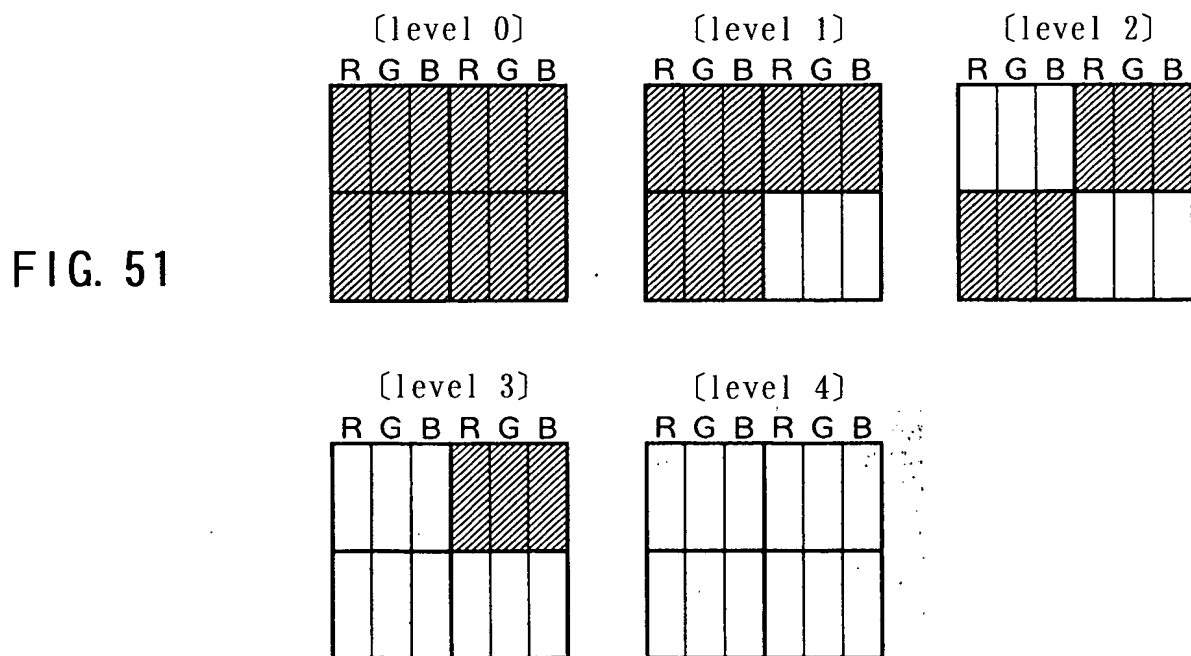


FIG. 49



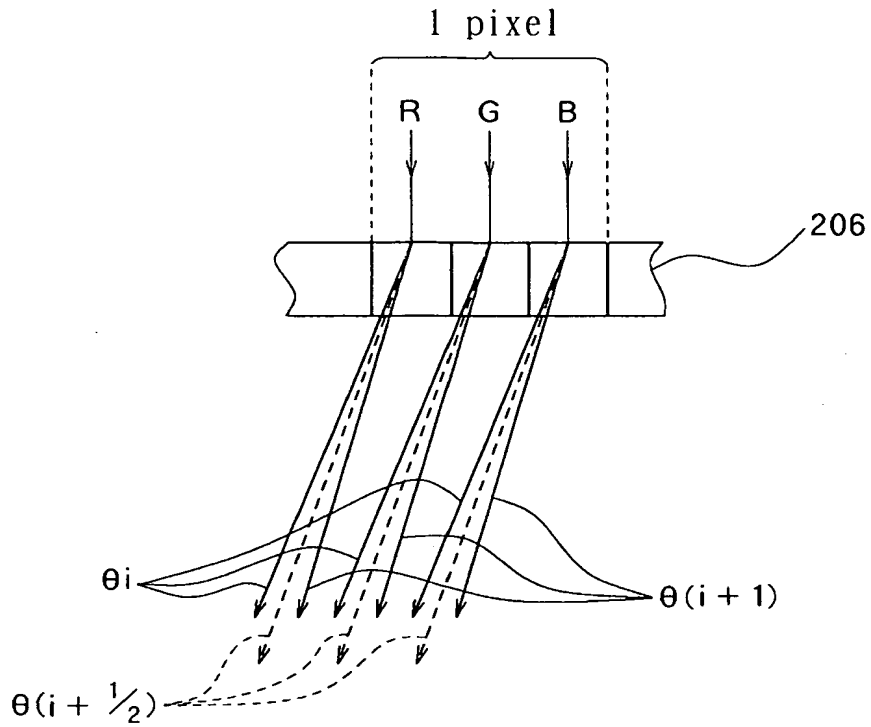


FIG. 52

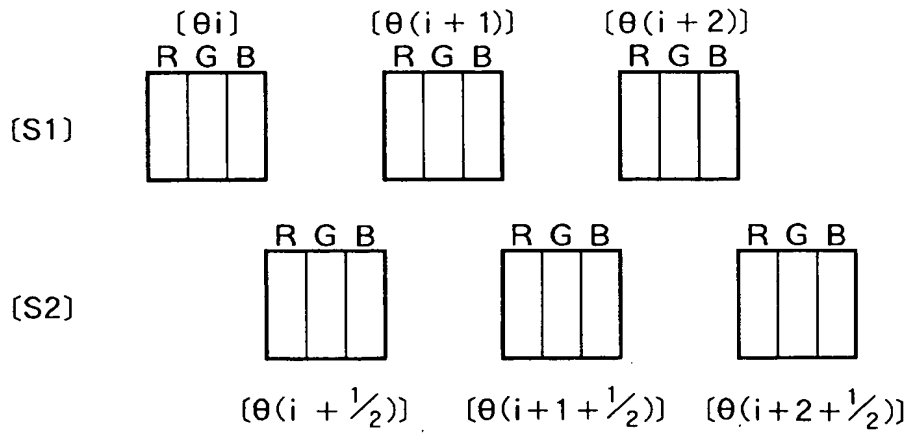


FIG. 53

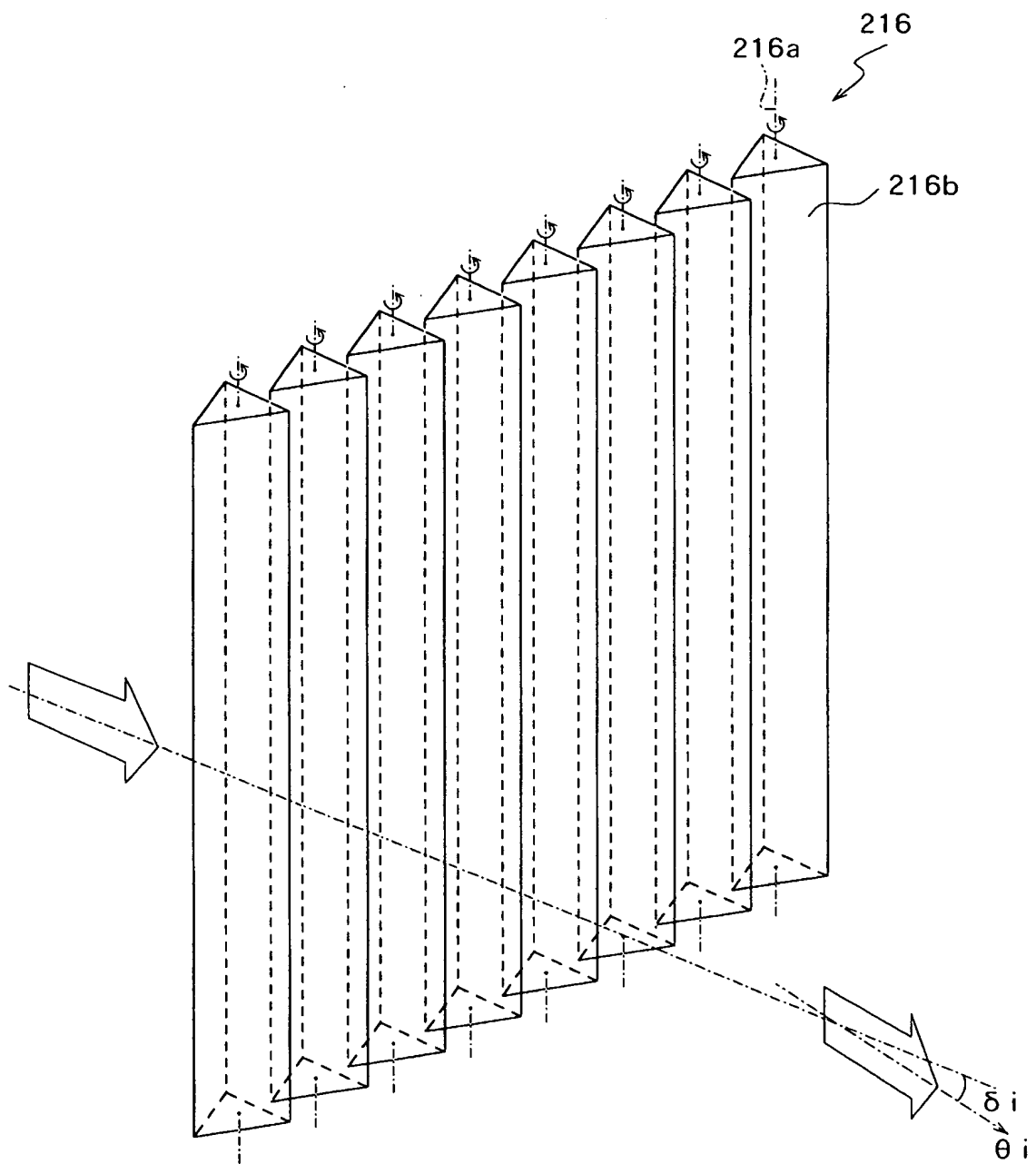


FIG. 54

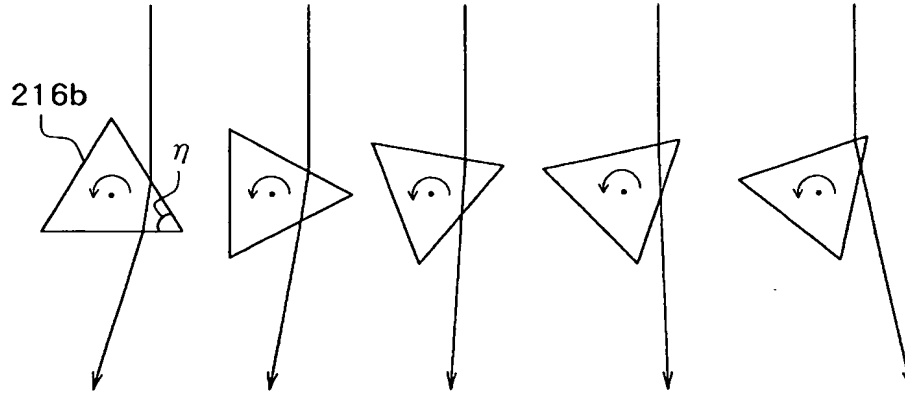


FIG. 55A FIG. 55B FIG. 55C FIG. 55D FIG. 55E

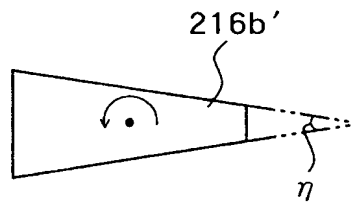


FIG. 56

004160" 82291960

004T60" 82294960

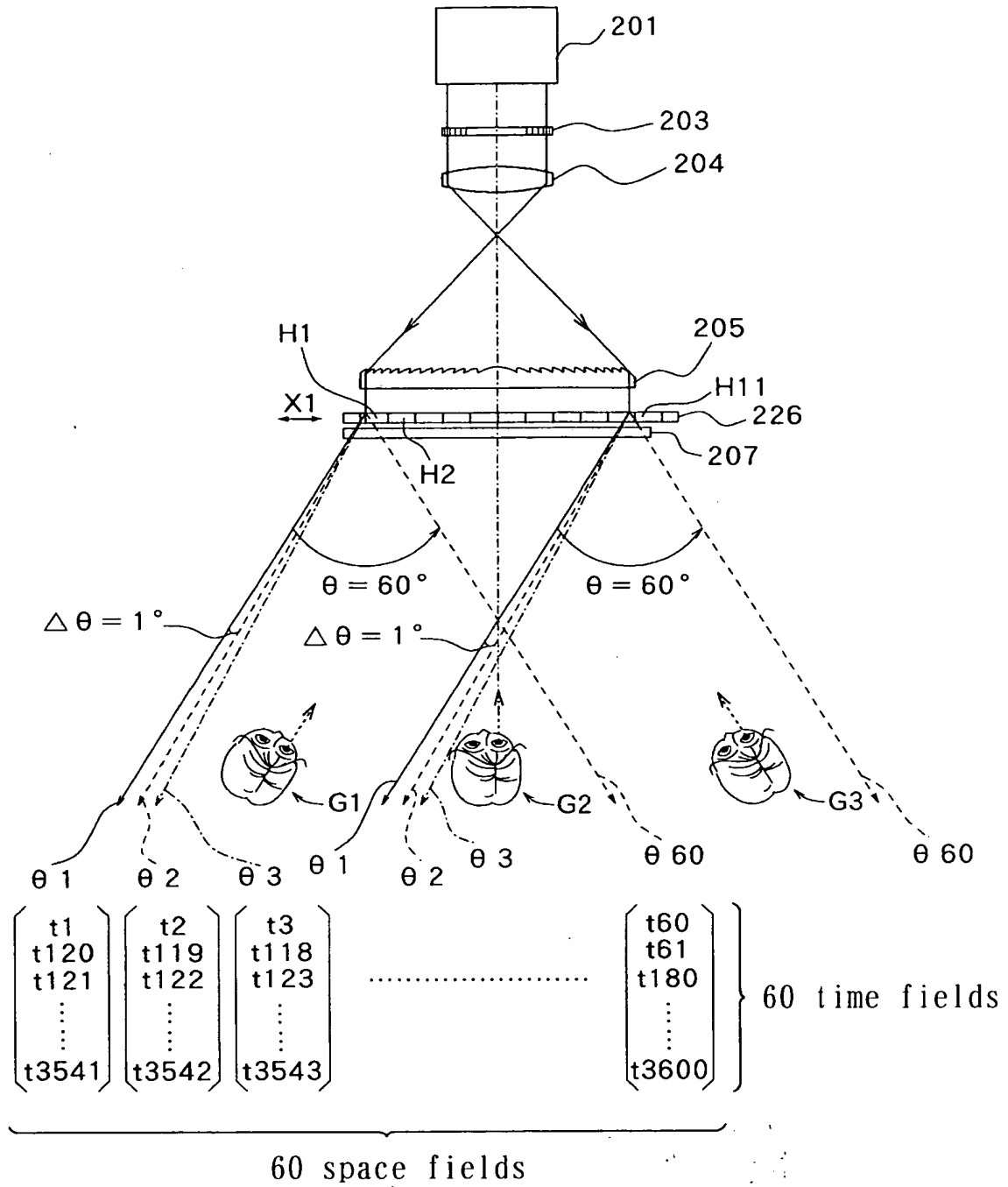


FIG. 57

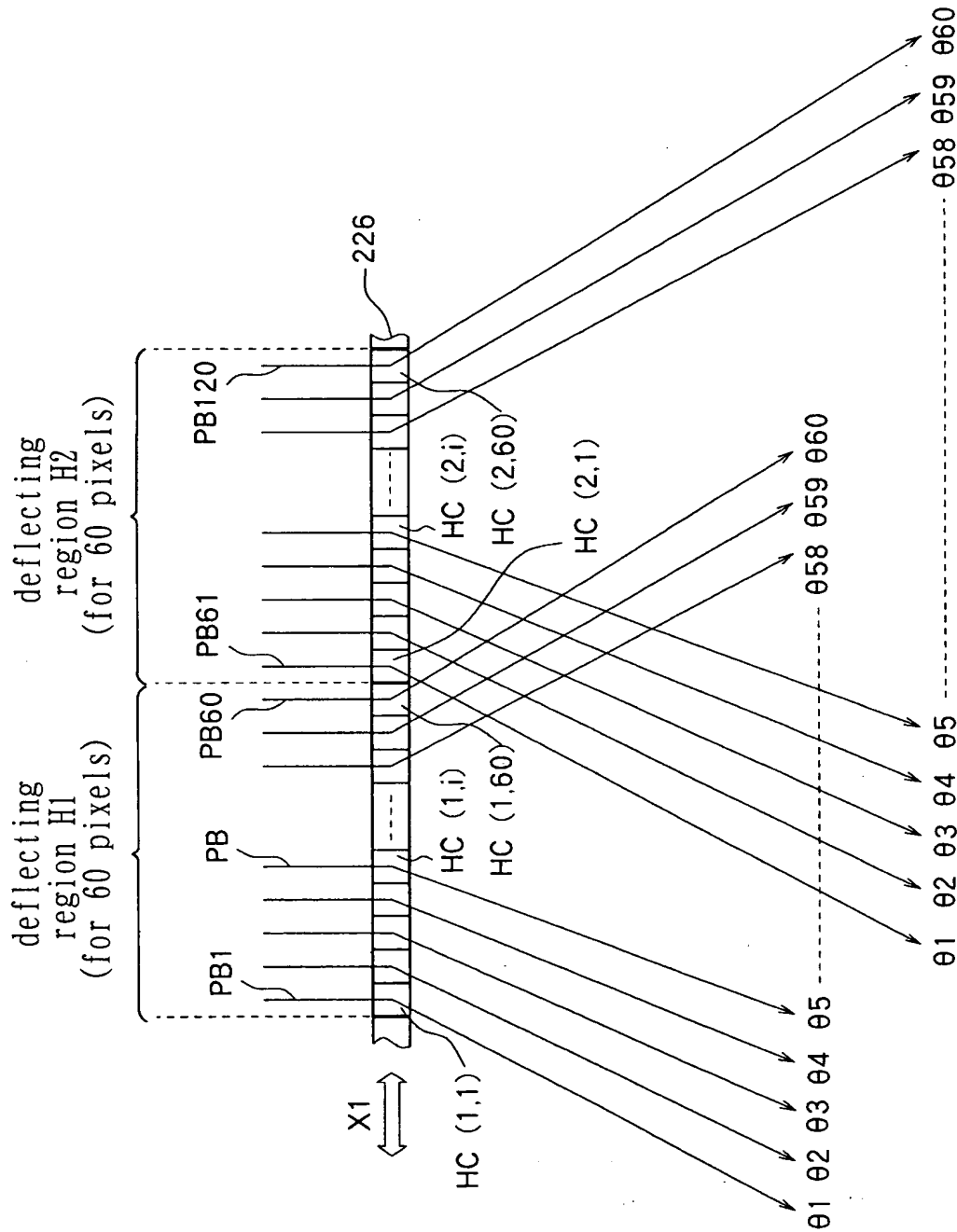


FIG. 58

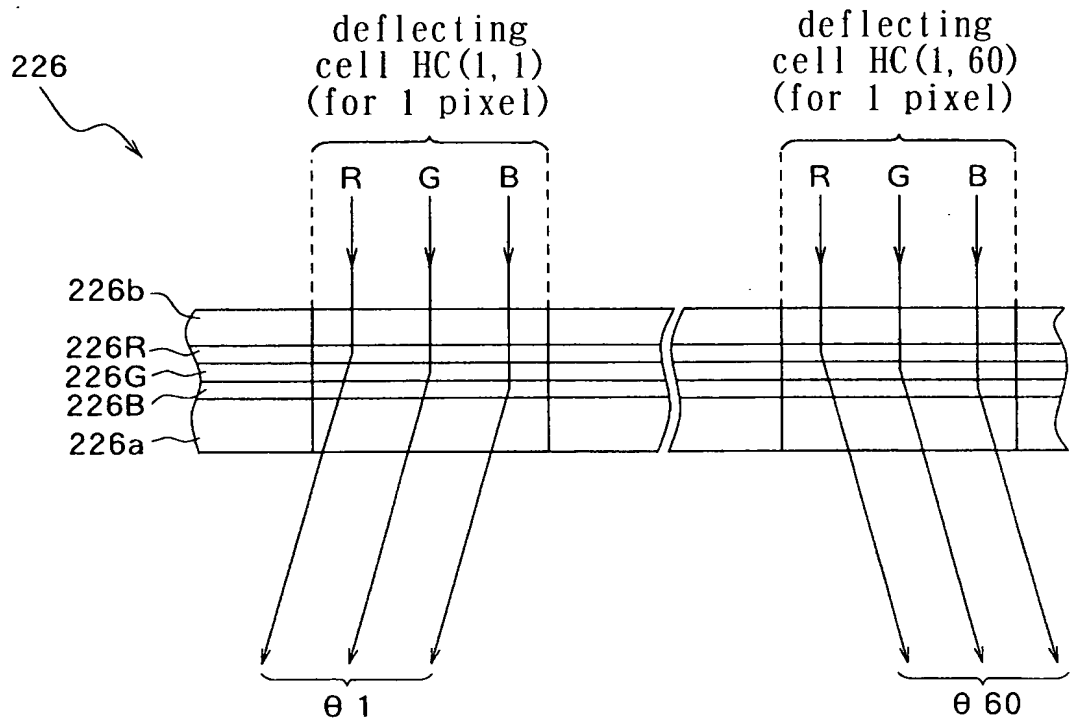
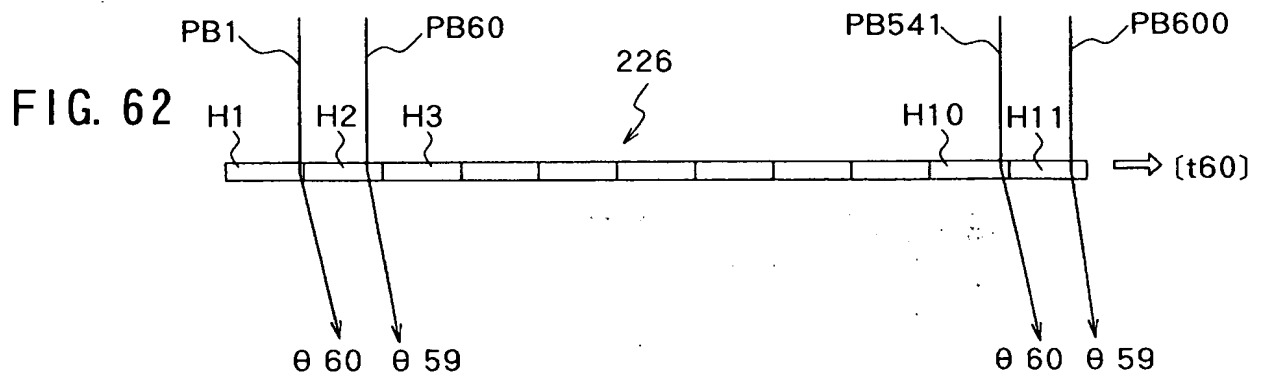
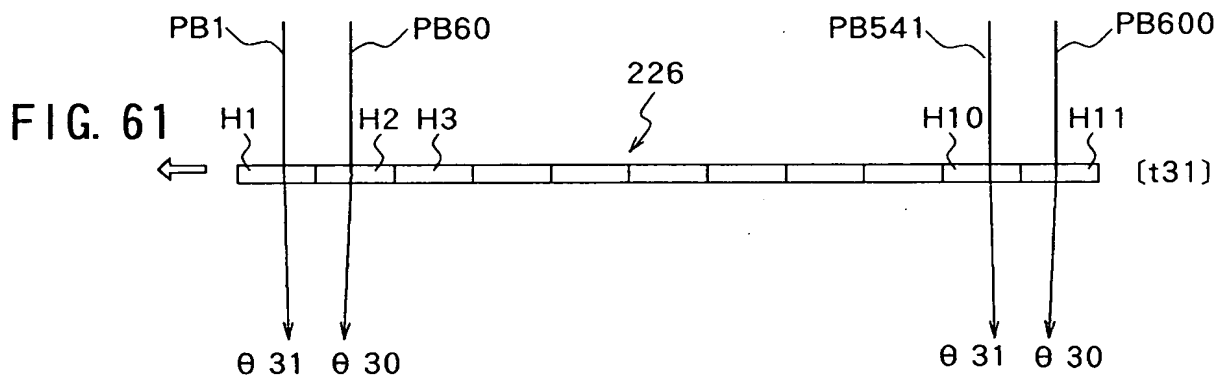
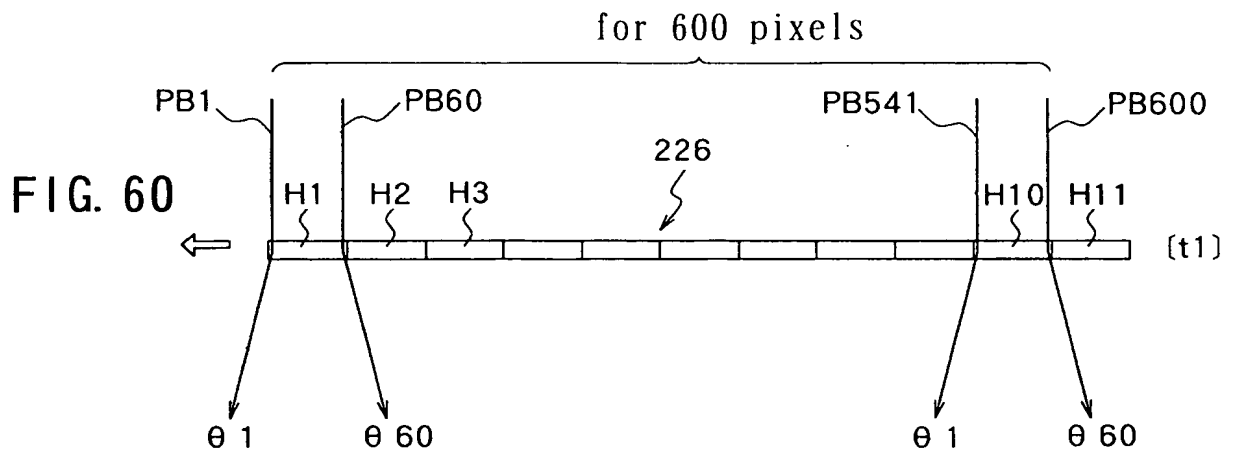


FIG. 59



	deflecting region H1					deflecting region H2					deflecting region H60				
	tj	1	2	59	60	61	62	119	120	121	122	541	542	599	600
60 space fields	t1	01	02	059	060	01	02	059	060	01	02	01	02	059	060
	t2	02	03	060	01	02	03	060	01	02	03	02	03	060	01
	t3	03	04	01	02	03	04	01	02	03	04	03	04	01	02

	t59	059	060	057	058	059	060	057	058	059	060	059	060	057	058
60 space fields	t60	060	01	058	059	060	01	058	059	060	01	060	01	058	059
	t61	060	01	058	059	060	01	058	059	060	01	060	01	058	059
	t62	059	060	057	058	059	060	057	058	059	060	059	060	057	058
	t63	058	059	056	057	058	059	056	057	058	059	058	059	056	057

60 space fields	t119	02	03	060	01	02	03	060	01	02	03	02	03	060	01
	t120	01	02	059	060	01	02	059	060	01	02	01	02	059	060
	t121	01	02	059	060	01	02	059	060	01	02	01	02	059	060
	t122	02	03	060	01	02	03	060	01	02	03	02	03	060	01
	t123	03	04	01	02	03	04	01	02	03	04	03	04	01	02
60 space fields
	t179	059	060	057	058	059	060	057	058	059	060	059	060	057	058
	t180	060	01	058	059	060	01	058	059	060	01	060	01	058	059

	t3541	060	01	058	059	060	01	058	059	060	01	060	01	058	059
60 space fields	t3542	059	060	057	058	059	060	057	058	059	060	059	060	057	058
	t3543	058	059	056	057	058	059	056	057	058	059	058	059	056	057

	t3599	02	03	060	01	02	03	060	01	02	03	02	03	060	01
	t3600	01	02	059	060	01	02	059	060	01	02	01	02	059	060

FIG. 63

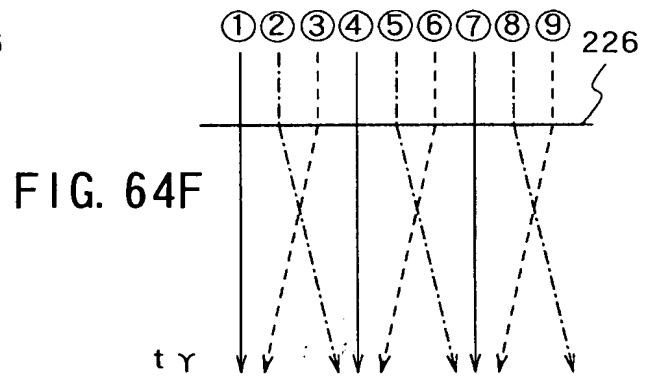
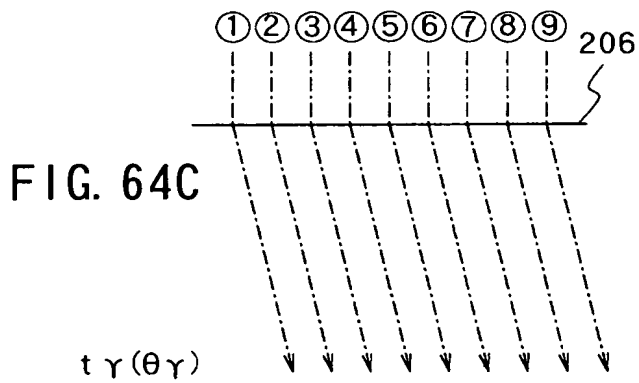
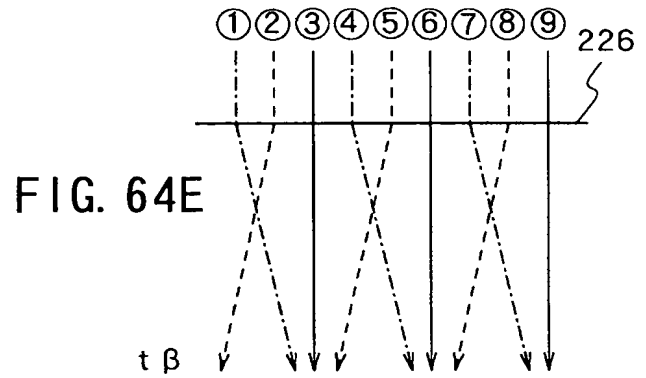
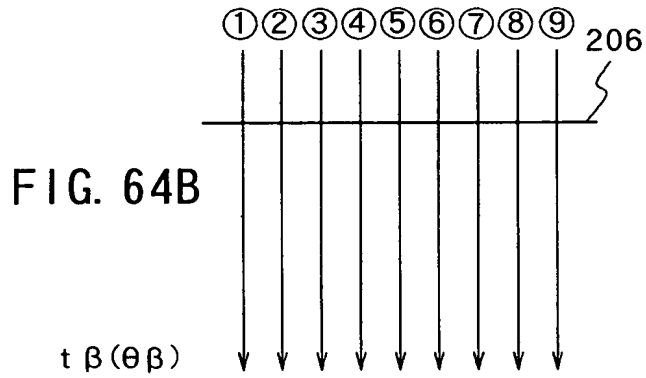
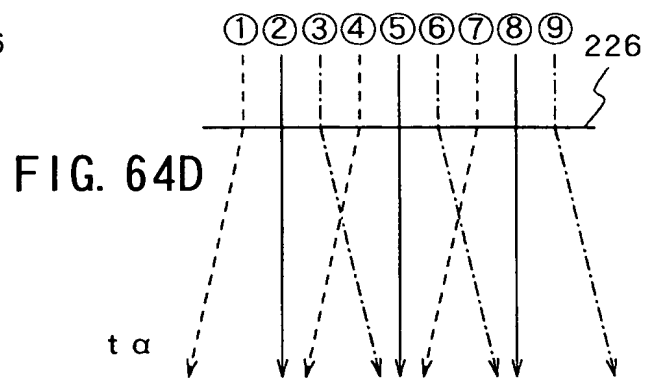
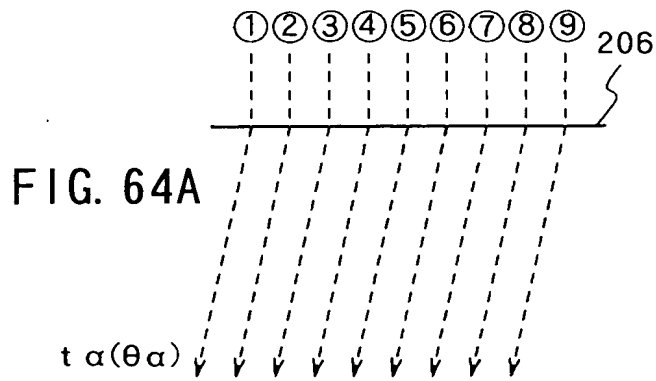


FIG. 65

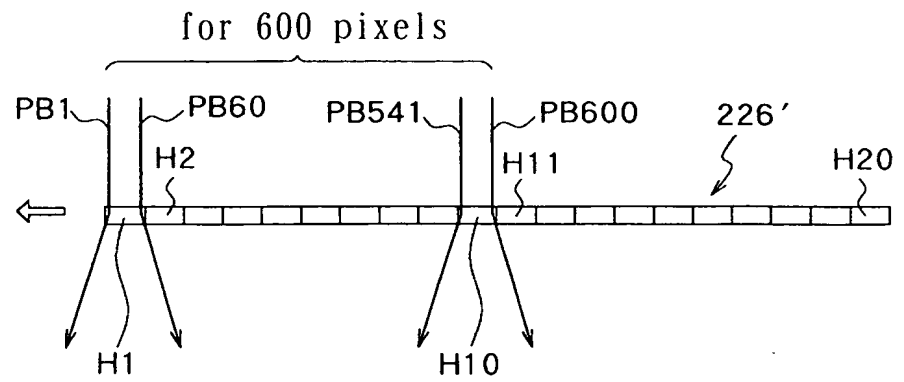


FIG. 66

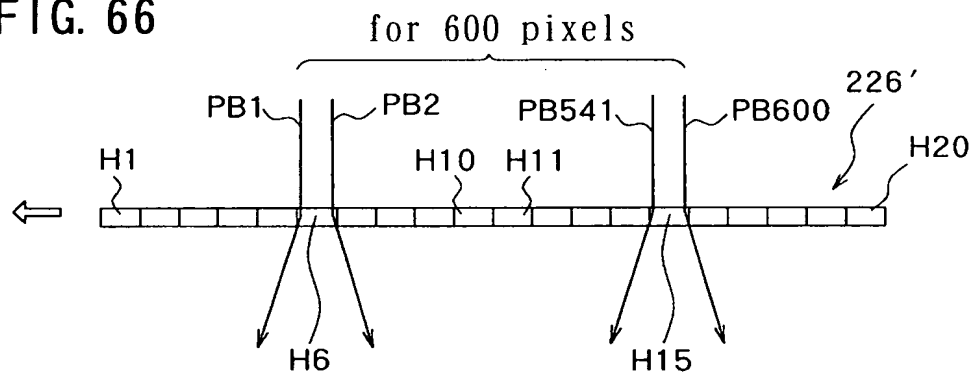
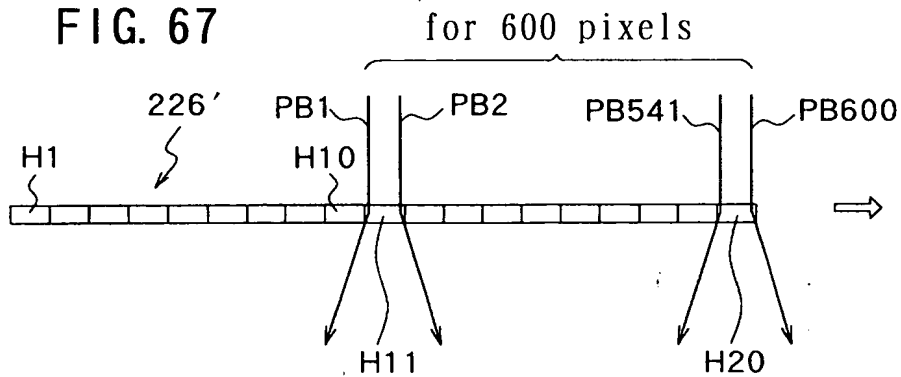


FIG. 67



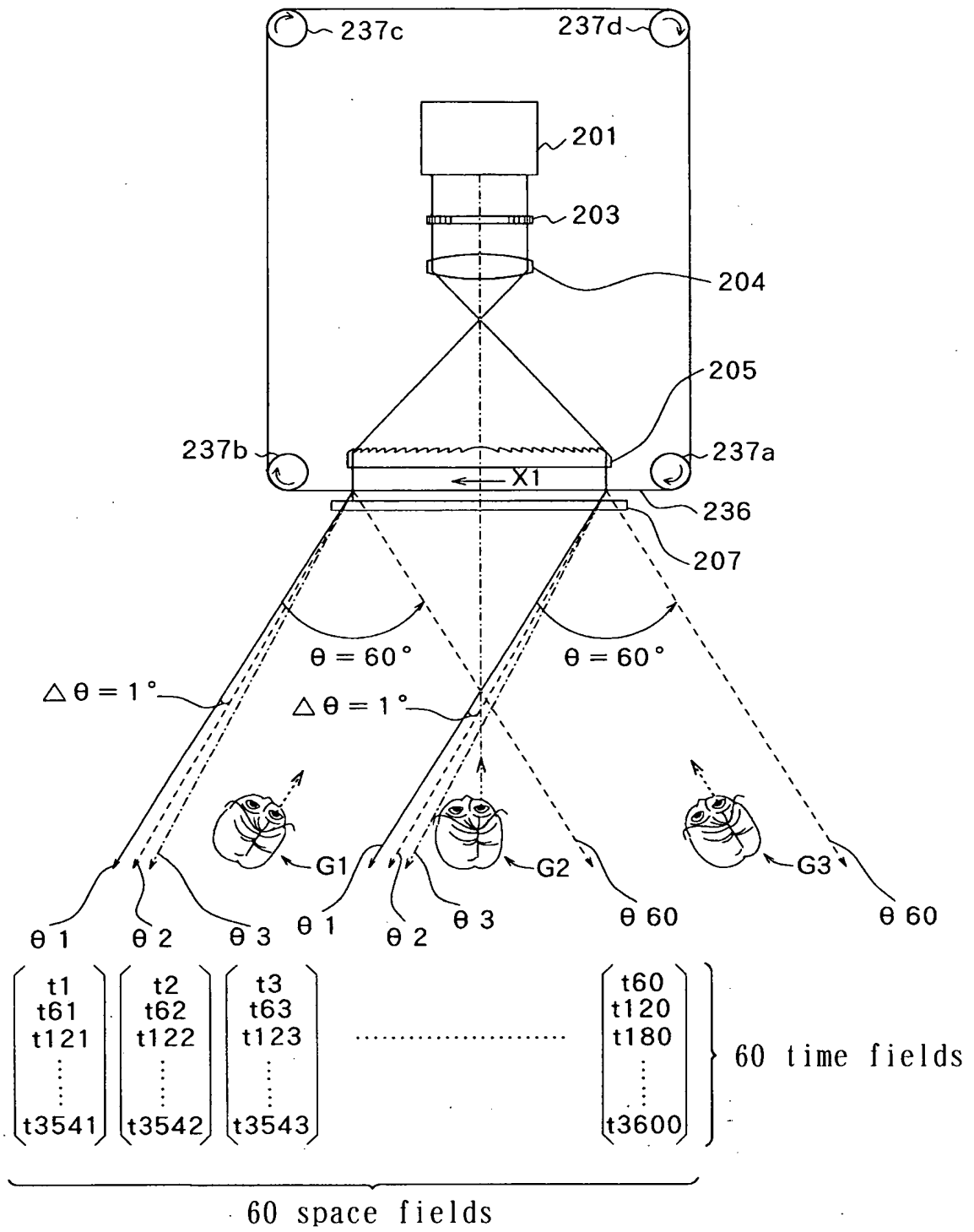


FIG. 68

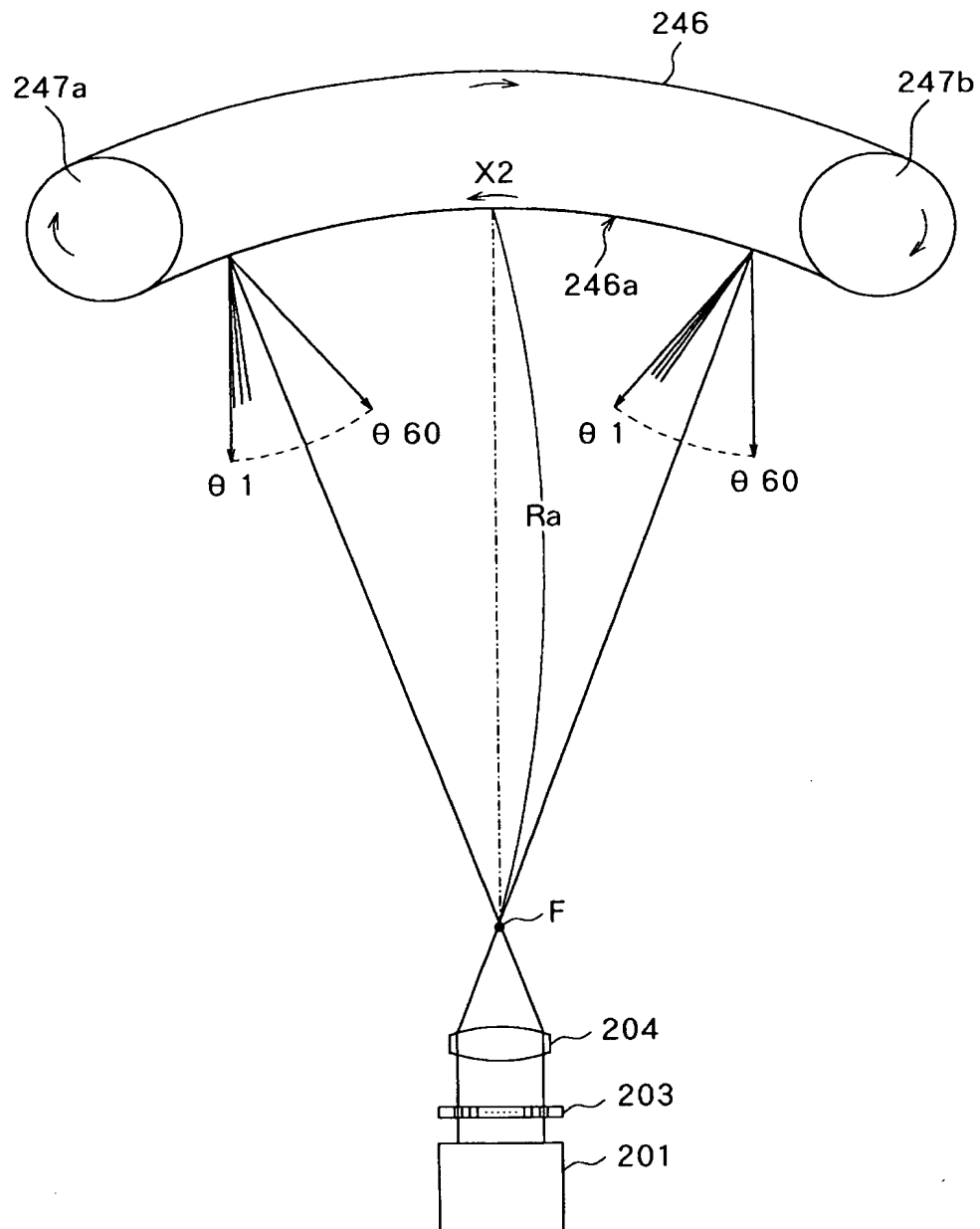


FIG. 69

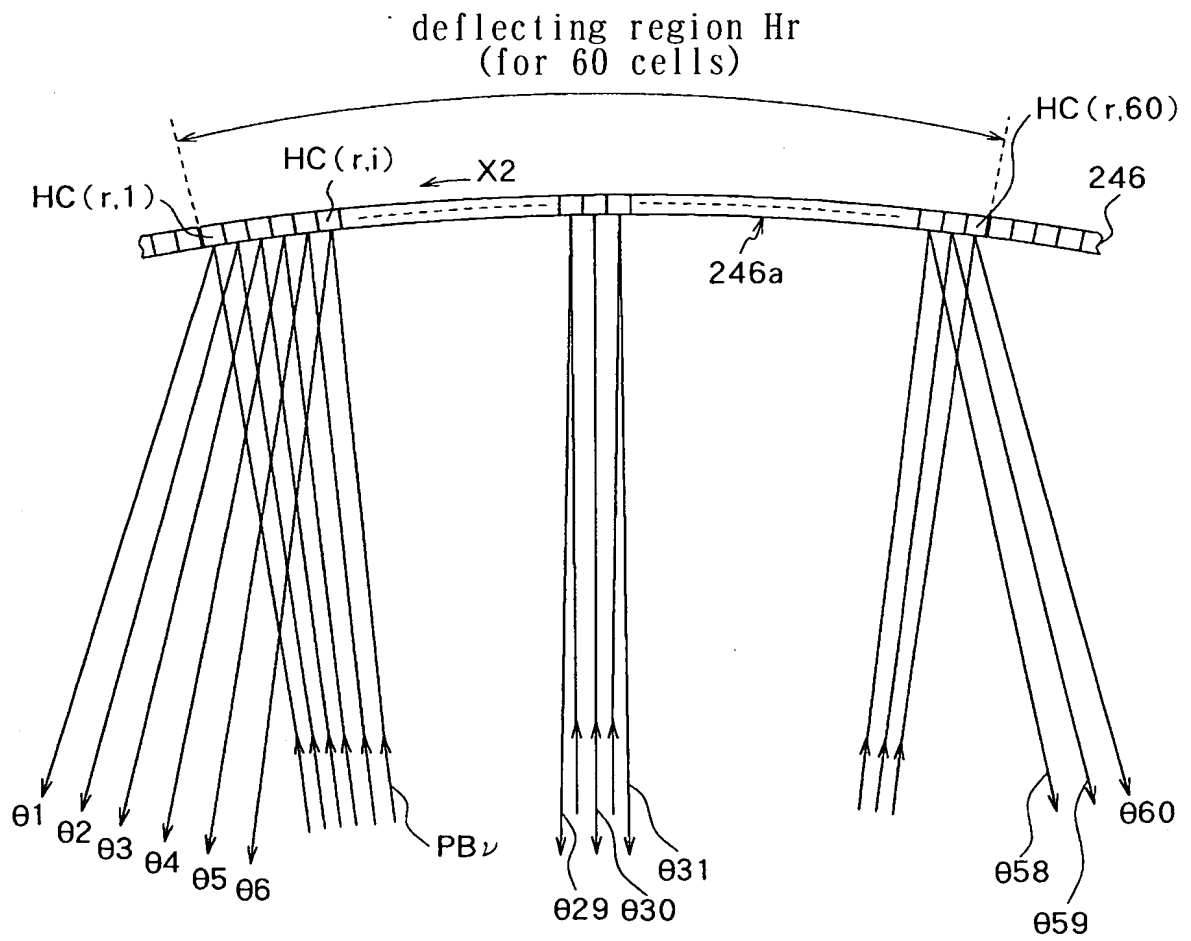
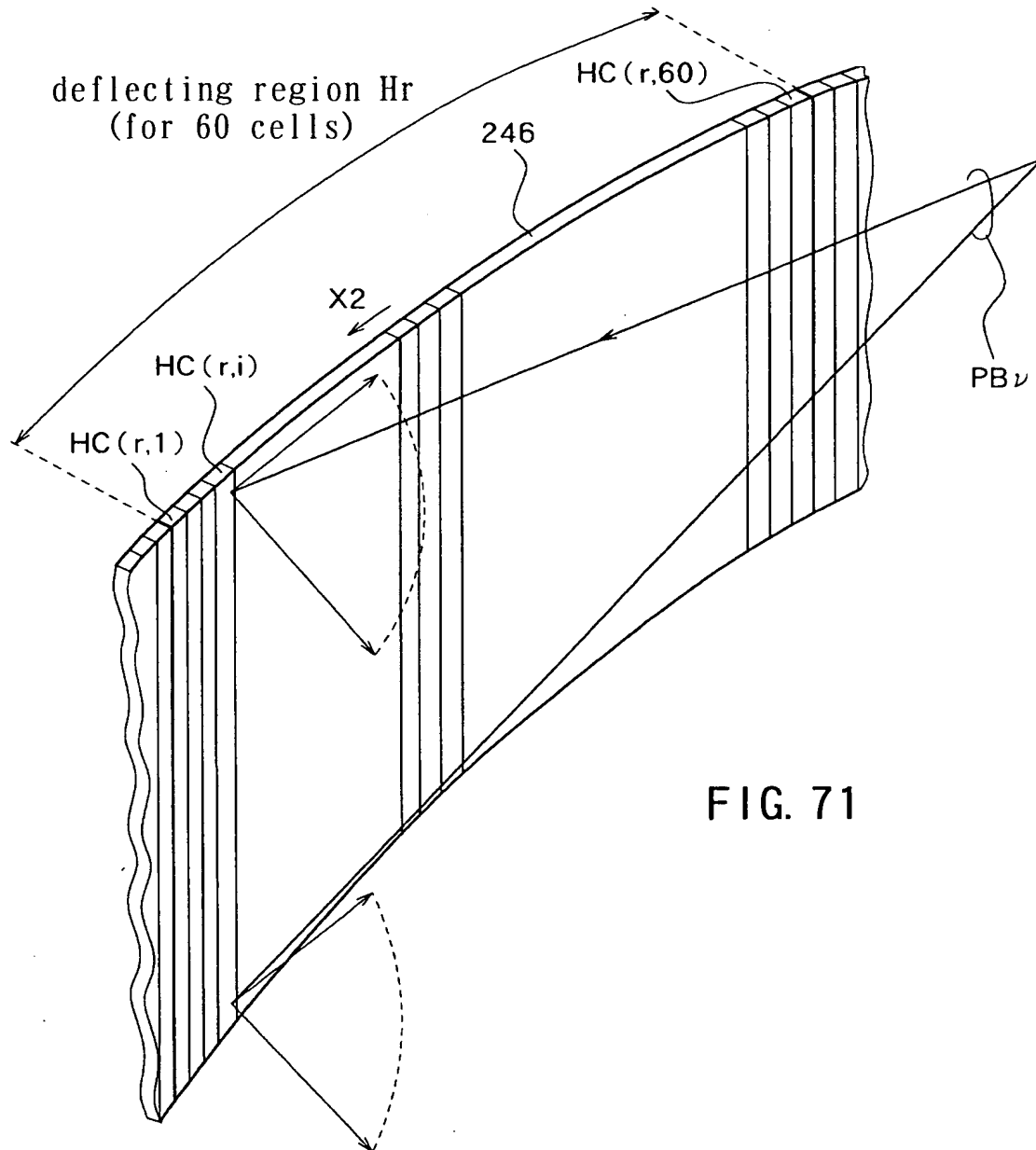


FIG. 70



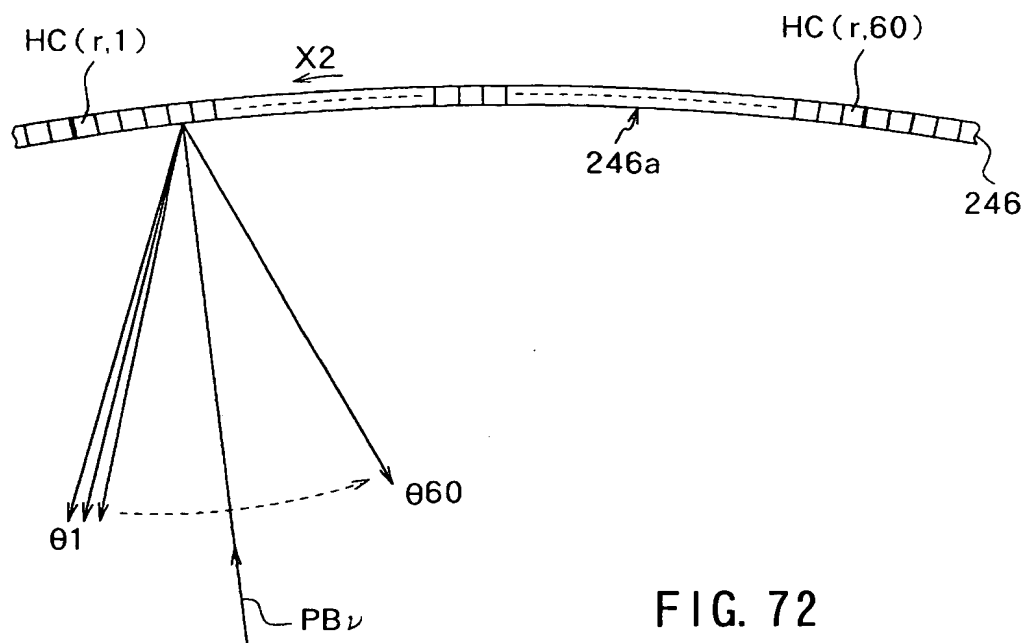


FIG. 72

004T60" 82294960

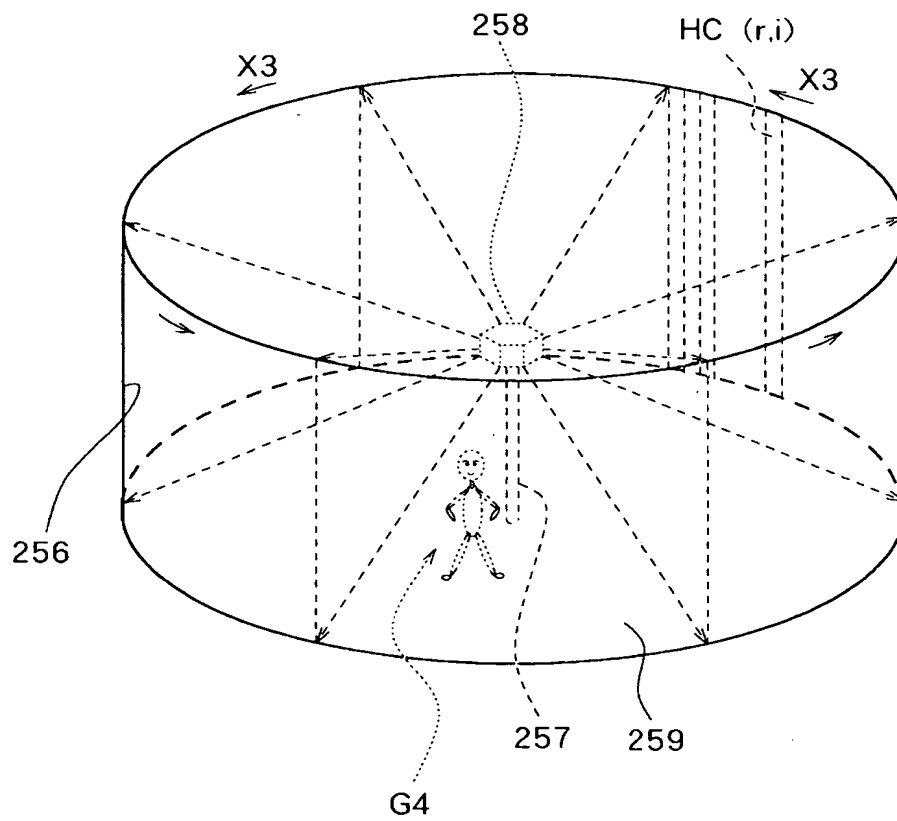


FIG. 73

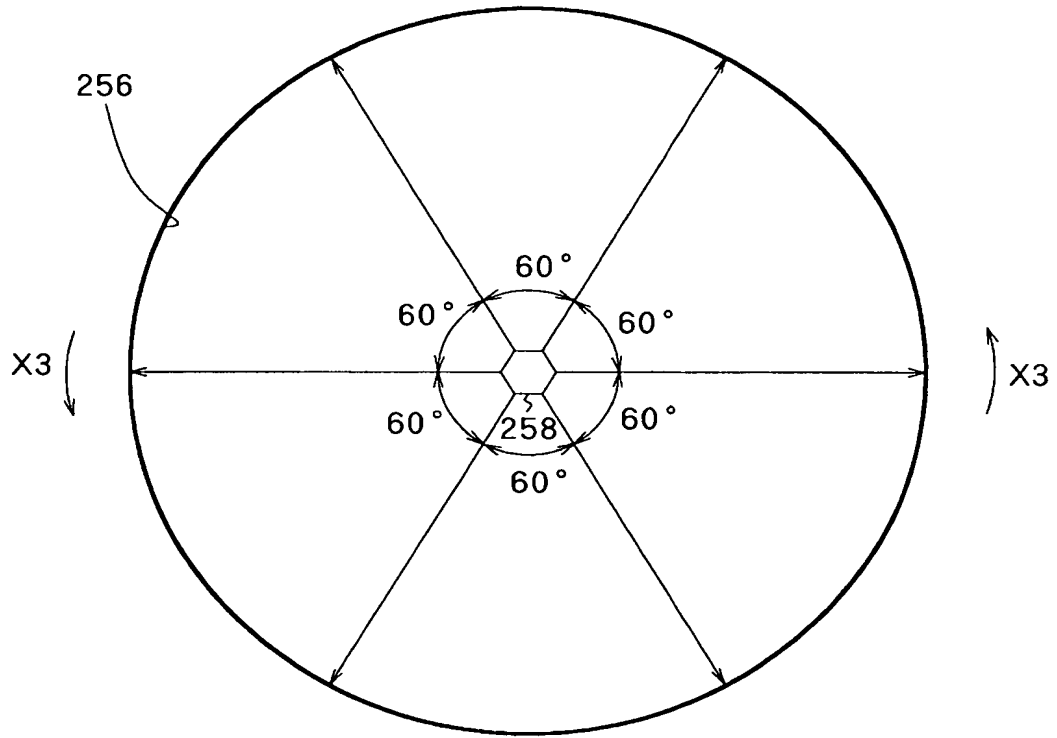


FIG. 74

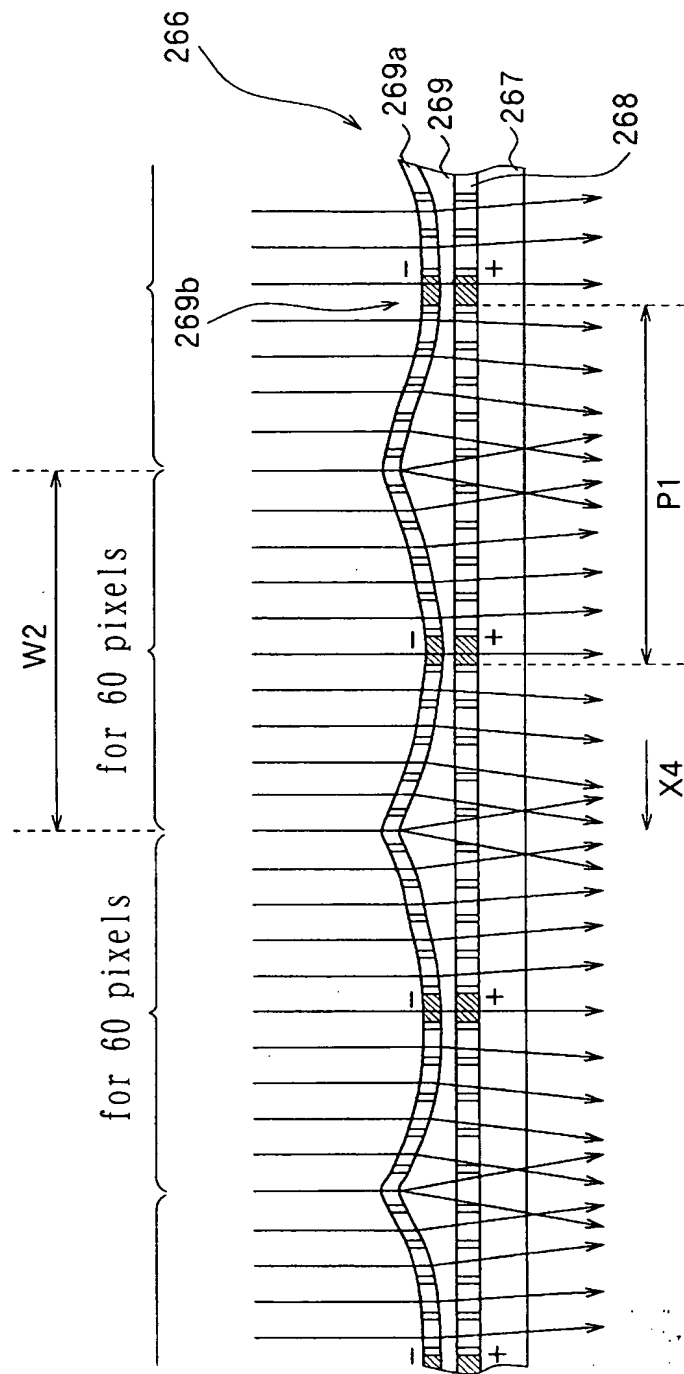


FIG. 75

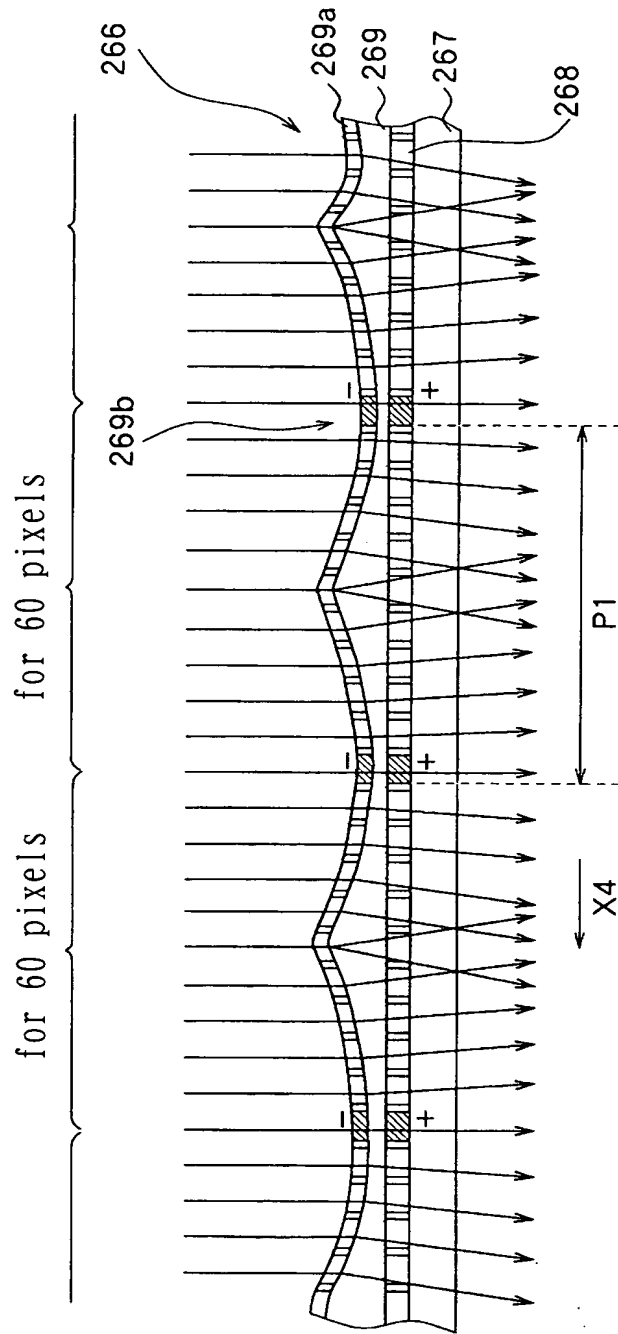


FIG. 76

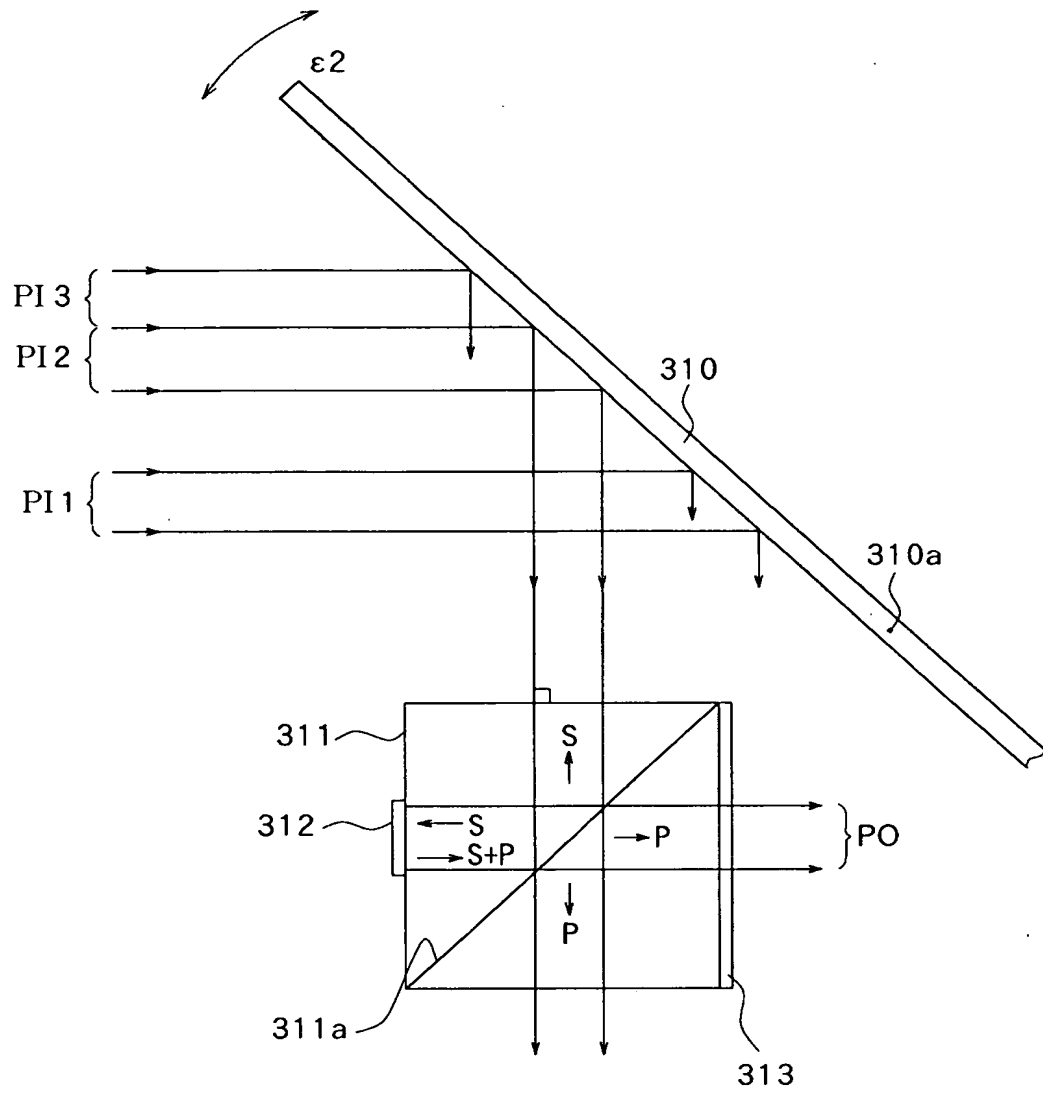


FIG. 78

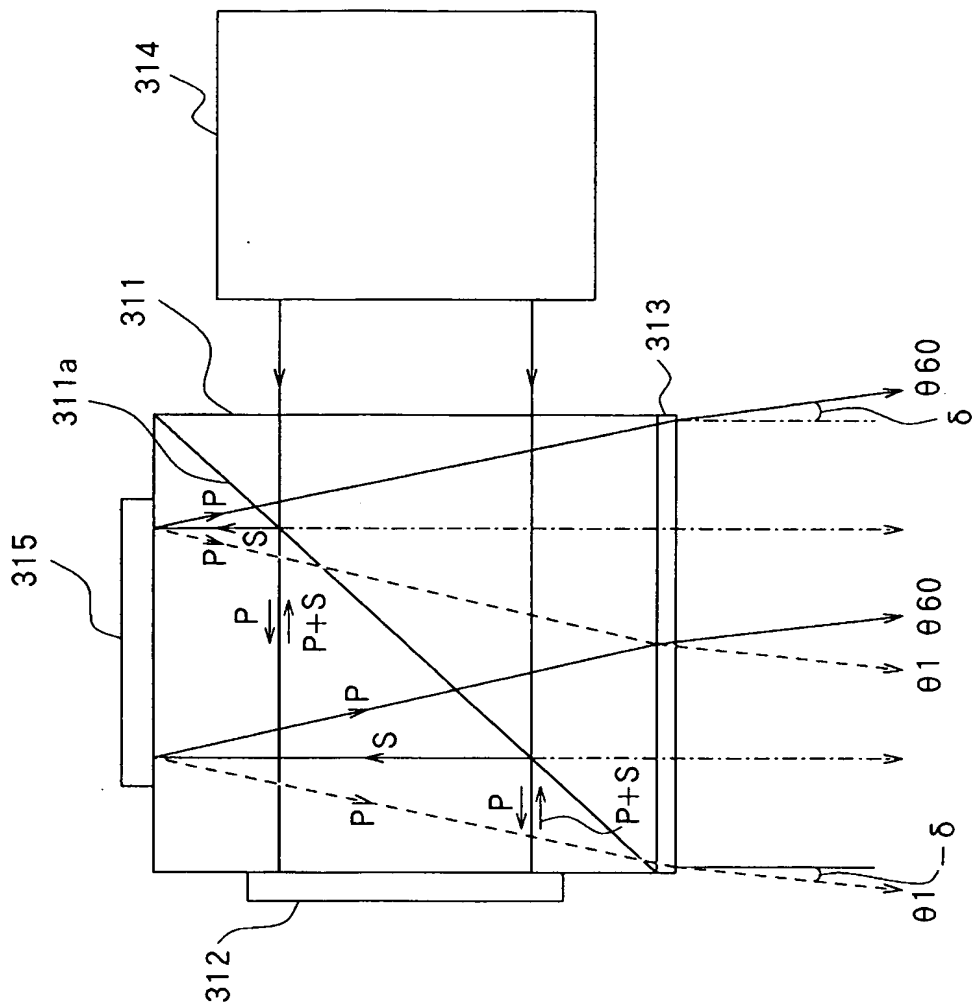


FIG. 80

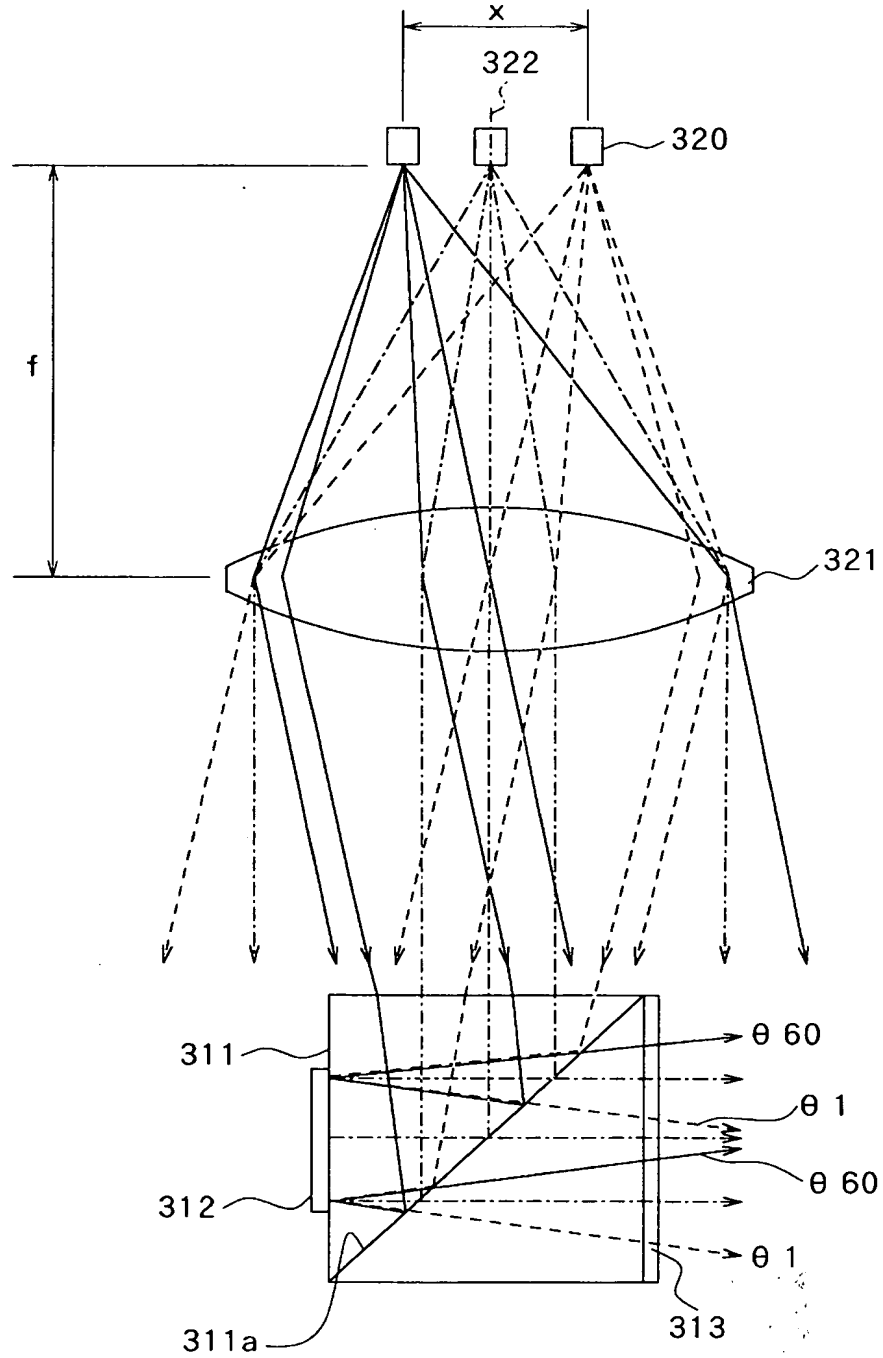


FIG. 81

0046228-01400

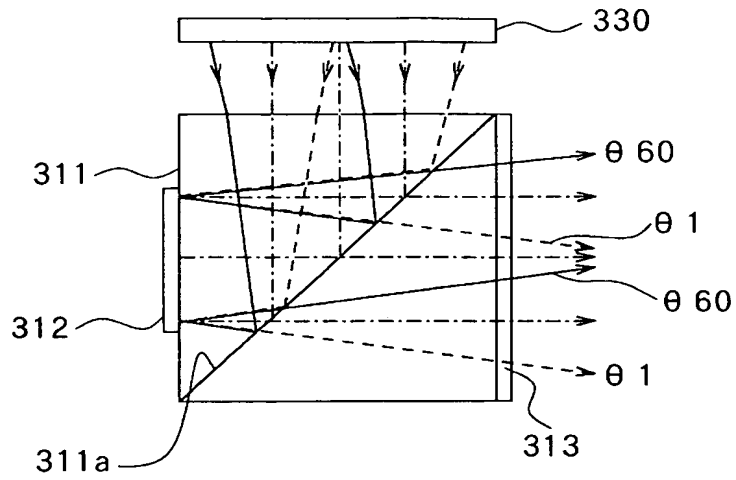


FIG. 82

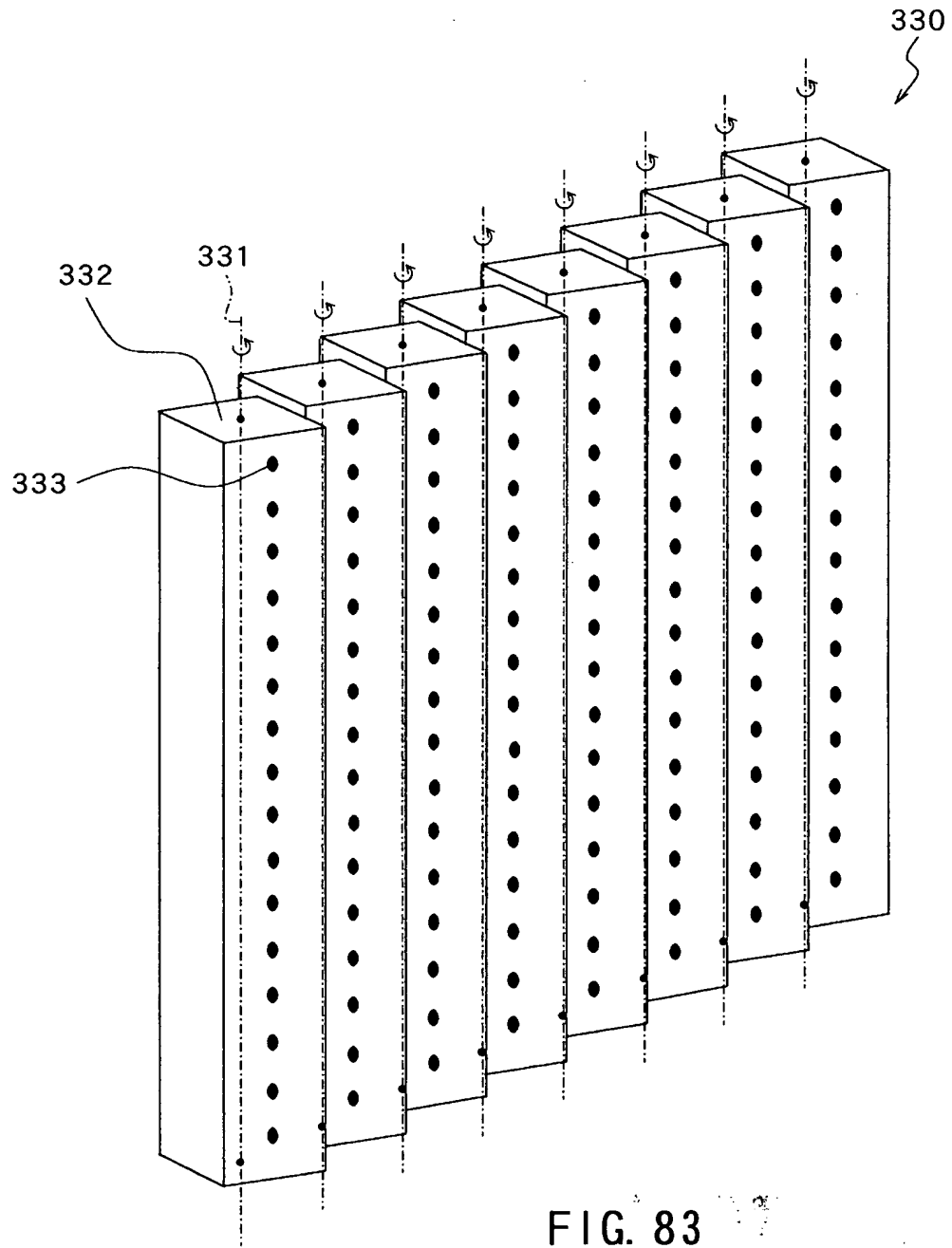


FIG. 83

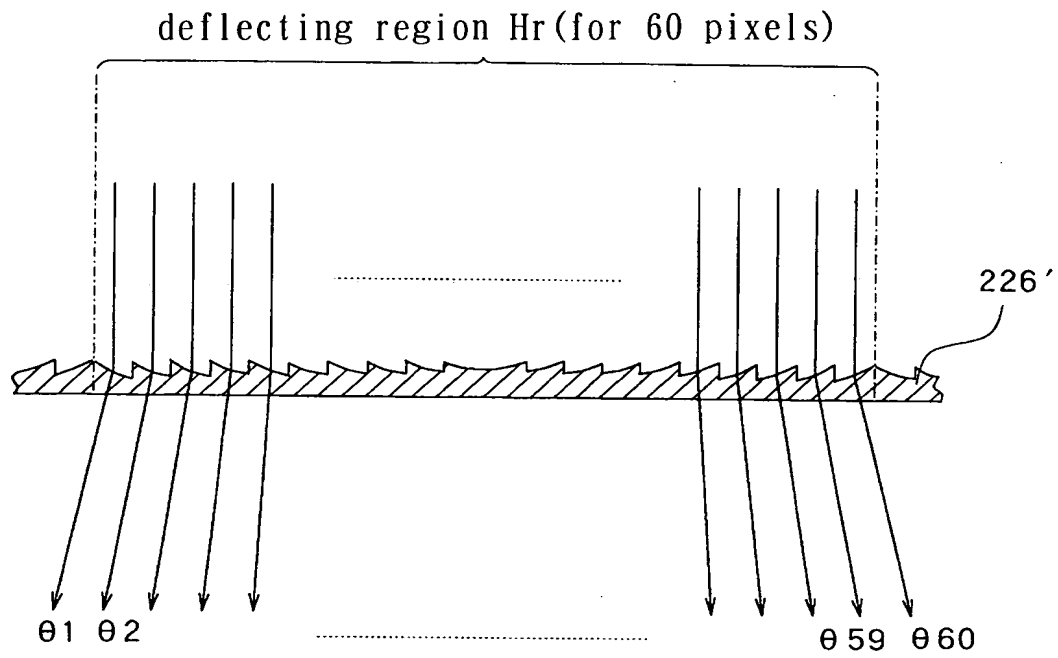


FIG. 84

004160" 82294960

71/82

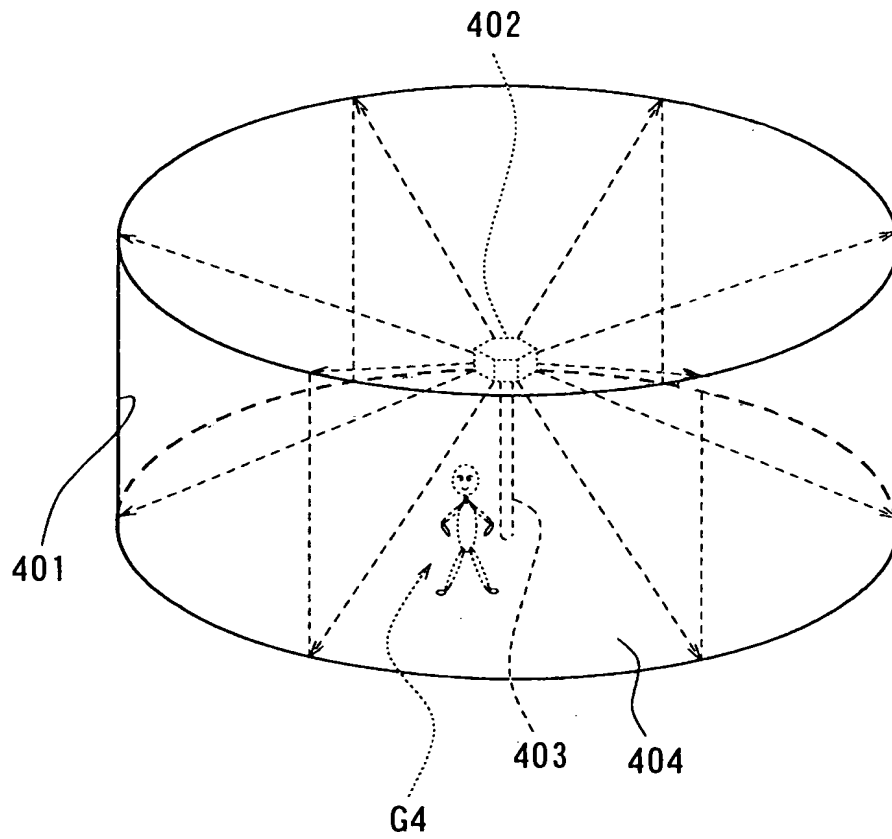


FIG. 85

004760" 82294960

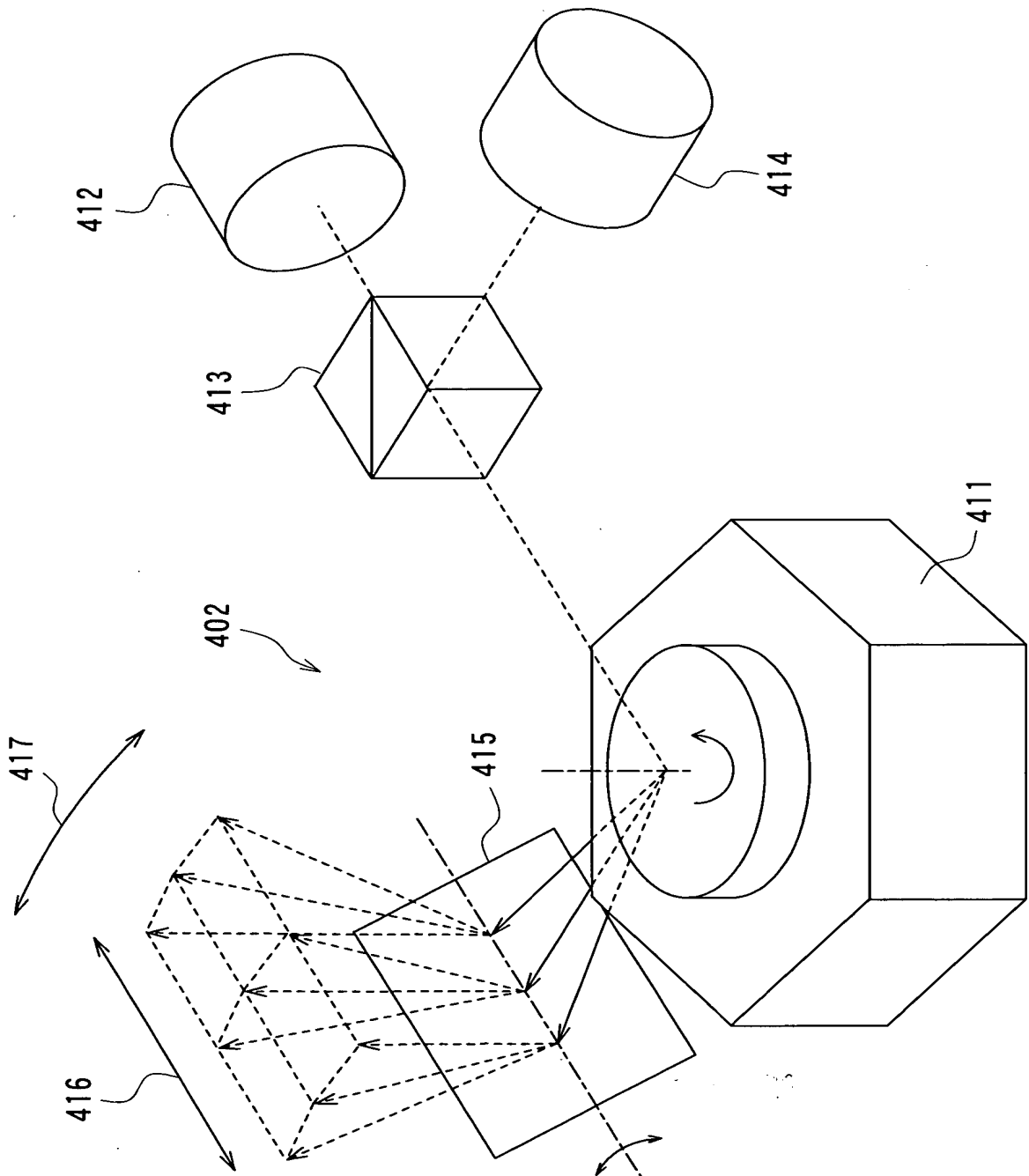


FIG. 86

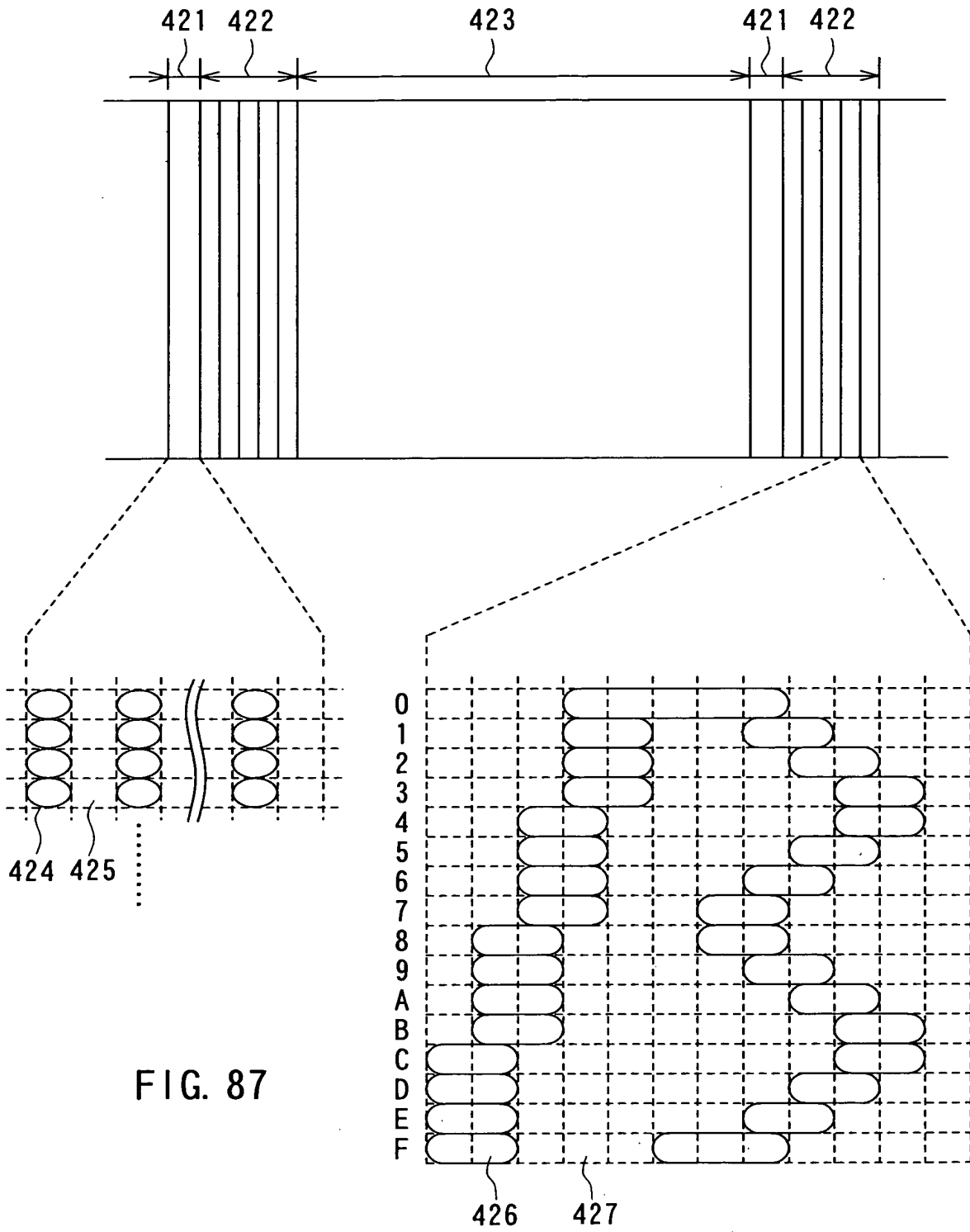


FIG. 87

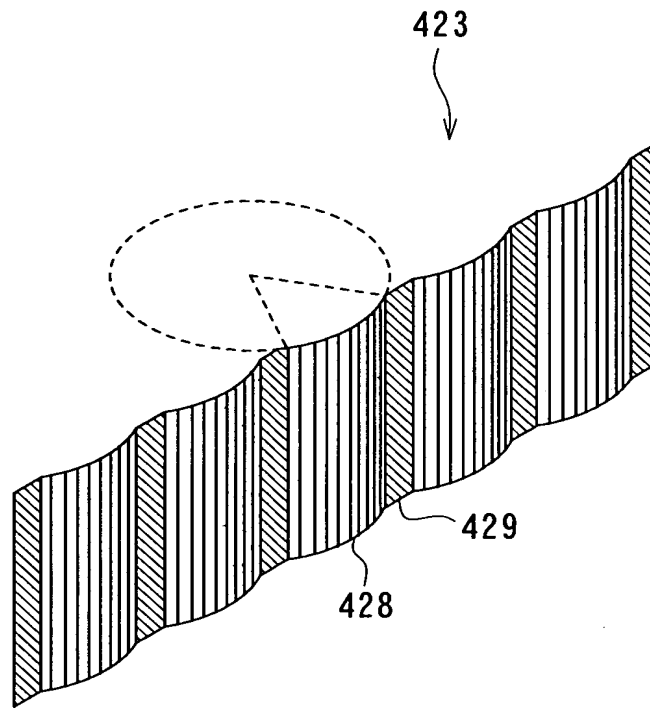


FIG. 88

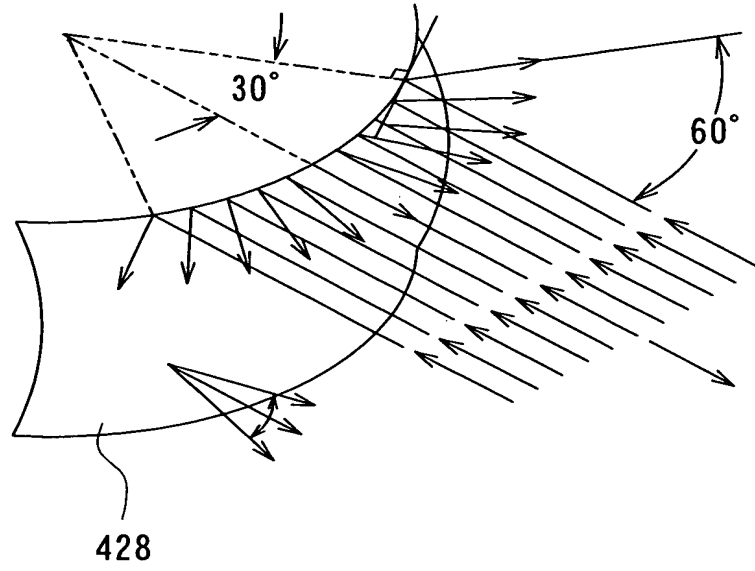


FIG. 89

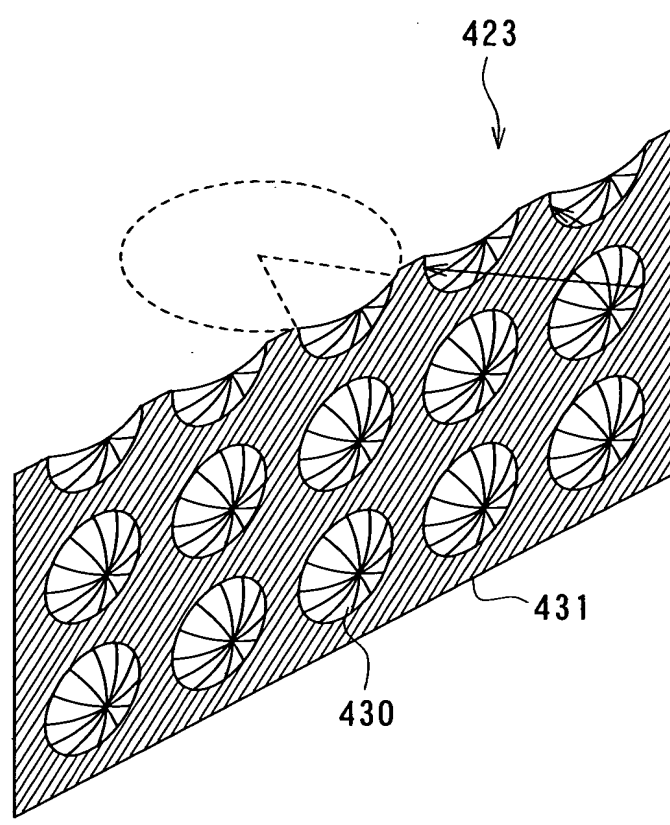


FIG. 90

0046228-0046228

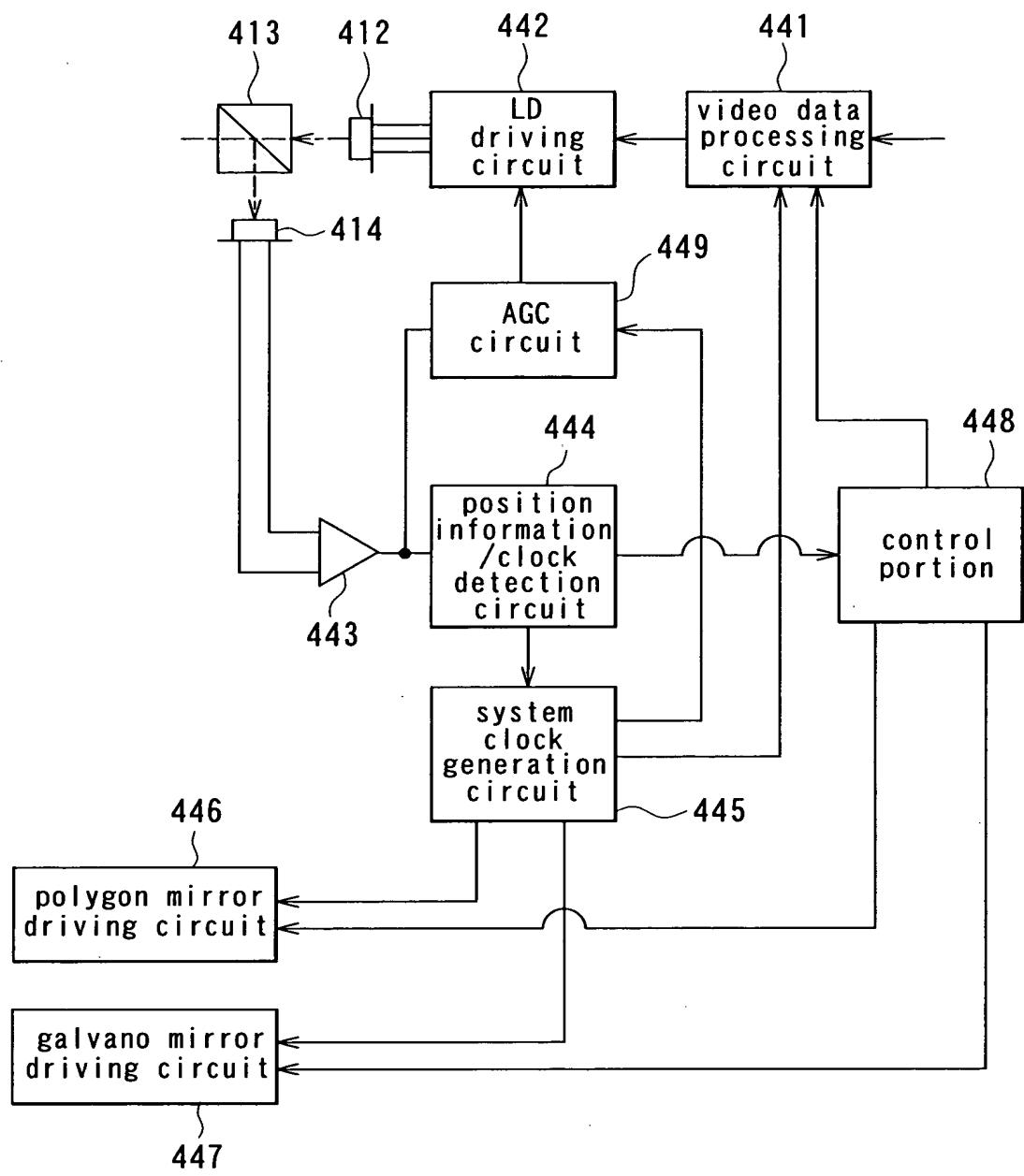


FIG. 91

004622 0400

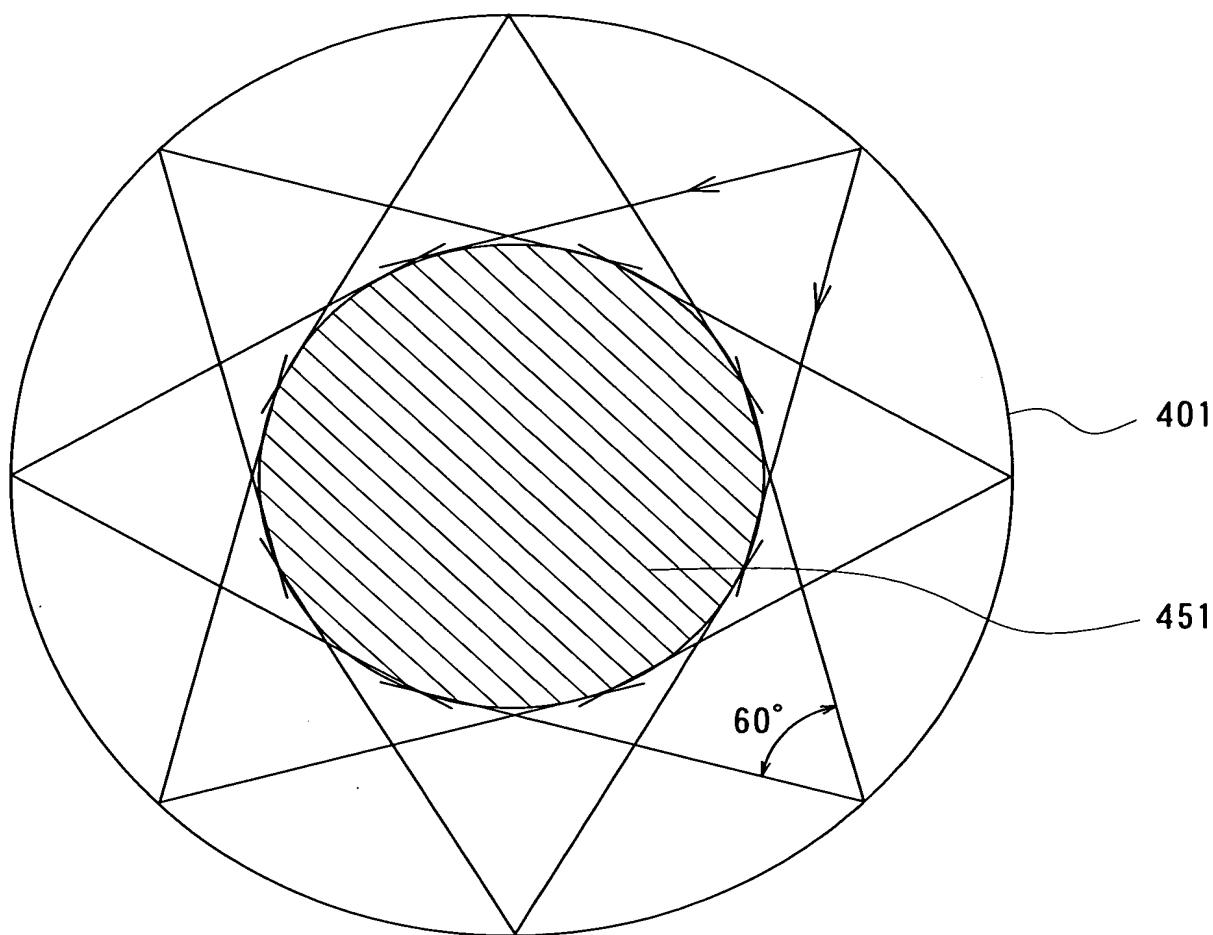


FIG. 92

004760" 82294960

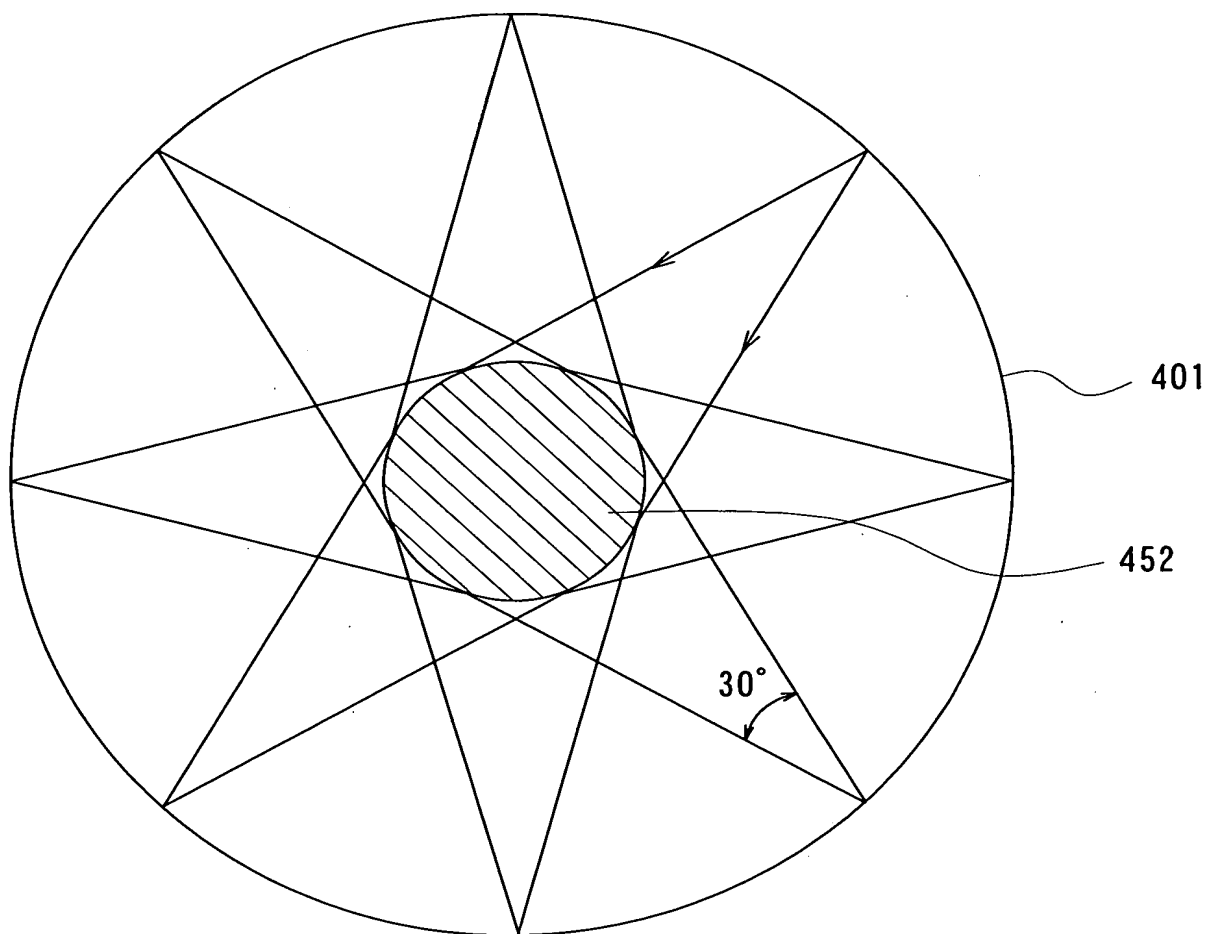


FIG. 93

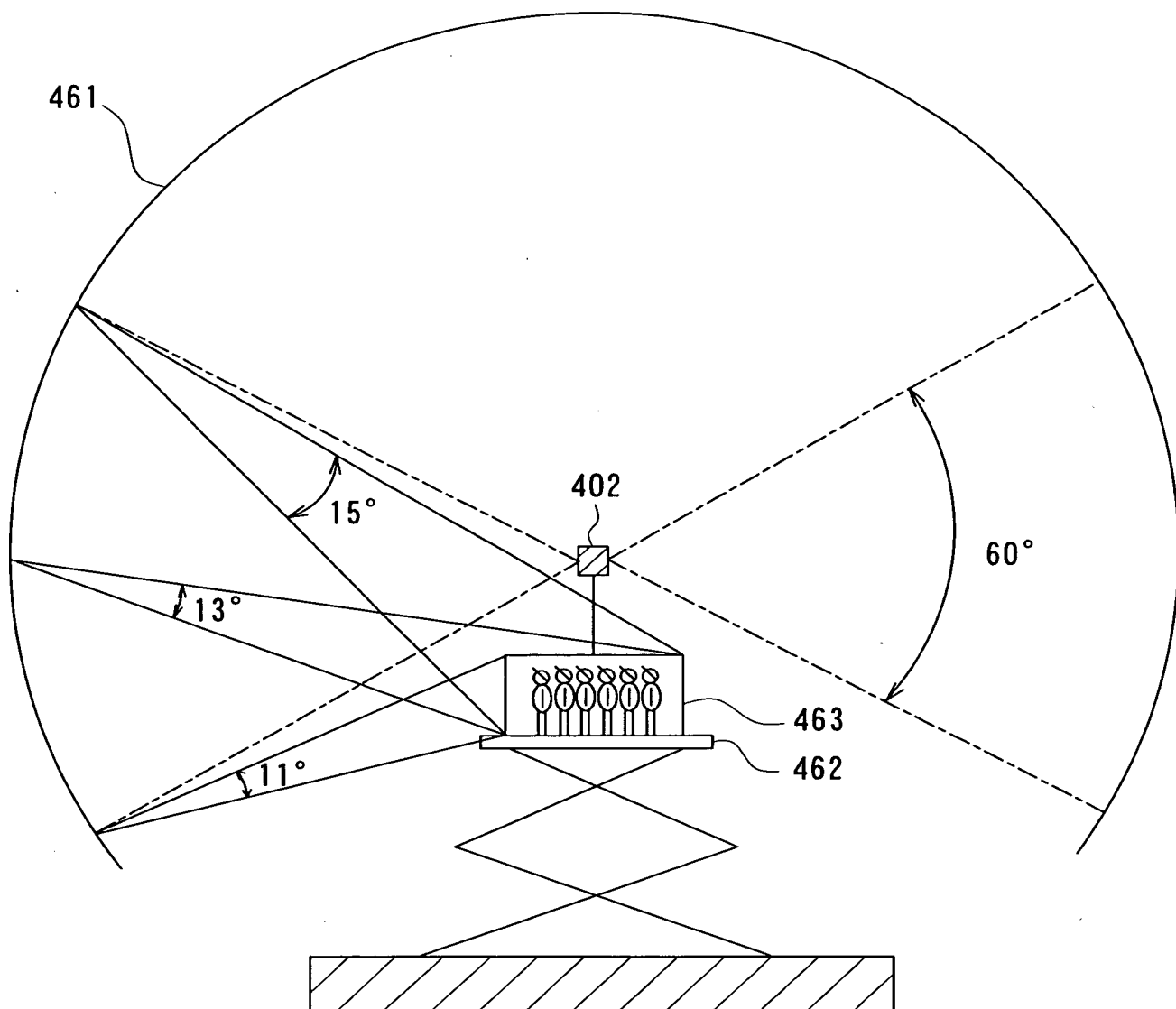


FIG. 94

